



วิทยานิพนธ์

การศึกษาโรคเหี่ยวยางจากแบคทีเรียของข้าวโพดในประเทศไทย

**STUDY OF BACTERIAL WILT DISEASE OF CORN IN
THAILAND**

นางสาวจุฑาเทพ วัชระไชยคุปต์

บัณฑิตวิทยาลัย มหาวิทยาลัยเกษตรศาสตร์

พ.ศ. 2550



ใบรับรองวิทยานิพนธ์
บัณฑิตวิทยาลัย มหาวิทยาลัยเกษตรศาสตร์

ปรัชญาดุษฎีบัณฑิต (เทคโนโลยีชีวภาพเกษตร)
ปริญญา

เทคโนโลยีชีวภาพเกษตร

สาขาวิชา

โครงการสาขาวิชาการระดับบัณฑิตศึกษา

ภาควิชา

เรื่อง การศึกษาโรคเหี่ยวยากเบกที่เรียข่องข้าวโพดในประเทศไทย

Study of Bacterial Wilt Disease of Corn in Thailand

นามผู้วิจัย นางสาวจุฬาเทพ วัชระไชยคุปต์

ได้พิจารณาเห็นชอบโดย

ประธานกรรมการ
(ผู้ช่วยศาสตราจารย์วิชัย ใจสิครัตน, Ph.D.)

กรรมการ
(รองศาสตราจารย์นิพนธ์ ทวีชัย, Ph.D.)

กรรมการ
(ผู้ช่วยศาสตราจารย์รัชนา สงประยูร, Ph.D.)

ประธานสาขาวิชา
(รองศาสตราจารย์พงศ์เทพ อัครชานกุล, Ph.D.)

บัณฑิตวิทยาลัย มหาวิทยาลัยเกษตรศาสตร์รับรองแล้ว

(รองศาสตราจารย์วินัย อาจคงหาญ, M.A.)

คณบดีบัณฑิตวิทยาลัย

วันที่ เดือน พ.ศ.

วิทยานิพนธ์

เรื่อง

การศึกษาโรคที่ขึ้นจากแบคทีเรียของข้าวโพดในประเทศไทย

Study of Bacterial Wilt Disease of Corn in Thailand

โดย

นางสาวจุฑาเทพ วัชระไชยคุปต์

เสนอ

บัณฑิตวิทยาลัย มหาวิทยาลัยเกษตรศาสตร์

เพื่อความสมบูรณ์แห่งปริญญาปรัชญาดุษฎีบัณฑิต (เทคโนโลยีชีวภาพเกษตร)

พ.ศ. 2550

จุฑาเทพ วัชระไชยคุปต์ 2550: การศึกษาโรคเที่ยวจากแนวคิดที่เรียบง่ายของข้าวโพดในประเทศไทย
ปริญญาปรัชญาดุษฎีบัณฑิต (เทคโนโลยีชีวภาพเกษตร) สาขาวิชาเทคโนโลยีชีวภาพเกษตร โครงการ
สาขาวิชาการระดับบัณฑิตศึกษา ประธานกรรมการที่ปรึกษา: ผู้ช่วยศาสตราจารย์วิชัย โภสธิดรัตน,
Ph.D. 105 หน้า

การเปรียบเทียบเชื้อแบคทีเรีย 13 สายพันธุ์ที่แยกได้จากข้าวโพดในประเทศไทย โดยเป็นเชื้อที่ให้ผลลัพธ์เมื่อทำปฏิกิริยากับชุดตรวจสำหรับรูปที่จำเพาะต่อ *Pantoea stewartii* subsp. *stewartii* (Agdia®, USA) แต่เมื่อนำมาเชื้อแบคทีเรียดังกล่าวทดสอบเปรียบเทียบกับเชื้อ *P. stewartii* subsp. *stewartii* LMG2715 สายพันธุ์มาตรฐาน และเชื้อ *P. agglomerans* 4633 4045 และ 20569 *Erwinia chrysanthemi* *E.carotovora* subsp. *carotovora* *Escherichia coli* ด้วยวิธีการอ้างอิงตามมาตรฐาน ได้แก่ การติดสีแกรม การเคลื่อนที่ การเจริญบนอาหารคัดเลือกจำเพาะ Nigrosine medium การทนกรด การเกิดปฏิกิริยา Hypersensitive response การเกิดโรคในต้นกล้าข้าวโพด ELISA ด้วย Agdia® kit การทำปฏิกิริยาด้วย PCR ด้วยคู่ไพร์เมอร์ที่จำเพาะต่อยีน 16S-23S rRNA/ITS *cpsD* และ *hrpS* และจากการจัดกลุ่มแบคทีเรียด้วยวิถีทางพิมพ์ดีเอ็นเอด้วยเทคนิค AFLP การใช้แหล่งคาร์บอน 95 ชนิด รูปแบบของ soluble protein และ ลำดับนิวคลีโอไทด์ของ 16S rDNA พบว่าเชื้อแบคทีเรียที่แยกได้จากข้าวโพดในประเทศไทยทั้ง 13 สายพันธุ์ไม่ใช่เชื้อ *P. stewartii* subsp. *stewartii* และจากข้อมูลที่ศึกษาพบว่าเชื้อแบคทีเรียที่แยกได้จากข้าวโพดในประเทศไทย ยกเว้นสายพันธุ์ XE 7 และสายพันธุ์ W เป็นเชื้อ *Pantoea agglomerans* และการทำปฏิกิริยา PCR ด้วยคู่ไพร์เมอร์ของยีน *hrpS* เท่านั้นที่ตรวจสอบเชื้อ *P. stewartii* subsp. *stewartii* ได้อย่างจำเพาะเจาะจง

จากการเปรียบเทียบวิธีการตรวจสอนเชื้อ *P. stewartii* subsp. *stewartii* จากตัวอย่างพืชและเมล็ด ด้วย direct-PCR Magnetic bead-PCR Ampli-disk PCR Real-time PCR และ ELISA พบว่าวิธีการ direct-PCR ใช้คุ้นไฟฟ์เมอร์ที่มีความจำเพาะต่อเชิง *hrpS* ของเชื้อ *P. stewartii* subsp. *stewartii* เป็นวิธีที่สะดวก รวดเร็ว มีความน่าเชื่อถือ และค่าใช้จ่ายต่ำกว่าเชิงแบบที่เรียกที่ปัจจุบันเป็นปัจจุบันในตัวอย่างพืชสด ที่มีปริมาณแบบที่เรียกว่าสุดยอดอยู่ในช่วง 10^2 - 10^3 colony forming unit (cfu) ต่อบิกิริยา และมีความไวในการตรวจสอบการติดเชื้อในกองเมล็ดพันธุ์ที่มีปอร์เชินต์การปนเปื้อนเมล็ดในระดับต่ำถึง 0.02 – 0.007% ได้ประสิทธิภาพในการตรวจเชื้อเพิ่มจาก 33 เป็น 83% ได้คุณภาพแบบตัวอย่างเมล็ดพันธุ์ (sub-sample) วิธีการที่พัฒนาขึ้นมีประสิทธิภาพในการพัฒนาเป็นวิธีการตรวจเชื้อที่เป็นมาตรฐานสำหรับตรวจสอนเชื้อ *P. stewartii* subsp. *stewartii* ได้

Jutatape Watcharachaiyakup 2007: Study of Bacterial Wilt Disease of Corn in Thailand.
Doctor of Philosophy (Agricultural Biotechnology), Major Field: Agricultural Biotechnology,
Interdisciplinary Graduate Program. Thesis Advisor: Assistant Professor Wichai
Kositratana, Ph.D. 105 pages.

Thirteen strains of bacteria which positive reaction with ELISA Agdia® kit specific for *Pantoea stewartii* were tested by standard detection method and compared with *P. stewartii* subsp. *stewartii* LMG2715; the type strain, *P. agglomerans* 4633, 4045, 20569 *Erwinia chrysanthemi* *E.carotovora* subsp. *carotovora* and *Escherichia coli*. The standard methods compose of gram staining, motility test, growth on nigosine selective medium and salt tolerance. PCR detection by using specific primer to 16s-23s rRNA/ITS, *cpsD* and *hrpS* gene of *P. stewartii* subsp. *stewartii* were also tested. The bacteria were clustered by AFLP DNA fingerprint, carbon source utilization, soluble protein SDS-PAGE profile and 16s rDNA sequences were also compared. From the results indicated that these 13 bacterial strains were not *P. stewartii* subsp. *stewartii*. However, all strain except XE7 and W strains were identified as *P. agglomerans*. The result revealed that only PCR detection of *hrpS* gene was a specific detection method for *P. stewartii* subsp. *stewartii*.

PCR based detection techniques of *hrpS* gene as a target gene for detection of *Pantoea stewartii* subsp. *stewartii* from infected plant and seed sample namely direct-PCR, magnetic bead-PCR, ampli-disk PCR and real-time PCR were compared with ELISA for detection efficiency. The result indicated that direct-PCR is the best method based on fast, easy, sensitivity, reliability and low cost. The detection sensitivity of direct-PCR was in the range of 10^2 - 10^3 colony forming unit (cfu) per reaction in plant sample. For seed lot sample, sensitivity of detection was in the range of 0.02 – 0.007% of seed contamination and detection efficiency was increased from 33 to 83% by sub-sample seed detection. Furthermore, this detection efficiency was covered the rate of seed to seedling transmission and should be used as a standard detection method of this pathogen in Thailand.

Student's signature

Thesis Advisor's signature

/ /

กิตติกรรมประกาศ

กราบขอบพระคุณ ผศ.ดร.วิชัย โภสิตรัตน ประธานกรรมการที่ปรึกษาวิทยานิพนธ์ รศ.ดร.นิพนธ์ ทวีชัย และผศ.ดร. รัชนา องประภูร กรรมการที่ปรึกษา อาจารย์สุจินต์ กัทรวุฒ ที่กรุณาให้คำปรึกษาเสมอมา และขอบขอบพระคุณ รศ.ดร.พงศ์เทพ อัครชนกุล ที่ให้โอกาส และคำแนะนำในด้านต่างๆ ในการเรียนระดับปรัชญาดุษฎีบัณฑิตนี้

ขอขอบพระคุณคณาจารย์ทุกท่าน รวมทั้งครู อาจารย์ ทั้ง ในอดีตและปัจจุบัน ที่ประสิทธิ์ประสาทความรู้ งานสำเร็จการศึกษา และขอบคุณพี่เพื่อน และน้องๆ ทุกคนที่มีส่วนให้ความช่วยเหลือทั้งในด้านการให้แรงงาน ให้คำปรึกษาและคำแนะนำต่างๆ อีกทั้งเป็นกำลังใจให้เสมอมา และขอบคุณเจ้าหน้าที่ประจำศูนย์เทคโนโลยีชีวภาพเกษตรทุกท่านที่ช่วยอำนวยความสะดวกในด้านสำเร็จการศึกษาในครั้งนี้

ขอขอบคุณศูนย์เทคโนโลยีชีวภาพเกษตร ภายใต้โครงการพัฒนาบัณฑิตศึกษาและการวิจัยสาขา วิทยาศาสตร์และเทคโนโลยี สำนักงานคณะกรรมการการอุดมศึกษา กระทรวงศึกษาธิการ ที่สนับสนุน วิทยานิพนธ์ฉบับนี้ โดยงบประมาณของโครงการย่อยบัณฑิตศึกษาและวิจัย สาขาเทคโนโลยีชีวภาพ เกษตร

ขอขอบคุณสำนักงานสำนักมาตรฐานสินค้าเกษตร และอาหารแห่งชาติ (มกอช.) ที่สนับสนุนเงินทุนวิจัยภายใต้โครงการ การพัฒนาเทคนิคการตรวจสอบเชื้อ *Pantoea stewartii* subsp. *stewartii* สาเหตุโรคหีบในข้าวโพด

ขอขอบคุณกรมวิทยาศาสตร์การแพทย์และกรมวิชาการเกษตร ในการอนุเคราะห์ เชื้อแบคทีเรีย *Pantoea agglomerans* คุณน้ำผึ้ง โภสิตเจริญกุล และคุณน้ำผึ้งพร อุ้ยมงคล ในการอนุเคราะห์ เชื้อแบคทีเรียสายพันธุ์ XE และ *Erwinia* spp. รวมถึงสถานที่ทำการทดลองห้องปฏิบัติการกลุ่มงานบัคเตอร์ กลุ่มวิจัยการอารักขาพืช สำนักวิจัยพัฒนาการอารักษาพืช กรมวิชาการเกษตร

ขอกราบขอบพระคุณพ่อ แม่ พี่ ๆ ทุกคน ที่ให้ความรัก และเป็นกำลังใจ และให้การสนับสนุนในการศึกษาตลอดมา

จุฬาเทพ วัชระไชยคุปต์

ตุลาคม 2550

สารบัญ

หน้า

สารบัญ	(1)
สารบัญตาราง	(2)
สารบัญภาพ	(4)
คำอธิบายสัญลักษณ์และคำย่อ	(10)
คำนำ	1
วัตถุประสงค์	4
การตรวจสอบสาร	5
อุปกรณ์และวิธีการ	18
การพิสูจน์เทคนิคในการตรวจสอบเชื้อแบคทีเรีย	18
วิธีการตรวจสอบเชื้อ <i>Pantoea stewartii</i> subsp. <i>stewartii</i>	27
การตรวจสอบเชื้อแบคทีเรียในพืช	36
การตรวจสอบเชื้อแบคทีเรียในแมล็ดที่ป่นเปื่อนเชื้อ	37
ผล	41
วิจารณ์	79
สรุปและเสนอแนะ	92
เอกสารและสิ่งอ้างอิง	94
ภาคผนวก	103
ประวัติการศึกษา และการทำงาน	105

สารบัญตาราง

	ตารางที่	หน้า
1	เปอร์เซ็นต์ของเมล็ดข้าวโพดติดเชื้อ <i>Pantoea stewartii</i> subsp. <i>stewartii</i> ประมาณจากการตรวจ 4 8 12 และ 16 ของกองเมล็ดพันธุ์ กองละ 100 เมล็ด ด้วยวิธีการ ELISA	14
2	ชนิดและสายพันธุ์แบคทีเรียที่ใช้ในการทดสอบ	19
3	การทดสอบเชื้อแบคทีเรีย คุณสมบัติการทนเกลือ การเกิดโรค การเกิดปฏิกิริยา Hypersensitive response การทำปฏิกิริยา ELISA โดยใช้ชุดตรวจสอบสำเร็จรูป PathoScreen® สำหรับ <i>Pantoea stewartii</i> และการทดสอบด้วย PCR โดยคู่ไพรเมอร์ที่จำเพาะต่อ 16s-23s rRNA/ITS <i>hrpS</i> และ <i>cpsD</i>	45
4	การใช้แหล่งการรับอนของเชื้อแบคทีเรียทดสอบ เมื่อทดสอบด้วย Biolog® system	51
5	ความจำเพาะของ IgG anti-MPC IgG anti-fixed cell IgY anti-MPC และ IgY anti-life cell ต่อเชื้อ <i>Pantoea stewartii</i> subsp. <i>stewartii</i> ทำปฏิกิริยากับ เชื้อแบคทีเรียด้วยวิธี ELISA เปรียบเทียบกับการทำปฏิกิริยาโดยชุดตรวจสอบ ELISA สำเร็จรูป PathoScreen®	64
6	ความไวของแอนติบอดี้ IgG anti-MPC IgG anti-fixed cell IgY anti-MPC และ IgY anti-life cell ต่อเชื้อ <i>P. stewartii</i> subsp. <i>stewartii</i> ด้วยเทคนิค ELISA เปรียบเทียบกับชุดตรวจสอบสำเร็จรูป ELISA สำเร็จรูป PathoScreen®	66
7	เปรียบเทียบความไวในการตรวจสอบเชื้อแบคทีเรีย <i>Pantoea stewartii</i> subsp. <i>stewartii</i> จากสารแ变幻กลอยเชลล์ที่มีปริมาณเชื้อระดับต่างๆ ด้วยวิธีการ PCR Magnetic bead-PCR Real-time PCR Ampli-disk PCR และ ELISA	68

สารบัญตาราง (ต่อ)

	ตารางที่	หน้า
8	การตรวจสอบเชื้อแบคทีเรียในกองเมล็ดพันธุ์ที่ป่นเปื้อนเมล็ดที่ติดเชื้อ <i>Pantoea stewartii</i> subsp. <i>stewartii</i> LMG2715 ^T ที่ระดับต่างๆ ด้วยวิธีการ PCR แบบไม่แบ่งกองเมล็ดพันธุ์และแบบแบ่งกองเมล็ดพันธุ์	78
9	เปรียบเทียบลักษณะเด่นและแตกต่างของเชื้อ <i>Pantoea agglomerans</i> และเชื้อ <i>P. stewartii</i> subsp. <i>stewartii</i> ร่วมกับเชื้อแบคทีเรียที่แยกได้จากข้าวโพดในประเทศไทย	86
10	เปรียบเทียบข้อเด่นข้อด้อยในด้านต่างๆ ของวิธีการตรวจสอบเชื้อแบคทีเรีย <i>Pantoea stewartii</i> subsp. <i>stewartii</i> จากตัวอย่างพืชหรือเมล็ดข้าวโพด	89

สารบัญภาพ

ภาพที่	หน้า
1 ลำดับดีอีนของยีน <i>hrpS</i> และส่วนที่นำมายใช้เป็นไพร์เมอร์สำหรับเทคนิค Real-time PCR ซึ่งให้ผลผลิตขนาด 123 คู่เบส ลำดับเบสที่ขึ้นเด่นได้แก่มี ลูกศรอยู่ด้านบนเป็นส่วน Forward primer และส่วนที่มีลูกศรอยู่ด้านล่างเป็น ส่วน Reverse primer ลำดับเบสที่เป็นอักษรตัวหนาเป็นส่วนดีอีนของผลผลิต Real-time PCR	35
2 แผนผังแสดงการตรวจเชื้อแบคทีเรียในแมล็ดด้วยวิธีการ Direct-PCR (1) Magnetic bead-PCR (2) Ampli-disk PCR (3) และ ELISA (4)	39
3 โโคโลนีของเชื้อ <i>Pantoea stewartii</i> subsp. <i>stewartii</i> LMG2715 ^T บนอาหาร เลี้ยงเชื้อชนิดต่างๆ โโคโลนีบนอาหาร NA อายุ 2 วัน (ก - จ) อายุ 4 วัน (ฉ) อาหาร CPG (ช) อาหาร Nigrosine medium อายุ 5 วัน (ฉ) ภาพขยายของ โโคโลนีแสดงลักษณะตากบภายในตัวกล้องจุลทรรศน์แต่ละระหว่างช่องขั้ดสีแดง มีขนาด 1 มิลลิเมตร (ณ) โโคโลนีบนอาหาร Nigrosin medium อายุ 2 วัน เชื้อ <i>P. agglomerans</i> 4633 (ญ) XE1 (ญ) XE2 (ญ) XE3 (ญ) XE4 (ญ) XE5 (ญ) XE6 (ญ) XE7 (ญ) XE8 (ญ) XE9 (ญ) XE11 (ญ) Y001 (ญ) และ W001 (ญ) 44	44
4 อาการบนใบข้าวโพดหวานสายพันธุ์อินทรี 2 หลังจากปลูกเชื้อแบคทีเรียสาย พันธุ์ต่างๆ เป็นเวลา 7 วัน ปลูกเชื้อด้วย PBS (ก) ปลูกเชื้อด้วย <i>Pantoea stewartii</i> subsp. <i>stewartii</i> LMG2715 ^T (ข - จ) ปลูกเชื้อด้วยสายพันธุ์ XE1 2 3 4 5 6 8 9 11 และ Y001 ตามลำดับ (ฉ - ฉ)	46
5 เกลอเดคโทรฟอร์เซ็ต 0.8 เปอร์เซ็นต์ แสดงແຄນดีอีโนของผลผลิตพีซีอาร์จาก ตรวจเชื้อแบคทีเรียที่แยกได้จากข้าวโพดและเชื้อ <i>Pantoea stewartii</i> subsp. <i>stewartii</i> การสังเคราะห์ด้วยไพร์เมอร์จำเพาะยีน <i>cpsD</i> (ก) <i>hrpS</i> (ข) และ 16s- 23s rRNA/ITS (ค) ตำแหน่งที่ลูกศรลีข่าวซึ่งเป็นແຄນดีอีโนของแต่ละยีน และ ลูกศรลีคำเป็นແຄນดีอีโนของยีน 16s rDNA เพื่อใช้เป็นตัวเปรียบเทียบชี้วัดการ เกิดปฏิกิริยา PCR (internal control) NTC หมายถึง non template control	47

สารบัญภาพ (ต่อ)

ภาพที่	หน้า
6	การเปรียบเทียบลำดับนิวคลีโอไทด์ของยีน 16s- 23s rRNA/ITS (ก) และ <i>cpsD</i> (ข) ในตัวแทนที่มีลำดับนิวคลีโอไทด์ที่แตกต่างกันของเชื้อแบคทีเรียที่แยกได้จากข้าวโพด สายพันธุ์ XE1 XE6 XE8 XE9 XE11 และ Y001 เพื่อยกับเชื้อ <i>Pantoea stewartii</i> subsp. <i>stewartii</i> โดยใช้โปรแกรม GeneDoc Version 2.6.001 (Nicholas and Nicholas, 1997) 48
7	เดนโอดแกรมการจัดกลุ่มแบคทีเรียโดยใช้ลำดับนิวคลีโอไทด์บางส่วนของ 16s rDNA ของเชื้อแบคทีเรียที่แยกได้จากข้าวโพด สายพันธุ์ XE1 XE6 XE8 XE9 XE11 และ Y001 เพื่อยกับข้อมูลจากฐานข้อมูล Genbank ด้วยวิธี Neighbour joining by percentage identity เส้นด้านล่างภาพหมายถึงระยะทาง 0.1 (distance) เชื้อที่มีตัวอักษรนำหน้า Pdis หมายถึง <i>Pantoea dispersa</i> Pstw หมายถึง <i>P. stewartii</i> subsp. <i>stewartii</i> Panan หมายถึง <i>P. ananatis</i> Ewher หมายถึง <i>Erwinia herbicola</i> Ech หมายถึง <i>E. chrysanthemi</i> Ecc หมายถึง <i>E. carotovora</i> subsp. <i>carotovora</i> ตัวอักษรและตัวเลขที่ต่อท้ายเชื้อหมายถึง accession no. ของเชื้อจากฐานข้อมูล Genbank http://www.ncbi.nlm.nih.gov/ 49
8	ภาพสามมิติแสดงการจัดกลุ่มเชื้อแบคทีเรียจากการใช้แหล่งคาร์บอน 95 ชนิด เปรียบเทียบด้วยวิธีการ Principal component analysis ด้วยโปรแกรม NTSYS V. 2.01d ประกอบด้วยเชื้อที่แยกได้จากข้าวโพดในประเทศไทย ได้แก่สายพันธุ์ XE1-XE6 XE8 –XE9 XE11 และ Y001 รวม 10 สายพันธุ์ Ag หมายถึง <i>Pantoea agglomerans</i> จำนวน 3 สายพันธุ์ ได้แก่ 4045 4633 และ 20596 LMG หมายถึง <i>P. stewartii</i> subsp. <i>stewartii</i> สายพันธุ์ LMG2715 ^T 57

สารบัญภาพ (ต่อ)

ภาพที่	หน้า
9 10 11	<p>เดนโอดแกรมแสดงการจัดกลุ่มเชือแบบที่เรียกที่นำมาตรฐานทดสอบการใช้แหล่งการ์บอน 95 ชนิด วิเคราะห์ด้วย Simple matching coefficient และจัดกลุ่มด้วยวิธี UPGMA (Unweighted pair group method of averages) ด้วยโปรแกรม NTSYS V. 2.01d ประกอบด้วยเชื้อที่แยกได้จากข้าวโพดในประเทศไทย ได้แก่ สายพันธุ์ XE1-XE6 XE8 –XE9 XE11 และ Y001 รวม 10 สายพันธุ์ Pag หมายถึง <i>Pantoea agglomerans</i> Pd หมายถึง <i>P. dispersa</i> Pss และ LMG2715^T หมายถึง <i>P. stewartii</i> subsp. <i>stewartii</i> สายพันธุ์ที่มีเครื่องหมาย * เป็นข้อมูลที่ได้จากฐานข้อมูล Biolog®</p> <p>เดนโอดแกรมการจัดกลุ่มแบบที่เรียกโดยใช้ลายพินพดีอีนเออ ด้วยเทคนิค AFLP (Amplification Fragment Length Polymorphism) วิเคราะห์ด้วย Dice' Coefficient และจัดกลุ่มด้วย UPGMA (Unweighted pair group method of averange) ตัวเลขหนึ่งเส้นแสดงค่า Bootstrap จากการคำนวณ 1000 ครั้ง ด้วยโปรแกรม Winboot ประกอบด้วยเชือแบบที่เรียกที่แยกได้จากข้าวโพดในประเทศไทย สายพันธุ์ XE1-XE9 XE11 Y001 W001 และ W002 Ech1 และ 2 หมายถึง <i>Erwinia chrysanthemi</i> แยกได้จาก ข้าวโพด และกลุ่มไม่ LMG2715^T หมายถึง <i>Pantoea stewartii</i> subsp. <i>stewartii</i> LMG2715^T รูปแบบของแคน Soluble protein ของแบบที่เรียก วิเคราะห์ด้วย 15 % SDS-polyacrylamide gel electrophoresis ประกอบด้วยเชือแบบที่เรียกที่แยกได้จากข้าวโพดในประเทศไทย สายพันธุ์ XE1-XE9 XE11 Y001 W001 และ W002 Ech หมายถึง <i>Erwinia chrysanthemi</i> LMG หมายถึง <i>Pantoea stewartii</i> subsp. <i>stewartii</i> LMG2715^T Ecc หมายถึง <i>Erwinia carotovora</i> subsp. <i>carotovora</i> 4633 และ 4045 หมายถึงเชื้อ <i>P. agglomerans</i> สายพันธุ์ 4633 และ 4045 ตามลำดับ</p>

สารบัญภาพ (ต่อ)

ภาพที่	หน้า
12	<p>เดนโอดรограмการจัดกลุ่มแบบที่เรียกโดยใช้รูปแบบ soluble protein วิเคราะห์ด้วย Dice' Coefficient และจัดกลุ่มด้วย UPGMA (Unweighted pair group method of averages) ด้วยโปรแกรม GeneTools® (Syngene, Cambridge, UK) ประกอบด้วยเชื้อแบคทีเรียที่แยกได้จากข้าวโพดในประเทศไทย สายพันธุ์ XE1-XE9 XE11 Y001 W001 และ W002 Ecc หมายถึง <i>Erwinia chrysanthemi</i> LMG หมายถึง <i>Pantoea stewartii</i> subsp. <i>stewartii</i> LMG2715^T Ecc หมายถึง <i>Erwinia carotovora</i> subsp. <i>carotovora</i> 4633 และ 4045 หมายถึง <i>P. agglomerans</i> สายพันธุ์ 4633 และ 4045 ตามลำดับ</p>
13	<p>เจลอิเลคโโทรโฟรีซิสเปรียบเทียบความไวในการตรวจสอบเชื้อแบคทีเรีย <i>Pantoea stewartii</i> subsp. <i>stewartii</i> LMG2715^T เมื่อมีปริมาณเชื้อแบคทีเรียระดับต่างกันด้วยเทคนิค PCR โดยมี <i>hrpS</i> เป็นยีนเป้าหมาย ก. วิธี direct-PCR ข. วิธี Magnetic bead -PCR ค. วิธี Ampli-disk PCR M หมายถึง DNA Ladder ช่องที่ 1 ตัวอย่างที่ไม่มีเชื้อแบคทีเรีย ช่องที่ 2-7 หมายถึง แบคทีเรียในปริมาณเซลล์เริ่มต้นในการทดลองในแต่ละวิธี จำนวน $1 \ 10 \ 10^2 \ 10^3 \ 10^4$ และ 10^5 (cfu) ตามลำดับ</p>
14	<p>ความจำเพาะของคู่ไพร์เมอร์ต่อยีน <i>hrpS</i> ด้วยเทคนิค Real-time PCR โดยทดสอบปฏิกิริยาต่อเชื้อแบคทีเรีย <i>Pantoea stewartii</i> subsp. <i>stewartii</i> LMG2715^T <i>P. agglomerans</i> 4633 และ 4045 <i>Erwinia chrysanthemi</i> E. <i>carotovora</i> subsp. <i>carotovora</i> <i>Escherichia coli</i> เชื้อแบคทีเรียที่แยกจากข้าวโพดสายพันธุ์ XE1 2 3 4 5 6 7 8 9 11 และ Y001</p>

สารบัญภาพ (ต่อ)

ภาพที่	หน้า
15 ความไวของการตรวจสอบเชื้อแบคทีเรีย <i>Pantoea stewartii</i> subsp. <i>stewartii</i> ด้วยเทคนิค Real-time PCR โดยมียีน <i>hrpS</i> เป็นยีนเป้าหมาย ก. กราฟแสดงความเข้มของสัญญาณแสงและจำนวนรอบการทำปฏิกิริยาตรวจสอบเชลล์ปริมาณ 10^5 ถึง 1 cfu และ NTC (non template control) ข. กราฟมาตรฐานระหว่างรอบการทำปฏิกิริยาและปริมาณเชลล์ ค. กราฟแสดงค่า T_m ของผลผลิตของ real-time PCR ต่อยีน <i>hrpS</i>	71
16 เจลอิเลคโทรโฟรีซส์แสดงความไวของการตรวจสอบเชื้อ <i>Pantoea stewartii</i> subsp. <i>stewartii</i> ที่ผสมกับน้ำแข็งในข้าวโพด เปรียบเทียบกับการตรวจสอบเชื้อจากเชลล์โดยตรง ด้วยเทคนิค PCR โดยมียีน <i>hrpS</i> เป็นยีนเป้าหมาย	72
17 เจลอิเลคโทรโฟรีซส์แสดงการตรวจสอบในข้าวโพดหวานสายพันธุ์อินทรี 2 ที่ปลูกเชื้อด้วย <i>Pantoea stewartii</i> subsp. <i>stewartii</i> LMG2715 ^T (ด้านซ้าย) และข้าวโพดที่ปลูกเชื้อด้วยสายพันธุ์ XE (ด้านขวา) ด้วยเทคนิค PCR โดยตรวจสอบยีน <i>hrpS</i> เป็นยีนเป้าหมาย	73
18 เจลอิเลคโทรโฟรีซส์แสดงผลการทดสอบเมล็ดข้าวโพดหวานสายพันธุ์อินทรี 2 ที่ปลูกเชื้อ <i>Pantoea stewartii</i> subsp. <i>stewartii</i> LMG2715 ^T ด้วยวิธีการใช้สูญญากาศและตรวจสอบด้วยเทคนิค PCR โดยไพร์เมอร์จำเพาะต่อ yin <i>hrpS</i> (900 bp) ช่องที่ 1- 24 ในแคล ก และ ข เป็นเมล็ดที่ปลูกเชื้อ และ ช่องที่ 1-24 ในแคล ค เป็นเมล็ดที่แช่ PBS เป็นตัวเปรียบเทียบ M เป็น DNA ladder	74
19 เจลอิเลคโทรโฟรีซส์แสดงการตรวจสอบเชื้อแบคทีเรีย <i>Pantoea stewartii</i> subsp. <i>stewartii</i> ที่มีปริมาณเชื้อที่แน่นอน ผสมร่วมกับน้ำบดเมล็ด (ด้านซ้าย) หรือน้ำแข็งเมล็ด (ด้านขวา) ด้วยเทคนิค PCR ตรวจยีน <i>hrpS</i> (900 bp) ด้วยวิธีการ (ก) direct-PCR (ข) Magnetic-PCR และ (ค) Ampli-disk PCR N	

สารบัญภาพ (ต่อ)

ภาคที่	หน้า
	หน้า
1	ชนิดของแหล่งการรบอนในงานหลุ่ม GN2
20	หมายถึง นำบดหรือน้ำแข็งเมล็ดที่ไม่มีแบคทีเรีย M หมายถึง DNA ladder ตัวเลขด้านบนแสดงปริมาณเชื้อแบคทีเรีย (cfu) 75
21	เจลオリโกรไฟซิสแสดงการตรวจสอบเชื้อ <i>Pantoea stewartii</i> subsp. <i>stewartii</i> LMG2715 ^T ด้วยเทคนิค PCR ที่เชื้อในปริมาณต่างๆ (10^3 - 10^5 cfu) ผสมร่วมกับน้ำแข็งเมล็ดข้าวโพดปริมาตรต่างกัน (10-200 มิลลิลิตร) โดยตรวจยืนยัน <i>hrpS</i> เป็นยืนเป้าหมาย ของ M หมายถึง DNA Ladder ของ N หมายถึง ตัวอย่างเบรียบเทียบลง ไม่มีเชื้อแบคทีเรีย แผนผังการตรวจสอบเชื้อ <i>Pantoea stewartii</i> subsp. <i>stewartii</i> สำหรับประเทศไทย 77

ការបិបាយសំណុលកម្មណ៍នៃការយក

%	ពេរីថីន័រ
μl	micro-liter
μM	micro-Mole
AFLP	Amplification Fragment Length Polymorphism
AWCD	Average well color development
BSA	Bovine serum albumin
cfu	colony forming unit
ELISA	Enzyme Linked Immunosorbent Assay
EPS	Exopolysaccharide
g	Relative centrifuge force
kb	kilobase
LPS	Lipopolysaccharide
mM	millimolar
MPC	Membrane protein complex
NA	Nutrient Agar
NB	Nutrient broth
nm	nanometre
nM	nanomolar
O.D.	optical density
°C	គងគាត់ថ្វីរត
PBS	Phosphate buffer saline
PCR	Polymerase chain reaction
TBE	Tris borate – EDTA
UPGMA	Unweighted pair group method of averages

การศึกษาโรคเที่ยงจากแบคทีเรียของข้าวโพดในประเทศไทย

Study of Bacterial Wilt Disease of Corn in Thailand

คำนำ

เชื้อ *Pantoea stewartii* subsp. *stewartii* เป็นสาเหตุโรคที่สำคัญของข้าวโพด ทำให้ข้าวโพดเสื่อมรายได้ จากรายงานใน Crop Protection Compendium, 2005 Edition พบเชื้อโรคนี้เป็นเชื้อประจำถิ่นและพบในประเทศไทยอยู่กลุ่มประเทศไทยทวีปอเมริกาเหนือ ได้แก่ ประเทศไทยแคนนาดา ในมรรัฐ แอลเบอร์ตา และเม็กซิโก ออนแทริโอ และประเทศไทยหรือรัฐอเมริกา ซึ่งพบในหลายมรรัฐได้แก่ แอลเคนา อาร์คันซอ แคลิฟอร์เนีย คอนเนติคัต เดลาแวร์ ฟลอริดา จอร์เจีย ไอโอวา อิลลินอยส์ อินดีแอนนา ไอโอวา แคนซัส เคนทักกี ลูเซียนา แมริแลนด์ แมสซาชูเซตส์ มิชิแกน มิสซิสซิปปี มิสซูรี เนแบรaska นิวเม็กซิโค นิวเจอร์ซีย์ นิวยอร์ก นอร์ทแคโรลีนา นอร์ทแคโรลีนา เทนเนสซี เท็กซัส เวอร์มอนต์ เวอร์จิเนีย วอชิงตัน เวสต์เวอร์จิเนีย และ วิสคอนซิน ในทวีปอเมริกาทางตะวันตกและแคริบีเยน ได้แก่ ประเทศไทยสารณรัฐอสเตรเลีย และ เปอร์โตริโอด้วย ในการต่อต้าน ได้แก่ ประเทศไทยสารณรัฐอสเตรเลีย และ ในทวีปเอเชีย ได้แก่ ประเทศไทยสารณรัฐอินเดีย เชื้อโรคนี้ก่อให้เกิดความเสียหายอย่างมากในอุตสาหกรรมการผลิตข้าวโพด ทั้ง ข้าวโพดเลี้ยงสัตว์ ข้าวโพดฝักอ่อน และ โคลนพะอย่างยิ่งในข้าวโพดหวาน เนื่องจากเชื้อโรคนี้มีการแพร่กระจายโดยผ่านทางแมลงด้วงหมัดข้าวโพด (corn flea beetles) โดยเฉพาะ *Chaetocnema pulicaria* เนื่องจากเชื้อโรคนี้มีโอกาสติดเมล็ดจากพืชที่เป็นโรคสู่เมล็ดในอัตราต่ำในระดับ 0.03 - 0.013% ในพืชสายพันธุ์ต้านทานปานกลางถึงสายพันธุ์ต้านทาน และหากนำเมล็ดที่ได้จากต้นที่เป็นโรคไปปลูกจะมีโอกาสติดเชื้อจากเมล็ดไปสู่ต้นกล้าเพียงในอัตราเพียง 0.8 % ในการนี้ที่เมล็ดมีการปนเปื้อนน้อยกว่า 10% การแพร่กระจายโรคในแปลงปลูกนั้นจึงพบมากในแหล่งที่พบร่วมพากเพกและระบาดตามถิ่นอาศัยของด้วงหมัดข้าวโพด (Pataky and Ikin, 2003) ซึ่งแสดงให้เห็นว่าถึงแม้ว่าจะมีการติดเชื้อจากเมล็ดแต่ปัจจัยสำคัญในการทำให้เกิดการแพร่ระบาดมีปัจจัยสำคัญอยู่ที่แมลงพากเพกและระบาดในเขตที่ไม่ใช่แหล่งของเชื้อโรคและไม่พบด้วงหมัดข้าวโพด จึงมีความเป็นไปได้ต่ำที่จะเกิดการแพร่ระบาดของโรคนี้ อย่างไรก็ตามถึงแม้เชื้อโรคนี้จะมีโอกาส

ติดไปกับเมล็ด ได้ต่ำ แหล่งที่มีการปลูกข้าวโพดแต่ไม่ใช่พื้นที่ที่รายงานระบาดของโรคหรือแมลงพาหะยังคงต้องมีมาตรการสำรวจตรวจสอบ ป้องกัน กักกัน เชื้อโรคนี้ไม่ให้แพร่กระจายไปยังแหล่งปลูกใหม่ โดยการใช้มาตรการกักกันพืช

ประเทศไทยเป็นแหล่งปลูกข้าวโพดที่สำคัญในเอเชียตะวันออกเฉียงใต้ ในปี 2547 มีพื้นที่ผลิตข้าวโพดร่วมทั้งประเทศประมาณ 6,864,102 ไร่ (กรมส่งเสริมการเกษตร, 2547) มีปริมาณผลผลิต 910,730 ตัน มีมูลค่าการส่งออกของข้าวโพดไว้ 4,651.50 ล้านบาทและข้าวโพดฝักอ่อนบรรจุกระป๋อง 1,675.03 ล้านบาท (สำนักงานเศรษฐกิจการเกษตร, 2547) โดยมีการส่งออกข้าวโพดทั้งในรูปข้าวโพดหวานบรรจุกระป๋อง ข้าวโพดหวานแช่แข็ง ข้าวโพดอ่อนบรรจุกระป๋อง ครีมข้าวโพด และเมล็ดพันธุ์ข้าวโพดเลี้ยงสัตว์ ตลาดส่งออกข้าวโพดของไทย ได้แก่ เกาหลีใต้ มาเลเซีย ไต้หวัน อินโดนีเซีย สิงคโปร์ พม่า ญี่ปุ่น ออสเตรเลีย บังกลาเทศ จีน ศรีลังกา และสหราชอาณาจักร โดยปัจจุบันการปลูกข้าวโพดทั้งข้าวโพดหวานบริโภคฝักสด ข้าวโพดไว้สำหรับใช้ในอุตสาหกรรมอาหารสัตว์ นิยมใช้สายพันธุ์ที่เป็นถูกผสม เนื่องจากให้ผลผลิตสูง มีคุณภาพของผลผลิตสม่ำเสมอ ในการพัฒนาและพัฒนาแม่พันธุ์ในการผลิตถูกผสมนั้นบางส่วนมีการนำเข้ามาจากต่างประเทศ ในการส่งออกและนำเข้าเมล็ดพันธุ์ข้าวโพดระหว่างประเทศคู่ค้านี้มีข้อกำหนดเกี่ยวกับโรคและแมลง โดยเมล็ดข้าวโพดที่นำเข้าหรือส่งออกต้องมีสภาพปลอดต่อเชื้อ *Pantoea stewartii* subsp. *stewartii* และตามพระราชบัญญัติกักษ พ.ศ. 2507 แก้ไขเพิ่มเติมโดยพระราชบัญญัติกักษ (ฉบับที่ 2) พ.ศ. 2542 กำหนดให้ข้าวโพดเป็นพืชกำกัด ต้องมีใบปลอกโรคก่อนที่จะส่งออกหรือนำเข้าจากต่างประเทศ (พระราชบัญญัติกักษ พ.ศ. 2507)

เนื่องจากประเทศไทยยังไม่เคยมีรายงานถึงการพบโรคเที่ยวข้าวโพดที่เกิดจากเชื้อ *Pantoea stewartii* subsp. *stewartii* เพื่อเป็นการป้องกัน ควบคุมเชื้อโรคดังกล่าวไว้ให้เข้ามาในประเทศไทย ซึ่งอาจส่งผลกระทบให้เกิดความเสียหายทางเศรษฐกิจอย่างมาก และเพื่อป้องกันการเกิดกันทางการค้า จึงต้องมีมาตรการวิธีการตรวจสอบเชื้อโรคดังกล่าวที่มีประสิทธิภาพ รวดเร็ว แม่นยำ เป็นที่ยอมรับในระดับสากล สามารถใช้อ้างอิงได้ ในการตรวจสอบเชื้อ *P. stewartii* subsp. *stewartii* ปัจจุบันนี้ ใช้เทคนิค ELISA โดยใช้ชุดตรวจสำเร็จรูปทางการค้า (Agdia®, Inc., USA) ร่วมกับการปลูกพืชสังเกตอาการของโรค แต่ชุดตรวจสอบดังกล่าวมีประสิทธิภาพต่ำ และไม่แม่นยำ เมื่อใช้กับการตรวจเมล็ดพันธุ์ข้าวโพดของประเทศไทย (จุฬาเทพ และคณะ, 2550) ประกอบกับชุดตรวจมีราคาแพง

ในการทดลองนี้จึงมีวัตถุประสงค์ เพื่อศึกษาสาเหตุเชื้อแบคทีเรียที่แยกได้จากข้าวโพดในประเทศไทย ซึ่งมีลักษณะอาการคล้ายโรคเพี้ยงข้าวโพดที่เกิดจากเชื้อ *Pantoea stewartii* subsp. *stewartii* และพัฒนาวิธีตรวจสอบเชื้อ *Pantoea stewartii* subsp. *stewartii* จากตัวอย่างพืชและเมล็ดข้าวโพดที่มีประสิทธิภาพสูง รวดเร็ว แม่นยำ เพื่อใช้ประโยชน์ในระบบงานกักพืชและการตรวจรับรองสำหรับประเทศไทยต่อไป

วัตถุประสงค์

1. พิสูจน์สาเหตุเชื้อแบคทีเรียที่ทำให้เกิดโรคอาการคล้ายโรคที่ข้าวโพดที่แยกได้จากข้าวโพดในประเทศไทย
2. พัฒนาวิธีการตรวจเชื้อ *P. stewartii* subsp. *stewartii* ในต้นและเมล็ดพันธุ์ข้าวโพดที่มีประสิทธิภาพ ในการตรวจรับรองการนำเข้าและส่งออกเมล็ดพันธุ์ข้าวโพดสำหรับประเทศไทย

การตรวจเอกสาร

ลักษณะและคุณสมบัติของเชื้อ *Pantoea stewartii* subsp. *stewartii*

เชื้อ *Pantoea stewartii* subsp. *stewartii* (Mergaert *et al.*, 1993), *Erwinia stewartii* (E.F. Smith) มีการจัดอันดับวิชาชั้นดังนี้

Domain	Bacteria
Phylum	Proteobacteria
Class	Gammaproteobacteria
Order	Enterobacteriales
Family	Enterobacteriaceae

มีคุณสมบัติเป็นแบคทีเรียแกรมลบ สามารถใช้หรือไม่ใช้อาหารในการเจริญได้ (facultative anaerobe) ไม่มีหาง (flagella) ไม่เคลื่อนที่ไม่สร้างสปอร์ รูปร่างห่อนบนค่าประมาณ $0.4-0.8 \times 0.9-2.22 \mu\text{m}$ อุณหภูมิที่เหมาะสมกับการเจริญอยู่ในช่วง $27-30^\circ\text{C}$ อุณหภูมิที่สามารถเจริญได้ดีสุด $8-9^\circ\text{C}$ อุณหภูมิที่ทำให้เชื้อจุดนรีบน้ำตายหมด (Thermal death point) ที่ 53°C (Pepper, 1967) ลักษณะโคลoniën บนอาหาร yeast extract dextrose calcium carbonate เป็นสีเหลืองและกลมมนูนมั่นวา สร่านบนอาหาร nutrient-glucose agar มีลักษณะกลมผิวน้ำแบบเรียบ หรือ ผิวน้ำเป็นหลุมเหมือนปล่องภูเขาไฟ เป็นสีครีมออกเหลือง จนถึงเหลืองส้ม ขนาดโคลoniën ประมาณ $1.8-11$ มิลลิเมตร มีช่วงการแบ่งเซลล์ประมาณ $1.8-3.2$ ชั่วโมงต่อรอบ แบคทีเรียสร้าง polysaccharide พวก stewartan โดยเฉพาะเมื่อเจริญบนอาหารที่มี yeast extract เป็นองค์ประกอบ (Pataky and Ikin, 2003) เชื้อ แบคทีเรียนกุณนีมีความทนทานต่อเกลือได้สูงถึง $5-7\%$ ดังนั้นสามารถใช้ 0.8% NaCl หรือ 0.01 M potassium phosphate, pH 7.0 ในการแยกหรือเลือจางเชื้อแบคทีเรียได้ คุณสมบัติทางชีวเคมีได้แก่ สามารถเกิดปฏิกิริยา hypersensitive ในยาสูบได้ แต่ต้องเดิยงเชื้อแบคทีเรียในอาหารที่ไม่ใช้อาหารที่อุดมสมบูรณ์ เช่นอาหาร IM ($(\text{NH}_4)_2\text{SO}_4$ 1 mM KH_2PO_4 1 mM $\text{MgSO}_4 \cdot 7\text{H}_2\text{O}$ 100 mM MES 0.1% casamino acids 1% sucrose, pH 5.5) สามารถสร้างเม็ดสีเหลืองได้ ไม่สามารถเจริญที่อุณหภูมิ 37°C ไม่เกิดปฏิกิริยา oxidase เกิดปฏิกิริยา catalase ไม่สามารถสร้างกรดจากการใช้ cysteine สามารถสร้างกรดแต่ไม่สร้างแก๊สจาก การใช้ arabinose fructose galactose glycerol D-glucose lactose β -methyglucoside mannitol mannosucrose และ

xylose บางสายพันธุ์สามารถสร้างกรดได้เมื่อใช้ sorbitol สามารถใช้ acetate fumarate gluconate malate และ succinate ไม่สามารถใช้ benzolate citrate malonate oxalate propionate และ tartrate ไม่สร้าง indole ไม่เกิดปฏิกิริยา nitrate reduction เจริญได้ช้าบนอาหารที่มี gelatin ไม่สามารถทำให้เกิดสภาพเหลว (liquefaction) ไม่สร้าง 2,5 di-keto-D-gluconate ไม่สามารถผลิต hydrogen sulphide และ ไม่เคลื่อนที่ (Coplin and Kado, 2000; Pepper, 1967)

อาการและการพัฒนาการของโรคในข้าวโพด

เชื้อแบคทีเรียนี้ทำให้เกิดอาการในข้าวโพดได้ 2 ระยะ คือ ระยะต้นกล้า ทำให้เกิดอาการเหี่ยว เมื่อต้นกล้ามีการติดเชื้อกระจายทั่วต้น โดยกระจายผ่านทางท่อน้ำ และระยะใบใหม่ เกิดเมื่อพืชติดเชื้อหลังจากพื้นระยะต้นกล้า โดยพืชเกิดบาดแผลจากการกัดกินของแมลง ทำให้ใบมีลักษณะเริ่มจากเกิดแผลจุดห่าน้ำที่รอยแพลงกัด เชื้อแบคทีเรียจะเพิ่มปริมาณอย่างรวดเร็วในท่อน้ำโดยเฉพาะเมื่อกัดในพืชสายพันธุ์อ่อนแอต่อโรค ในข้าวโพดเป็นปัจจัยหลักที่ทำให้เกิดโรคนี้ พบเป็นคลื่นหยัก ต่อมากพัฒนาเป็นจุดตายและขยายจนทั่วใบ เมื่อพืชมีการติดเชื้อกระจายทั่วต้นใบ อ่อนที่เกิดใหม่และที่รายใบจะเป็นลักษณะเดียวกัน บริเวณใบที่มีอาการห่าน้ำมีตัดแผลและตรวจสอบภายในตัวกล้องจุลทรรศน์จะเห็นการไหลของแบคทีเรีย (ooze) ออกจากแผล อาการเหี่ยวสามารถเกิดได้แม้ในระยะที่ต้นข้าวโพดสูงมากกว่า 24 เซนติเมตร แต่ช่วงที่ข้าวโพดคิดฝักมักแสดงอาการใบใหม่มีปัจจัยหลังนานกันเส้นใบ อาการของโรคพัฒนาได้ดีเมื่ออุณหภูมิสูงกว่า 32°C เชื้อแบคทีเรียจะสามารถเข้าทำลายข้าวโพดได้ทุกชนิด แต่สามารถเข้าทำลายได้ในข้าวโพดหวานและข้าวโพดคั่ว (popcorn) มากกว่าในข้าวโพดไร่ (Hershman *et al.*, 2003; Anonymous, 1997)

การถ่ายทอดโรคและการแพร่ระบาด

เชื้อแบคทีเรียนี้สามารถถ่ายทอดโรคผ่านทางเมล็ด โดยเชื้ออาศัยอยู่ในส่วน chalazal ในชั้น aleurone และระหว่างเซลล์ endosperm ของเมล็ด แต่ไม่พบในส่วน embryo หรือ seed coat ในสหราชอาณาจักรพบว่าเชื้อแบคทีเรียสามารถอาศัยและถ่ายทอดผ่านทางด้วงหมัดข้าวโพด (*Chaetocnema pulicaria*) เท่านั้น โดยเชื้อแบคทีเรียสามารถอาศัยอยู่ในตัวแมลงในฤดูหนาว เมื่อมีการปลูกข้าวโพดแมลงจะกัดกินใบและถ่ายทอดสู่ข้าวโพด ในการแพร่กระจายนั้นลมเป็นปัจจัยหนึ่งในการช่วยในการแพร่กระจาย โดยแมลงจะเพิ่มปริมาณในช่วงอากาศอบอุ่น และถ้าอุณหภูมิสูงกว่า 32°C แมลงจะเจริญได้ดีทำให้มีโอกาสในการเกิดการแพร่กระจายและระบาดของโรคนี้ได้

โดยแบ่งสามารถถ่ายทอดโรคจากคุณปู่กูนี่ไปยังอีกคุณปู่กูนี่ได้ถึง 20% และในระหว่างคุณปู่กูน แบ่งด้วยหมัดรุ่นต่อมาจะเป็นปัจจัยสำคัญในการแพร่กระจายโรคต่อไป (Anonymous, 2000; Pataky and Ikin, 2003)

การควบคุมโรค

การควบคุมโรคสามารถทำได้โดยใช้พันธุ์ต้านทาน และระบบการพยากรณ์อากาศเพื่อใช้ในการประเมินการอยู่รอดของแมลงพาหะ และพยากรณ์การระบาดในคุณปู่กูนต่อไปได้ การควบคุมแมลงด้วยสารเคมี แต่ใช้ไม่ได้ผลในกรณีที่ปู่กูนข้าวโพดสายพันธุ์อ่อนแอด (Anonymous, 2000)

ความสำคัญของโรคเที่ยวข้าวโพดในด้านกักกันพืช

ในการผลิตข้าวโพดพ่อแม่พันธุ์ ซึ่งอาจเป็นพันธุ์ที่อ่อนแอดต่อโรคนี้มักมีโอกาสที่เชื่อจะกระจายทั่วต้นและติดผ่านเข้าไปในเมล็ดได้ เนื่องจากเชื้อแบคทีเรียนี้เป็นสาเหตุโรคที่สำคัญและก่อให้เกิดโรคทำความเสียหายอย่างมากในอุตสาหกรรมการผลิตข้าวโพด พบว่าอัตราและโอกาสการถ่ายทอดเชื้อจากพืชสูงเมล็ด และจากเมล็ดสูงต้นกล้าในพืชสายพันธุ์อ่อนแอดมีโอกาสถึง 10% สายพันธุ์อ่อนแอดปานกลาง มีโอกาสติดต่อจากพืชสูงเมล็ดน้อยกว่า 0.3% ในขณะที่ในพืชสายพันธุ์ต้านทานมีโอกาสน้อยกว่า 0.03% ดังนั้นในกองเมล็ดข้าวโพดที่เป็นสายพันธุ์อ่อนแอดปานกลางหรือต้านทานมีโอกาสที่จะติดเชื้อในสัดส่วนที่ต่ำ ยากแก่การตรวจสอบ และเชื้อแบคทีเรียมีโอกาสถ่ายทอดโรคจากเมล็ดสูงต้นกล้าในอัตราเพียง 0.8% ในกรณีที่เมล็ดมีการป่นเป็นอนุภูมิคุณภาพในประเทศที่ไม่ใช่แหล่งหรือพบโรคมาก่อน ในการนำเข้าเมล็ดพันธุ์นั้น อาจมีการนำเข้าเมล็ดพันธุ์เพื่อจุดประสงค์อื่นทำให้อาจจะละเอียดต่อการตรวจสอบเชื้อโรคนี้ และเนื่องจากเชื้อแบคทีเรียนนี้สามารถติดต่อผ่านทางเมล็ดพันธุ์ได้ แม้ในอัตราต่ำ แต่ก็จัดเป็นเชื้อโรคที่บรรจุอยู่ในรายชื่อสิ่งต้องห้ามในหลาย ๆ ประเทศผู้นำเข้าและส่งออกเมล็ดพันธุ์ข้าวโพด (Pataky and Ikin, 2003) รวมถึงประเทศไทยตามพระราชบัญญัติกักษ พ.ศ. 2507 แก้ไขเพิ่มเติมโดยพระราชบัญญัติกษ พ.ศ. (ฉบับที่ 2) พ.ศ. 2542 กำหนดให้ข้าวโพดเป็นสิ่งกำกัด ต้องมีใบปลดออกก่อนที่จะส่งออกหรือนำเข้าจากต่างประเทศ

ยืนที่เกี่ยวข้องกับการเกิดโรค

Type III protein secretion system (TTSS) เป็นระบบที่บนส่างหรือเป็นช่องส่างผ่านของโปรตีนของแบคทีเรียซึ่งส่วนใหญ่มีเกี่ยวข้องกับการก่อโรค และความสัมพันธ์กับพืชในการเกิดความด้านทางโรค TTSS สังเคราะห์ด้วยกลุ่มของยีนหลายๆ ชนิด เรียกว่า *hrp/hrc* (hypersensitive response and pathogenicity/ conserved) การแสดงออกของกลุ่มยีนนี้ขึ้นกับปัจจัยได้แก่ สิ่งแวดล้อมพืช สารที่พืชสังเคราะห์ขึ้น รวมทั้งสามารถกระตุ้นด้วยการซักนำได้ แต่ยังไม่ทราบถึงกลไกการทำงานที่แน่นอน กลุ่มของยีน *hrp* ในเชื้อ *Pantoea stewartii* subsp. *stewartii*. นั้นเดิมมีชื่อว่า *wts* เนื่องจากเดิมมีการศึกษาญี่ปุ่นว่าเกี่ยวข้องกับการเกิดจุดสำลัก (water soaking) (Coplin *et al.*, 1992) *hrp* ยีน แบ่งออกเป็น 2 กลุ่ม ใน *P. stewartii* subsp. *stewartii*. พบว่ากลุ่มแรกควบคุมด้วยโปรตีน HrpS และอีกกลุ่มควบคุมด้วยโปรตีน HrpL การทำงานของยีน *hrp* มีการควบคุมเป็นลำดับขั้น (Merighi *et al.*, 2003) พบว่ายีนที่ควบคุมการทำงานของยีน *hrp* 4 ยีนได้แก่ *hrpX* *hrpY* ซึ่งจะสังเคราะห์โปรตีนที่เป็น sensor kinase และ response regulator ตามลำดับ *hrpS* สังเคราะห์ NtrC-like transcriptional factor และ *hrpL* สังเคราะห์ sigma factor จากการทดสอบใน *E. coli* พบว่า โปรตีน HrpY กระตุ้นการทำงานของยีน *hrpS* และควบคุมการทำงานของ *hrpX* operon โดยอัตโนมัติ ในทางกลับกัน โปรตีน HrpS ก็เป็นปัจจัยสำคัญในการทำงานของ promotor ของ σ^{45} ซึ่งจำเป็นในการทำงานของ *hrpL* และท้ายที่สุด โปรตีน HrpL จะไปควบคุมการแสดงออกของกลุ่มยีน *hrp* ในสภาพหลอดทดลองการทำงานของ *hrpS* และยีนอื่นๆ ที่เป็นลำดับขั้นไป ขึ้นกับความเป็นกรดค้าง และความเข้มข้นของเกลือ การกลাযพันธุ์ในส่วนยีน *hrpX* ส่งผลให้เชื้อแบคทีเรียซึ่งสามารถทำให้เกิดโรคได้ แต่ไม่รุนแรงเท่าเชื้อแบคทีเรียสายพันธุ์ปกติ และเชื้อจะสูญเสียความสามารถในการตอบสนองต่อสารเคมีที่กระตุ้นการทำงานของยีน *hrp* และเมื่อกลายพันธุ์ยีนในส่วน *hrpY* ในตำแหน่งอนุรักษ์ของยีนนี้คือ aspartate57 ซึ่งเป็นตำแหน่งที่เกิดการ phosphorylation ของยีนนี้ ส่งผลให้เชื้อแบคทีเรียไม่สามารถเข้าทำลายข้าวโพดหรือกระตุ้นการทำงานของกลุ่มยีน *hrp* ได้ ดังนั้นสามารถสรุปได้ว่าการทำงานของกลุ่มยีน *hrp* มีการควบคุมเป็นลำดับขั้นดังนี้ *hrpY* → *hrpS* → *hrpL* → promotor ของกลุ่มยีน *hrp* (Merighi *et al.*, 2003)

สาร exopolysaccharide (EPS) ในเชื้อ *Pantoea stewartii* subsp. *stewartii* เรียกว่า stewartan ซึ่งไปอุดตันท่อลำเลียงน้ำ สร้างจากกลุ่มยีน *cps* หากมีการกลা�ยพันธุ์ของยีนนี้จะทำให้แบคทีเรียสูญเสียความสามารถในการเกิดโรคไป การแสดงออกของยีนชุดนี้ควบคุมแบบ Quorum-Sensing คือจะแสดงออกเมื่อแบคทีเรียมีปริมาณมากกว่า 2×10^8 เชลล์ต่อมิลลิลิตร และควบคุมด้วยโปรตีน

จากยีน *esaI* และ *esaR* ซึ่งช่วยในการชะลอการแสดงออกของยีนที่ใช้สร้างสาร *stewartan* มีบทบาทสำคัญในการทำให้เกิดความรุนแรงของโรคในช่วงปลายของการเข้าทำลายพืช โดยในช่วงแรกของการเข้าทำลายเมื่อพืชเกิดจุดฟัน้ำสาหร *stewartan* จะช่วยรักษาฟัน้ำและชาต้อาหารบริเวณช่องว่างระหว่างเซลล์พืช และช่วยรักษาแรงดันน้ำไม่ให้เกิดการอุดตันในท่อคัมเดียงน้ำ และยังมีบทบาทในการแยกเซลล์ *parenchyma* เพื่อช่วยให้แบคทีเรียแพร่กระจายไปได้ทั่วต้น และเมื่อมีปริมาณแบคทีเรียในลำต้นมากจะมีการกระตุ้นการแสดงออกของยีนนี้อย่างมากจนท้ายสุดอาการที่อาจจะเกิดขึ้นเมื่อ EPS อุดตันระบบห่อคัมเดียงน้ำบริเวณเนื้อเยื่อ pit ซึ่งเมื่อมีการถูกพันธุ์ยีนกระตุ้นให้เชื้อแบคทีเรียสร้าง EPS มากขึ้น พบว่าทำให้เชื้อแบคทีเรียลดความรุนแรงในการก่อโรคลง และยังทำให้แบคทีเรียไม่สามารถเคลื่อนไปในห่อคัมเดียงน้ำด้วย อย่างไรก็ตามในการปลูกเชื้อด้วยเซลล์ตั้งต้น 10^7 เซลล์ต่อต้น ด้วยวิธีการหยดกรวยยอดต้นข้าวโพดสามารถทำให้พืชก่ออาการจุดฟัน้ำได้ (von Bodman *et al.*, 1998)

ในการสร้างสาร polysaccharide ของแบคทีเรียประกอบด้วย 4 ขั้นตอนหลักคือ 1. การสร้างอนุพันธ์ของ nucleotide sugar diphosphate ใน cytoplasm 2. การต่อหน่วยย่อยของแต่ละอนุพันธ์เป็นสายยาวด้วยการข่าย monosaccharide จากอนุพันธ์ของ nucleotide ไปยัง lipid carrier ที่เยื่อหุ้มเซลล์ 3. การเติมหมู่ side chain เช่น pyruvate acetate succinate หรือ hydroxybutyrate และ 4. การข้าย polysaccharide จาก lipid carrier ไปยังหน่วยใหม่ (Whitfield and Valvano, 1993) ในเชื้อ *Pantoea stewartii* subsp. *stewartii* มีการสร้าง *stewartan* ซึ่งประกอบด้วยโมเลกุลของ glucose 2 หน่วย และ galactose 2 หน่วยเป็นแกนหลัก และมี side chain เป็น galactose การสร้าง *stewartan* มียีนที่เกี่ยวข้องคือ กลุ่มยีน *cps* ประกอบด้วย 13 ORF เรียงตามลำดับดังนี้ *cpsA B I C D E F G H J K L* และ *M* มีการถอดรหัสในพิสทางเดียวกัน จากการศึกษาเปรียบเทียบกับกลุ่มของยีน *ams* ที่สร้าง polysaccharide ในเชื้อ *Erwinia amylovora* พบว่ามีความเหมือน (similarity) ของลำดับกรดอะมิโนมากกว่า 80% เมื่อเปรียบเทียบกับฐานข้อมูลพบว่า *cpsM* คล้ายกับ *galV* ของ *E. coli* ซึ่งทำหน้าที่ UDP-glucose pyrophosphorylase ประกอบกับการทำงานของ *galE* ทำให้มีหน้าที่ในการสร้างสารเริ่มต้นของ polysaccharide ได้แก่ UDP-glucose และ UDP-galactose CpsA คล้ายกับโปรตีน Rfbp ของ *Salmonella enterica* ทำหน้าที่เกี่ยวข้องกับการสร้าง LPS โดยเป็นoen ไซด์ undecaprenyl-phosphate galactose phosphatransferase ซึ่งทำหน้าที่เติม galactose ให้กับ lipid carrier ส่วน CpsD E G และ K คล้ายคลึงกับโปรตีน glucosyl-transferase ในการสร้าง LPS EPS และ EPS group II CpsE และ CpsF คล้ายกับ glucosyl-transferase CpsG และ CpsK คล้ายกับส่วนด้าน C-terminus ของ galactosyl transferase CpsH มีส่วน signal peptide ของกรดอะมิโน 28 ตัว

แรก ซึ่งคาดว่าทำหน้าที่อยู่ใน periplasm ทำหน้าที่เชื่อมต่อแต่ละหน่วยย่อยของ polysaccharide CpsC คล้ายกับ BexC CpsB คล้ายกับ CtrA ซึ่งโปรตีนนี้เกี่ยวข้องกับการถ่ายทอด capsular polysaccharides group II ผ่าน inner และ outer membrane ตามลำดับ และ CpsB และ C มีส่วนของ membrane spanning domain โดย CpsB ประกอบด้วยส่วน lipoprotein attachment site และ CpsC มีส่วนของ putative ATP-binding domain CpsL ทำหน้าที่เกี่ยวข้องกับการขนส่ง polysaccharide และ Cpsi ให้โปรตีนทำหน้าที่เป็น acid phosphatase โดยการนำหมู่ phosphate จาก undecaprenol diphosphate หลังจากปลดปล่อยหน่วยย่อยของ polysaccharide จาก lipid carrier ซึ่งจากการศึกษาเปรียบเทียบกลุ่มยืน cps กับกลุ่มยืน ams พนว่ามีการเรียงตัวของกลุ่มยืนคล้ายกันและให้โปรตีนขนาดใกล้เคียงกันยกเว้น cpsD E F และ G (Dolph *et al.*, 1988; Coplin *et al.*, 1996; Bernhard *et al.*, 1996)

การตรวจสอบเชื้อ *Pantoea stewartii* subsp. *stewartii*

ในการตรวจสอบเชื้อ *Pantoea stewartii* subsp. *stewartii* นั้นมีการใช้หลายๆ วิธีเริ่มต้นจากการตรวจสอบเชื้อในระดับแเปลงปลูกโดยดูอาการและตรวจสอบการไหลงของเชื้อแบคทีเรีย (ooze) จากรอยแพลงกายได้แก่ด่องจุลทรรศน์ และทำการแยกเชื้อแบคทีเรียในอาหาร casamino acids-peptone-glucose (CPG) agar (Coplin and Kado, 2000) ให้ลักษณะโโคโลนีลักษณะเป็นเมือกเย็น เป็นสีเหลืองอ่อน หรืออาหาร nigrosine medium ประกอบด้วย yeast extract 1 กรัม glycerol 30 มิลลิลิตร Nystatin 200 ไมโครกรัมต่อมิลลิลิตร sodium taurocholate 3 กรัม NaCl 15 กรัม 1% aqueous nigrosine solution 20 มิลลิลิตร และ agar 17 กรัม โดยเมื่อเดี่ยงเชื้อแบคทีเรียบนอาหารนี้ประมาณ 5-7 วันที่อุณหภูมิ 30 °C เชื้อ *P. stewartii* subsp. *stewartii* จะมีลักษณะโโคโลนีกลม ขอบเรียบ นูนเล็กน้อย มันวาว ตรงกลางเป็นจุดสีดำ ขอบโโคโลนีโปรด়েงแสง (Guo *et al.*, 1982) วิธีการที่เป็นที่นิยมและยอมรับได้แก่ Enzyme-linked Immunosorbent Assay (ELISA) โดยใช้ชุดตรวจสอบของ Agdia Inc. ซึ่งเป็นวิธีที่ใช้ในการตรวจสอบเมล็ดพันธุ์ตามระบบของ National Seed Health System ซึ่งพัฒนาวิธีการตรวจสอบเชื้อแบคทีเรียในเมล็ดข้าวโพดโดย Iowa State University Seed Science Center (Pataky and Ikin, 2003) แต่วิธีการนี้มีข้อจำกัดคือสามารถตรวจเชื้อแบคทีเรียได้เมื่อมีปริมาณเชื่อมากกว่า 10^5 cell/ml และในการอ่านผลปฏิกิริยาค่าที่เป็นบวกนั้นต้องอ่านค่าได้มากกว่า 3 เท่าของค่าของตัวควบคุมลบ (negative control) แต่ในบางตัวอย่างที่พบว่าผลอยู่ในช่วงที่มากกว่าตัวควบคุมลบแต่ไม่ถึง 3 เท่าจะถือว่าเป็นค่าที่คุณเครือ (elevated) ต้องมีการตรวจสอบซ้ำ (Sutula *et al.*, 1986) อย่างไรก็ตามวิธีการ ELISA ยังสามารถนำไปตรวจสอบเชื้อได้ทั้งเชื้อ

แบบที่เรียกในเมืองจีนข้าวโพด ต้นข้าวโพด และเมล็ดด้วย การตรวจสอบเชื้อแบคทีเรียในเมล็ดร่วมกับจำนวนประชากรของเมล็ดพากะ เพื่อใช้ในการประเมินจำนวนของระดับของเชื้อแบคทีเรียเริ่มต้น ในฤดูปลูกหนึ่งไปยังอีกฤดูปลูกหนึ่งในการพยากรณ์การระบาดของโรค (Nutter-Jr. and Esker, 2003) ถึงแม้วิธีการ ELISA จะเป็นที่นิยมแต่ก็เป็นวิธีการที่มีข้อจำกัด ได้แก่ ใช้เวลานาน มีความไว ต่ำ และมีค่าใช้จ่ายในการซื้อชุดตรวจการค้าสูง จึงมีการพัฒนาวิธีการตรวจสอบเชื้อด้วยพื้นฐานของเทคนิค PCR (polymerase-chain reaction) และในปัจจุบัน PCR ถือว่าเป็นเทคนิคพื้นฐานในห้องปฏิบัติการ ได้มีการพัฒนาการตรวจสอบเชื้อ *Pantoea stewartii* subsp. *stewartii* ด้วย PCR ในหลาย งานทดลอง จากส่วนต่างๆ ของดีเอ็นเอของเชื้อ *P. stewartii* subsp. *stewartii* เช่น 16S-23S rRNA/ITS (intergenic transcribed spacer) region (Coplin and Kado, 2000) จากยีนที่เกี่ยวข้องกับการเกิดโรคและความรุนแรงของโรค เช่นยีน *cps* ซึ่งเป็นยีนที่เกี่ยวข้องกับการสร้าง polysaccharide โดยใช้ primer CPL1 และ CPSR2S ให้ผลผลิตขนาด 1.1 kb ซึ่งออกแบบมาจากยีนในส่วนกลางของ *cpsE* และส่วนปลายของยีน *cpsD* (Coplin, et al., 2001) ซึ่งยีน *cpsD* เป็นยีนที่มีเฉพาะใน *P. stewartii* subsp. *stewartii* เท่านั้น (Coplin, et al., 1996) และยีน *hrpS* โดยใช้คู่ primer HRP1d และ HRP3C ให้ผลผลิตขนาด 0.9 kb โดย primer จากทั้งสองยีนสามารถตรวจสอบเชื้อ *P. stewartii* subsp. *stewartii* บริสุทธิ์ได้ 20 เซลล์ และตรวจสอบจากชิ้นพืชได้ 200 เซลล์ต่อบัญชีกริยา และมีความจำเพาะต่อเชื้อ *P. stewartii* subsp. *stewartii* เท่านั้น แต่พบว่าไม่สามารถตรวจเชื้อ *P. stewartii* subsp. *stewartii* strain DC116 ซึ่งเป็นสายพันธุ์ที่ไม่รุนแรง สันนิษฐานว่าเชื้อสายพันธุ์ดังกล่าวอาจมีความผิดปกติหรือสูญเสียยีนไปตั้งแต่แยกเชื้อได้ในปี 1976 (Coplin et al., 2001) นอกจากนี้ยังมีการพัฒนาวิธีการที่ใช้ PCR ร่วมกับเทคนิคอื่นๆ ได้แก่ ใช้ PCR ควบคู่กับ ligase chain reaction ซึ่งสามารถตรวจสอบบ่งชี้เชื้อ *Erwinia* ได้ถึงระดับ species โดยมีหลักการคือและใช้ primer 2 คู่ซึ่งออกแบบจาก DNA ของ 16S rDNA โดยใช้ส่วนที่มีความแตกต่างเพียง 1 base ที่จำเพาะต่อ species นี้ primer ทั้งสองคู่อยู่ติดกันและส่วนปลายด้าน 3' ของ forward primer ติดคลากด้วย isotope ทั้งนี้ หากดีเอ็นเอดีนั้นแบบไม่สามารถเข้าคู่กับ primer ได้ก็จะไม่เกิดการเชื่อมต่อ (ligation) ของ primer ดังนั้นจึงไม่มีดีเอ็นเอเริ่มต้นในการทำ PCR ต่อไป โดยวิธีการนี้เป็นวิธีการที่มีความไวสูง (1.9×10^3 cfu/g) และความจำเพาะระดับ species สูง (Wilson et al., 1994) แต่วิธีการนี้เป็นวิธีการที่ต้องใช้การติดคลากด้วยสารรังสี ซึ่งไม่เหมาะสมสำหรับห้องปฏิบัติการทั่วไป เทคนิคอื่นที่นำมาใช้ร่วมกับ PCR ได้แก่ การใช้ DNA probe ซึ่งพัฒนามาจากการทำ PCR ที่ได้จาก arbitrary primer (Blakemore et al., 1992)

การถ่ายทอดเชื้อจากต้นสู่เมล็ด จากเมล็ดสู่ต้นกล้า การตรวจสอบและการยอมรับการติดเชื้อในเมล็ดพันธุ์ตามมาตรฐานด้วยวิธีการ ELISA

จากการทดลองของ (Michener *et al.*, 2002a, 2002b) ในการถ่ายทอดเชื้อ *Erwinia stewartii* จากพืชสู่เมล็ด โดยทดลองกับข้าวโพดสายพันธุ์ลูกผสม 124 สายพันธุ์ประกอบด้วยข้าวโพดเมล็ดสีขาว ข้าวโพดสำหรับคั่ว และข้าวโพดหวาน ที่ปลูกในช่วงปี 1998 ถึง ปี 2000 โดยสำรวจระดับอาการของต้น ซึ่งเกลี่ยจากความรุนแรงของโรคพบว่าข้าวโพดที่ปลูกในช่วงสามปีนั้นเป็นข้าวโพดที่มีระดับความต้านทานปานกลางถึงอ่อนแอก และจากการตรวจด้วยวิธีการ ELISA พบว่าสายพันธุ์ต้านทานไม่มีเมล็ดติดเชื้อ 0.024 และ 0.0007% ในปี 1998 และ 1999 ตามลำดับ ในสายพันธุ์ต้านทานปานกลางมีเมล็ดติดเชื้อ 0.19 และ 0.07% ในปี 1998 และ 1999 ตามลำดับ และสายพันธุ์อ่อนแอกเมล็ดติดเชื้อ 11.6 และ 7.8% ในปี 1998 และ 1999 ตามลำดับ และพบว่าเมล็ดที่ได้จากข้าวโพดสายพันธุ์อ่อนแอกที่ปลูกเชื้อในช่วงปี 1998 ถึง ปี 2000 พบว่ามีโอกาสที่เมล็ดจะติดเชื้อ 15.6-49.6 และ 12.5 ตามลำดับ และจากการปลูกเมล็ดที่ได้จากต้นที่ติดเชื้อ พบว่าต้นกล้าที่ได้เมื่อตรวจสอบเชื้อ *E. stewartii* ด้วยวิธีการ ELISA และการตรวจสอบ ooze พบว่ามีต้นกล้าเป็นโรค 59 ใน 58,300 ต้น ซึ่งคาดว่า 22 ต้น เป็นการติดเชื้อจากการถ่ายทอดเชื้อจากเมล็ดสู่ต้นกล้า แต่ถ้า 37 ต้น เป็นการติดเชื้อตามธรรมชาติ เนื่องจากพันแมลงด้วงหมัดข้าวโพดในแปลงปลูก ซึ่ง 22 ต้น ใน 58,300 คิดเป็น 0.038% และจากการสำรวจแปลงข้าวโพดที่เป็นโรค และนำเมล็ดมาตรวจสอบเชื้อด้วยวิธีการ ELISA พบว่าแปลงปลูกที่เป็นโรคมากกว่า 25% จึงสามารถตรวจพบเมล็ดที่ติดเชื้อจาก การสูบตัวอย่างเมล็ดจำนวน 300 โดยการตรวจเมล็ดครั้งละเมล็ด หรือจำนวน 500 เมล็ดการตรวจแบบแบ่งกองเมล็ดกองละ 50 เมล็ด และสามารถตรวจสอบเมล็ดที่ติดเชื้อตั้งแต่ 5% เท่านั้นจากแปลงที่เป็นโรค 50% ดังนี้ โอกาสที่เมล็ดจะติดเชื้อจึงมีน้อย (Block *et al.*, 1999)

การคำนวณโอกาสในการสูบเมล็ดที่ติดเชื้อและประมาณความน่าจะเป็นของเมล็ดที่ติดเชื้อสามารถคำนวณได้ดังในสมการที่ 1 และ 2 ดังนี้ (Pataky and Ikin, 2003)

$$P_{(S=0)} = 1 - q^n \quad \text{สมการที่ 1}$$

โดย S หมายถึงจำนวนห้องหมอดของตัวอย่างเมล็ดที่ติดเชื้อ q หมายถึงความน่าจะเป็นของเมล็ดไม่ติดเชื้อ n หมายถึงจำนวนเมล็ดที่ทดสอบ และ $P_{(S=0)}$ หมายถึงความน่าจะเป็นที่จะสุ่ม

ไม่ได้เมล็ดที่ติดเชื้อ โดยอยู่ภายใต้สมมุติฐานว่าวิธีการตรวจสอบจะตรวจสอบเมล็ดทั้งหมดและเมล็ดที่นำมาตรวจได้มาแบบสุ่ม

โดยวิธีการตรวจแบบสุ่ม 100 เมล็ด 4 กอง ซึ่งถ้าเมล็ดมีการติดเชื้อ 1% ($p = 0.01$ และ $q = 0.99$) ดังนั้นมีโอกาสหยอดตัวอย่างเมล็ดที่ติดเชื้อได้ ดังแสดง

$$P_{(S=0)} = 1 - 0.99^{400} = 0.982$$

และการหาความน่าจะเป็นของเมล็ดติดเชื้อจากการตรวจรวมตัวอย่างได้ดังสมการ

$$p = 1 - [(1-Q)^{(1/n)}] \quad \text{สมการที่ 2}$$

โดย p หมายถึงประมาณการความน่าจะเป็นของเมล็ดที่ติดเชื้อ Q หมายถึงความน่าจะเป็นของตัวอย่างที่เป็นบวก และ n หมายถึง จำนวนเมล็ดต่อตัวอย่าง เช่นถ้าตรวจเมล็ด 4 กอง กองละ 100 เมล็ด พบร้อยตัวอย่างที่ให้ผลบวกหนึ่งตัวอย่าง จะประมาณเมล็ดที่ติดเชื้อ ได้ 0.29% ดังแสดง

$$p = 1 - [(1-0.25)^{(1/100)}] = 0.00287 \approx 0.029\%$$

รายงานของ Pataky and Ikin (2003) นั้นอธิบายถึงข้อมูลการสุ่มตัวอย่างเมล็ดสำหรับการตรวจสอบเชื้อ *Pantoea stewartii* ด้วยวิธี ELISA โดย Iowa State University นั้น ใช้การตรวจสอบเมล็ดที่มีการติดเชื้อ 0.5% เป็นพื้นฐาน ซึ่งได้จากการประมาณถึงโอกาสการเสี่ยงต่อการได้รับและแพร่กระจายเชื้อ โรคจากการได้รับเมล็ดติดเชื้อจากกองเมล็ดพันธุ์ โดยทั่วไปที่จะยอมรับได้ต้องมีการติดเชื้อต่ำกว่า 1% บนพื้นฐานข้อมูลอัตราการถ่ายทอดเชื้อจากเมล็ดสู่ต้นกล้าและเขตพื้นที่ที่ไม่มีแมลง파หะ โดยไม่พบรการถ่ายทอดโรคจากเมล็ดสู่ต้นกล้าเมล็ดติดเชื้อต่ำกว่า 10% และอัตราการถ่ายทอดจากเมล็ดสู่ต้นกล้าในเขตพื้นที่ที่พบรโรคเป็น 0.02% ดังนั้นระดับเมล็ดติดเชื้อที่ยอมรับได้ 0.5% จะมีการติดเชื้อในกองเมล็ดพันธุ์น้อยกว่าหนึ่งในล้านเมล็ด และจากการตรวจสอบด้วยวิธี ELISA ใช้ความน่าเป็นที่จะหยิบเมล็ดติดเชื้อจากการคำนวนด้วยสมการที่ 1 เป็น 98.2% ในกรณีที่มีการติดเชื้อ 1 % จากการตรวจน้ำเมล็ด 4 กอง กองละ 100 เมล็ด ถ้าตรวจพบตัวอย่างที่ให้ผลบวกศูนย์ หรือหนึ่งตัวอย่างจะสรุปได้ว่าเมล็ดมีการติดเชื้อต่ำกว่า 1% และสามารถยอมรับเมล็ดพันธุ์ในกองนี้ได้ สรุปได้ดังตารางที่ 1

ตารางที่ 1 เปอร์เซ็นต์ของเมล็ดข้าวโพดติดเชื้อ *Pantoea stewartii* subsp. *stewartii* ประมาณจาก การตรวจ 4 8 12 และ 16 ของกองเมล็ดพันธุ์ กองละ 100 เมล็ด ด้วยวิธีการ ELISA

จำนวนตัวอย่าง กองละ 100 เมล็ด	จำนวนตัวอย่างที่ ให้ผลบวก	ความน่าจะเป็น ของการติดเชื้อ	ประมาณ ติดเชื้อ	คำแนะนำ
4	0	0	< 0.29	ยอมรับ
4	1	0.25	0.29	ยอมรับ
4	2	0.50	0.69	ทดสอบใหม่* หรือ ไม่ ยอมรับ
4	3	0.75	1.38	ทดสอบใหม่ หรือ ไม่ยอมรับ
4	4	1	>1.38	ทดสอบใหม่ หรือ ไม่ยอมรับ
8	0	0	<0.13	ยอมรับ
8	1	0.125	0.13	ยอมรับ
8	2	0.5	0.29	ยอมรับ
8	3	0.375	0.47	ยอมรับ
8	4	0.5	0.69	ทดสอบใหม่ หรือ ไม่ยอมรับ
8	5	0.625	0.98	ทดสอบใหม่ หรือ ไม่ยอมรับ
8	6	0.75	1.38	ทดสอบใหม่ หรือ ไม่ยอมรับ
8	7	0.875	2.06	ทดสอบใหม่ หรือ ไม่ยอมรับ
8	8	1	>2.06	ทดสอบใหม่ หรือ ไม่ยอมรับ
12	0	0	<0.09	ยอมรับ
12	1	0.083	0.09	ยอมรับ
12	2	0.167	0.18	ยอมรับ
12	3	0.25	0.29	ยอมรับ
12	4	0.333	0.4	ยอมรับ
12	5	0.417	0.54	ทดสอบใหม่ หรือ ไม่ยอมรับ
12	6	0.5	0.69	ทดสอบใหม่ หรือ ไม่ยอมรับ
12	7	0.583	0.87	ทดสอบใหม่ หรือ ไม่ยอมรับ

ตารางที่ 1 (ต่อ)

จำนวนตัวอย่าง กองละ 100	ให้ผลบวก ของการติดเชื้อ	ความน่าจะเป็น การติดเชื้อ	ประมาณ%	คำแนะนำ
เมล็ด				
12	8	0.667	1.09	ทดสอบใหม่ หรือ ไม่ยอมรับ
12	11	0.917	2.46	ทดสอบใหม่ หรือ ไม่ยอมรับ
12	12	1	>2.46	ทดสอบใหม่ หรือ ไม่ยอมรับ
16	0	0	<0.06	ยอมรับ
16	1	0.0625	0.06	ยอมรับ
16	2	0.125	0.13	ยอมรับ
16	3	0.1875	0.21	ยอมรับ
16	4	0.25	0.29	ยอมรับ
16	5	0.3125	0.37	ยอมรับ
16	6	0.375	0.47	ยอมรับ
16	7	0.4375	0.57	ทดสอบใหม่ หรือ ไม่ยอมรับ
16	8	0.5	0.69	ทดสอบใหม่ หรือ ไม่ยอมรับ
16	9	0.5625	0.82	ทดสอบใหม่ หรือ ไม่ยอมรับ
16	10	0.625	0.98	ทดสอบใหม่ หรือ ไม่ยอมรับ
16	11	0.6875	1.16	ทดสอบใหม่ หรือ ไม่ยอมรับ
16	12	0.75	1.38	ทดสอบใหม่ หรือ ไม่ยอมรับ
16	13	0.8125	1.66	ทดสอบใหม่ หรือ ไม่ยอมรับ
16	14	0.875	2.06	ทดสอบใหม่ หรือ ไม่ยอมรับ
16	15	0.9375	2.73	ทดสอบใหม่ หรือ ไม่ยอมรับ
16	16	1	>2.73	ทดสอบใหม่ หรือ ไม่ยอมรับ

* การทดสอบใหม่สามารถทดสอบตัวอย่างกองเมล็ด 100 เมล็ด ได้ไม่จำกัดจำนวน โดยให้มี เปอร์เซ็นต์การติดเชื้อต่ำกว่า 0.5% จึงจะยอมรับได้
 ที่มา: Pataky and Ikin, 2003.

เทคนิค Real-time PCR

เทคนิค Real-time PCR เป็นเทคนิค PCR ที่สามารถรายงานผลได้ทันที โดยมีองค์ประกอบของปฏิกิริยา ได้แก่ dNTPs MgCl₂ PCR buffer Taq DNA polymerase forward primer และ reverse primer เมื่อ PCR ทั่วไป แต่ในการตรวจผลนั้น Real-time PCR ใช้การตรวจสอบความเข้มของสารเรืองแสง (fluorescence) ซึ่งจะเพิ่มมากขึ้นทุกๆ รอบของการทำปฏิกิริยาแล้วได้ผลผลิตสูงขึ้น และสามารถตรวจสอบผลที่เกิดปฏิกิริยาขึ้นได้ทันที โดยไม่ต้องรอให้ปฏิกิริยาเสร็จสิ้น สมบูรณ์ (end-point detection) ซึ่งจากการตรวจสอบความเข้มข้นของสารเรืองแสงทำให้สามารถคำนวณหาปริมาณของผลผลิตที่ได้ด้วย

การติดตามสัญญาณของสารเรืองแสงนั้นมีหลายระบบที่ผลิตขึ้นเป็นการค้า สามารถแบ่งได้คือ การตรวจการเกิดปฏิกิริยาจากดีเอ็นเอสายคู่ โดยการใช้สารเรืองแสงที่มีคุณสมบัติในการเกาะจับดีเอ็นเอสายคู่ ได้แก่ 1. Sybr Green I ® ซึ่งวิธีการนี้เป็นวิธีการที่สะดวก รวดเร็ว ประหยัดค่าใช้จ่าย แต่อาจมีการตรวจสอบผิดพลาดเนื่องจากการเกิดสัญญาณจากการจับกันเองของคู่ primer (primer dimer) แต่สามารถใช้การตรวจสอบค่า Tm ของผลผลิตของ PCR เป็นตัวตรวจสอบได้ เนื่องจากผลผลิตของ PCR แต่ละสายคู่มีค่า Tm ที่แตกต่างกัน ข้อจำกัดอีกอย่างสำหรับเทคนิคนี้คือสามารถตรวจสอบการเกิดปฏิกิริยาของผลผลิตจากคู่ primer เพียงแค่คู่เดียวเท่านั้น (singleplex reaction) 2. การตรวจสอบสัญญาณสารเรืองแสงของตัวติดตาม (probe) ซึ่งมีหลายระบบ ได้แก่ ระบบ hydrolysis probe เช่น TaqMan® probe Molecular Beacon และ Scorpions ซึ่ง probe คือสายนิวคลีโอไทด์ขนาด 20-40 เบส ที่เติมเข้าไปนอกเหนือจากองค์ประกอบของปฏิกิริยาของ PCR โดย probe จะติด粘附กับปลาย 5' และ 3' ด้วยสารเรืองแสงสองชนิดคือ สารเรืองแสงรายงานผล (reporter dye) และสารบดบังการเรืองแสง (quencher dye) โดยเมื่อตัดสารเรืองแสงทั้งสองชนิดออกจากกัน โดยใช้คุณสมบัติของ 5' exonuclease ของ Taq DNA polymerase ทำให้เกิดการเรืองแสงขึ้น ระบบ hybridization probe ได้แก่ Lightcycle® probe ซึ่งใช้ probe 2 เส้น โดยที่ปลายด้าน 3' ของเส้น donor ติด粘附ด้วยสารเรืองแสงที่ปิดปล่อยแสงที่ความยาวคลื่นหนึ่ง และเมื่อนำอุ่นไก่กับ probe อีกเส้นหนึ่งที่ติดด้วยสารเรืองแสงอีกชนิดหนึ่ง เมื่อ probe ทั้งสองอุ่นไก่กันจะมีการส่งถ่ายพลังงานจาก donor ไปยังอีกเส้นหนึ่ง ไประดับให้สารเรืองแสงที่อยู่อีกเส้นหนึ่งเกิดการปล่อยพลังงานเป็นความยาวคลื่นอีกคลื่นหนึ่งที่สามารถตรวจสอบด้วยเครื่อง RT-PCR เกิดเป็นสัญญาณในทุกๆ รอบที่เกิดปฏิกิริยาขึ้น 3. ระบบที่ติดสารเรืองแสงที่ Primer ได้แก่ LUX® Primer ซึ่งสัญญาณการเรืองแสงจะเกิดขึ้นเมื่อ primer มีการเปลี่ยนรูปร่าง ซึ่งเดิมจะอยู่ในสภาพที่ไม่เรืองแสงเนื่องจากสาย

primer มีโครงสร้างเป็น hairpin ที่ส่วนปลาย 3' แต่เมื่อให้ความร้อนเพื่อแยกดีเอ็นเอสายคู่ primer จะเปลี่ยนรูปร่างเป็นเส้นตรงก็จะเกิดการเรืองแสงมากขึ้น และเมื่อเกิดการเกาะจับกับดีเอ็นเอ ตัวแบบ primer จะทวีการเรืองแสงมากขึ้นอีก ในการตรวจสอบด้วยระบบ probe นั้นสามารถ ตรวจสอบผลผลิตของ PCR ที่เกิดจาก Primer หลายคู่ได้ (multiplex PCR) โดยการใช้สารเรืองแสง ที่ติดลากต่างชนิดกัน (Livak and Schmittgen, 2001; Pfaffl, 2003; Dorak, 2004)

ในการตรวจสอบผลของปฏิกิริยานี้ เมื่อเกิดการสะสมปริมาณของสารเรืองแสงจนกระทั่ง ถึงระดับ threshold line เรียกจุดนี้ว่า threshold cycle (C_T) ใช้บอกจำนวนรอบในการสังเคราะห์ นิวคลีโอไทด์ได้ โดยถ้ามีจำนวนนิวคลีโอไทด์ตั้งต้นมากจำนวนรอบที่ใช้ในการสร้างจะได้เท่ากับ ค่า C_T ก็จะน้อย ในทางตรงกันข้ามถ้าจำนวนนิวคลีโอไทด์ตั้งต้นน้อยก็ต้องใช้จำนวนรอบในการ สร้างสายนิวคลีโอไทด์มากเพื่อให้ได้เท่ากับค่า C_T และสามารถคำนวณกลับไปหาจำนวนสาย นิวคลีโอไทด์ตัวแบบได้ โดยการเปรียบเทียบกับกราฟที่ได้จากสังเคราะห์สายนิวคลีโอไทด์ที่รู้ จำนวนสายนิวคลีโอไทด์ตัวแบบแล้ว (Pfaffl, 2003; Dorak, 2004; Livak and Schmittgen, 2001)

อุปกรณ์และวิธีการ

การพิสูจน์เทคนิคในการตรวจสอบเชื้อแบคทีเรีย

ชนิดและถ่ายพันธุ์เชื้อแบคทีเรียและการเก็บรักษา

นำเชื้อแบคทีเรีย *Pantoea stewartii* subsp. *stewartii* (Accession no. LMG2715; จาก Collection of the Laboratorium voor Microbiologie en Microbiele Genetica, Belgium) ไปอนุญาตนำเข้าสิ่งต้องห้าม ตาม พรบ. 2507 (เลขที่ 017/2548) ละลายด้วยอาหาร LB (Peptone 10 กรัม Yeast extract 5 กรัม NaCl 10 กรัม น้ำ 1 ลิตร) ปริมาณ 100 ไมโครลิตร นำหันหนึ่งดูปไปเจี้ยงบนอาหาร NA แยกเป็นโคลoniเดี่ยว บ่มที่ 28 °C เป็นเวลา 48 ชั่วโมง และส่วนที่เหลือนำไปเยียวยาที่ 28 °C เป็นเวลา 48 ชั่วโมง นำโคลoniเดี่ยวที่ได้ไปละลายในน้ำนึ่งม่าเชื้อ และเจี้ยงบนอาหาร NA อีกครั้ง เมื่อได้โคลoniเดี่ยวในครั้งที่สอง นำโคลoniเดี่ยวที่ได้ไปเพิ่มปริมาณบนอาหาร NA เพื่อนำไปใช้ต่อไป

เชื้อแบคทีเรียที่แยกได้จากข้าวโพด ได้แก่ XE1 XE2 XE3 XE4 XE5 XE6 XE7 XE8 XE9 XE11 (ได้รับความอนุเคราะห์จากคุณณัฐพร อุทัยมงคล กรมวิชาการเกษตร) Y001 W001 W002 แยกได้จากข้าวโพดที่แสดงอาการใบขี้ดมรอยหยักคลื่นที่ขอบแพลงและใบคล้ายอาการของโรคเหี่ยวที่เกิดจากเชื้อ *Pantoea stewartii* subsp. *stewartii* และ *Erwinia chrysanthemi* ที่แยกได้จากข้าวโพด (Ech1) และกล้วยไม้ (Ech2) (ได้รับความอนุเคราะห์จาก ดร.ณัฐรินา โภษิตเจริญกุล กรมวิชาการเกษตร) *Pantoea agglomerans* DMST4633 DMST4045 และ DMST20659 (ได้รับความอนุเคราะห์จากการวิทยาศาสตร์การแพทย์) ดังแสดงในตารางที่ 2

การเก็บเชื้อแบคทีเรียเพื่อเป็นแหล่งต้นตอของเชื้อ โดยการนำเชื้อแบคทีเรียเดี้ยงบนอาหาร NA บ่มที่ 28 °C เป็นเวลา 16-24 ชั่วโมง แล้วเจี้ยงเชื้อปริมาณ 1-2 ลูปละลายในน้ำกลั่นนึ่งม่าเชื้อเก็บที่ 4 °C และละลายเชื้อปริมาณ 1-2 ลูปในสารละลาย glycerol 20% เก็บเชื้อแบคทีเรียที่ -20 และ -80 °C

การเดี้ยงเชื้อเพื่อนำมาใช้ในการทดสอบ โดยการเดี้ยงเชื้อแบคทีเรียบนอาหาร NA บ่มที่ อุณหภูมิ 30 °C เป็นเวลา 16-24 ชั่วโมง

ตารางที่ 2 ชนิดและสายพันธุ์แบคทีเรียที่ใช้ในการทดลอง

ชนิด/สายพันธุ์	พืชอาศัย	แหล่งที่มา
<i>Pantoea stewartii</i> subsp. <i>stewartii</i> LMG 2715 ^T	ข้าวโพด	Collection of the Laboratorium voor Microbiologie en Microbiele Genetica, Belgium
<i>P. agglomerans</i> DMST 4633	คน	กรมวิทยาศาสตร์การแพทย์
<i>P. agglomerans</i> DMST 4045	คน	กรมวิทยาศาสตร์การแพทย์
<i>P. agglomerans</i> DMST 4045	คน	กรมวิทยาศาสตร์การแพทย์
<i>Erwinia chrysanthemi</i>	ข้าวโพด	กรมวิชาการเกษตร
<i>Erwinia chrysanthemi</i>	กล้วยไม้	กรมวิชาการเกษตร
XE1	ข้าวโพด	จ. แพร่
XE2	ข้าวโพด	จ. ตาก
XE3	ข้าวโพด	จ. แพร่
XE4	ข้าวโพด	จ. แพร่
XE5	ข้าวโพด	จ. ตาก
XE6	ข้าวโพด	จ. แพร่
XE7	ข้าวโพด	จ. แพร่
XE8	ข้าวโพด	จ. นครสวรรค์
XE9	ข้าวโพด	จ. พิษณุโลก
XE11	ข้าวโพด	จ. แพร่
Y001	ข้าวโพด	จ. นราธิวาส
W001	ข้าวโพด	จ. นราธิวาส
W002	ข้าวโพด	จ. นราธิวาส

การตรวจสอบเชื้อแบคทีเรีย *Pantoea stewartii* subsp. *stewartii* ตามวิธีการอ้างอิง

การตรวจสอบคุณสมบัติและการเจริญของเชื้อแบคทีเรียบนอาหาร

การตรวจสอบการเจริญและลักษณะโคลนน์บนอาหารคัดเกลือกจำพวก Nigrosine medium (Guo *et al.*, 1982) ซึ่งประกอบด้วย yeast extract 1 กรัม glycerol 30 มิลลิลิตร sodium taurocholate 3 กรัม 1% nigrosine solution 20 มิลลิลิตร วุ้นผง 15 กรัม ต่อลิตร pH 6.7 อาหาร NA (beef 3 กรัม yeast extract 5 กรัม วุ้นผง 15 กรัม ต่อลิตร) และ CPG (Casamino acids 1 กรัม peptone 10 กรัม glucose 10 กรัม วุ้นผง 15 กรัมต่อลิตร) และตรวจสอบคุณสมบัติในการทนเกลือด้วยการเลี้ยงบนอาหาร LB ที่เติมเกลือ 5% โดยนำแบคทีเรียเลี้ยงบนอาหารดังกล่าว และบ่มที่ 30 °C เป็นเวลา 1- 5 วัน และตรวจสอบการเจริญและลักษณะโคลนน์ของแบคทีเรีย

การตรวจสอบขนาดและรูปร่างของเชื้อแบคทีเรีย โดยการนำเชื้อแบคทีเรียเลี้ยงบนอาหาร NA เป็นเวลา 24 ชั่วโมง นำเซลล์แบคทีเรียไปย้อมสีแกรม ตรวจสอบภายในตัวเซลล์ของจุลทรรศน์

การทดสอบคุณสมบัติในการเคลื่อนที่ของแบคทีเรีย โดยการนำเชื้อแบคทีเรียที่เจริญบนอาหาร NA มาแทงลงในหลอดที่มีอาหารสำหรับตรวจสอบการเคลื่อนที่ (Motility test agar) ประกอบด้วย Beef extract 3 กรัม Peptone 5 กรัม Glucose 2.5 กรัม และวุ้น 4 กรัม ในน้ำ 1 ลิตร ตรวจสอบการเคลื่อนที่หลังจากเลี้ยงเชื้อเป็นเวลา 1-2 วัน (Schaad *et al.*, 2001)

การทดสอบคุณสมบัติในการทำให้เกิดโรค (Pathogenicity test) และ Hypersensitive reaction

โดยเลี้ยงเชื้อแบคทีเรียในอาหารเห็ด IM (2 mM $(\text{NH}_4)_2\text{SO}_4$ 1 mM KH_2PO_4 1 mM $\text{MgSO}_4 \cdot 7\text{H}_2\text{O}$ 100mM MES 0.1% casamino acids และ 1% sucrose ปรับ pH 5.5 ด้วย 1 N NaOH โดย sucrose และ $\text{MgSO}_4 \cdot 7\text{H}_2\text{O}$ ต้องนึ่งผ่าเชื้อแยก) (Klement, 1963) เป็นเวลา 10 ชั่วโมง นำไปฉีดเข้าหลังใบ (infiltration method) และวิธีหยอดกรวยยอด (whorl inoculation) ของต้นอ่อน ข้าวโพดหวานสายพันธุ์อินทรี 2 อายุ 7 วัน เพื่อตรวจสอบคุณสมบัติในการเกิดโรคและยาสูบ (*Nicotiana tabacum*) เพื่อตรวจสอบปฏิกิริยา Hypersensitive reaction คลุมถุงเพื่อควบคุมความชื้น

เป็นเวลา 3 วันสำหรับข้าวโพดและ 24-48 ชั่วโมงสำหรับยาสูบ ตรวจสอบอาการบนใบของพืชทั้งสอง โดยใช้ต้นที่ฉีดอาหารเป็นตัวเปรียบเทียบ

ตรวจสอบเชื้อแบคทีเรียด้วยเทคนิค ELISA โดยชุดตรวจสอบสำหรับปะทุ PathoScreen® สำหรับ *Erwinia stewartii* (Agdia®, Inc., USA)

นำสารแขวนโดยเชื้อแต่ละสายพันธุ์ที่วัดค่าดูดกลืนแสง 0.2 ที่ความยาวคลื่น 600 นาโนเมตร ปริมาตร 100 ไมโครลิตรทำปฏิกิริยาด้วยเทคนิค ELISA ตามคำแนะนำของบริษัท โดยนำสารแขวนโดยเซลล์เคลื่อนย้ายในหลุม บ่มที่อุณหภูมิ 37°C ในกล่องชีน เป็นเวลา 2 ชั่วโมง ถังด้วย PBST (PBS ที่เติม Tween 20 อัตรา 0.05%) ปริมาตรเติมหลุมจำนวน 5 ครั้ง เติม monoclonal alkaline phosphatase enzyme conjugated ปริมาตร 100 ไมโครลิตรต่อหลุม บ่มที่อุณหภูมิ 37°C ในกล่องชีน เป็นเวลา 2 ชั่วโมง ถังด้วย PBST จำนวน 5 ครั้ง เติม p-nitrophenyl phosphate substrate ความเข้มข้น 1 มิลลิกรัม/มิลลิลิตร ปริมาตร 100 ไมโครลิตร บ่มในที่มีอุณหภูมิ 37°C เป็นเวลา 20 นาที อ่านค่าการดูดกลืนแสงที่ความยาวคลื่น 405 นาโนเมตร ด้วยเครื่อง ELISA reader (Labsystem รุ่น Multiscan EX)

การตรวจสอบด้วยเทคนิค Polymerase chain reaction (PCR)

เลี้ยงเชื้อแบคทีเรียที่นำมาทดสอบบนอาหาร NA เป็นเวลา 24 ชั่วโมง ใช้ไนจีรีฟันที่นึ่งฆ่าเชื้อแต่ที่ผิวโคลนีของเชื้อ ขยี้ไปเกี่ยลงในสารที่ทำปฏิกิริยาเทคนิคพีซีอาร์โดยตรง ซึ่งประกอบด้วย 1X PCR buffer 0.2 μm dNTPs 0.25 mM MgCl₂ 200 nm ของคู่ไฟร์เมอร์ และ Taq DNA polymerase 0.3 unit ในปฏิกิริยาทั้งหมด 15 μl โดยใช้คู่ไฟร์เมอร์ในการตรวจยืนยันหมาย 3 ชนิดในการทดลองตามวิธีการของ (Coplin *et al.*, 2002) ได้แก่ คู่ไฟร์เมอร์ ESIG2c (5' GCGCTTGCGTGT-TATGAG 3') และ ES16 (5' GCGAACTTGGCAGAGAT 3') สำหรับส่วน 16S-23S rRNA/ITS CPSL1 (5' CCTGTCAGTCTCGAAC 3') และ CPSR2c (5' ATCTCGAACCGGTAACC 3') สำหรับยีน cpsD และคู่ไฟร์เมอร์ HRP1d (5' GCACTCATTCCGACCA 3') และ HRP3c (5' GCGGCATACTAACTCC 3') สำหรับยีน hrpS โดยใช้คู่ไฟร์เมอร์ต่อ 16S rDNA ต่อเชื้อแบคทีเรียกลุ่ม Enterics bacteria ไฟร์เมอร์ fd2 (5' CCGAATTCTCGACAACAGAGTTGATCATGGCTCAG 3') และ rp1 (5' CCCGGGATCCAAGCTTACGGTTACCTTGTACGACTT 3') (Weisburg *et al.*, 1991) ชนิดละ

200 nm เป็นตัวควบคุมภายใน (internal control) โดยใช้รอบการทำปฏิกิริยาดังนี้ 1 รอบ ของ 94 °C 2 นาที ตามด้วย 30 รอบของ 94 °C 20 วินาที 54 °C 15 วินาที 72 °C 90 วินาที และ 1 รอบของ 72 °C 5 นาที ตรวจสอบผลผลิตของพีซีอาร์ โดยแยกด้วย 0.8% อะก้าโรสเจลอะลูมิโนไซด์ โพรีซีส ความต่างสักย์คงที่ 100 โวลต์เป็นเวลา 30 นาที ข้อมูลด้วยสารละลายเอทิเดียมไบโรมาร์โนด์ ตรวจสอบแยกดี เอ็นเอภายในตัวและอุดตราชีวิโภคต์

การใช้แหล่งการรับอนเป็นสารสับสเตรท 95 ชนิด

นำเชื้อแบคทีเรียที่เจริญบนอาหาร NA ที่แยกเป็นโโคโลนีเดี่ยว ข้อมูลในเพื่อตรวจสอบความบริสุทธิ์ของเชื้อแบคทีเรีย ตรวจสอบปฏิกิริยา oxidase ด้วยแผ่นตรวจสอบสำหรับชีวะ Bactident® Oxidase (Merck, Germany) และตรวจสอบการเจริญบนอาหาร Triple sugar iron ที่เตรียมในหลอดทดลองและมีส่วนหน้าอาหารอ่อนย่อย เพื่อตรวจสอบการใช้น้ำตาลสามชนิดได้แก่ กลูโคส แลคโตส และฟูโคส การสร้างแก๊สจากการใช้น้ำตาล และการสร้าง Hydrogen sulfide จากการใช้ ferrous sulfate โดยทำการเขย่าเชื้อแบคทีเรียนบนอาหารอ่อนย่อย และแทงเชือดลงในหลอดอาหารประมาณสามส่วนสี่ของความลึกของอาหาร ตรวจสอบการเปลี่ยนแปลงลักษณะและสีของอาหารในส่วนอาหารอ่อนย่อย (slant) และส่วนอาหารที่ต่ำกว่าส่วนอ่อนย่อย (butt) ในช่วง 24 และ 48 ชั่วโมง

การเตรียมสารแวนโดยเชื้อแบคทีเรีย เชื้อแบคทีเรียโโคโลนีเดี่ยวบนอาหาร NA แล้วนำมาทดสอบตามคำแนะนำของบริษัท ดังรายละเอียด โดยย่อดังนี้ นำเชื้อแบคทีเรียนมาเพิ่มปริมาณบนอาหาร BUG™ Agar เป็นเวลา 24 ชั่วโมง เตรียมสารแวนโดยเชื้อแบคทีเรียในสารละลาย Inoculation fluid (0.4% NaCl 0.03% Pluronic F-68 0.02% gellan gum) ที่มี 5 mM Sodium thioglycolate และวัดค่าแสงส่องผ่าน (transmittance, T) 63% ด้วยเครื่อง Biolog® turbidimeter นำสารแวนโดยเชื้อแบคทีเรียเดิมลงใน Biolog® GN Microplate ปริมาตร 150 ไมโครลิตร ต่อหลุม บ่มที่อุณหภูมิ 30 °C เป็นเวลา 4 ถึง 24 ชั่วโมง อ่านค่าการดูดกลืนแสงที่ 590 นาโนเมตรด้วยเครื่อง Microlog™ System เมื่อเดียงเชื้อเป็นเวลา 24 ชั่วโมง เปรียบเทียบผลกับฐานข้อมูลในโปรแกรม Microlog version 4.2 แบคทีเรียแต่ละสายพันธุ์ทำการทดลอง 3 ชั่วโมง

เปรียบเทียบและจัดกลุ่มเชือแบบที่เรีย

โดยการใช้แหล่งคาร์บอน 95 ชนิด (gap ผนวกที่ 1) โดยใช้ถาดอาหารสำเร็จรูป GN2 microplate (Biolog Inc., USA)

วิเคราะห์รูปแบบการใช้เหล็กในการบอนด์วิธีการสถิติแบบ Principal component Analysis นำค่าการดูดกลืนแสงที่ความยาวคลื่น 590 นาโนเมตร ของเชือ้แบบที่เรียกแต่ละสายพันธุ์มาปรับค่ามาตรฐาน ด้วยวิธีการ Average well color development (AWCD) ตามสูตร

$$AWCD = (C - R) / [\{ \sum (C-R) \} / n]$$

โดยค่า C หมายถึงค่าดูดกลืนแสงในแต่ละกลุ่ม ค่า R หมายถึง ค่าดูดกลืนแสงของกลุ่มที่เป็นตัวเปรียบเทียบกลุ่มหรือกลุ่มที่ไม่มีสารอาหารอยู่ที่น หมายถึงจำนวนสารอาหารที่ทดสอบ ในที่นี้คือ 95 ชนิด เปรียบเทียบด้วยวิธีการทางสถิติการวิเคราะห์ข้อมูลหลายตัวแปรแบบ Principal component Analysis ด้วยโปรแกรม NTSYS V. 2.01d (Applied Biostatistics, Inc.) และวิเคราะห์การใช้แหล่งคาร์บอนเป็นสารสับสเตรท 95 ชนิด ด้วยค่า simple matching coefficient จัดกลุ่มด้วยโปรแกรม Unweighted pair-group method of averages (UPGMA) (Wilson *et al.*, 1999) ในการสร้าง денโกราฟ โดยใช้ข้อมูลการใช้แหล่งคาร์บอนเป็นสับสเตรทของเชื้อแบคทีเรีย *Pantoea stewartii* subsp. *stewartii* *P. dispersa* และ *P. agglomerans* จากฐานข้อมูล Biolog® ในการเปรียบเทียบ

รูปแบบลายพิมพ์ดีเอ็นเอด้วยเทคนิค AFLP (Amplification Fragment Length Polymorphism)

สักดีอีนเอห์ทั้งหมดด้วยวิธีการ CTAB (Jaufeerally-Fakim and Dookun, 2000) โดยการนำสารแ xenobiotics แบบที่เรียกว่า NB เป็นเวลา 16 ชั่วโมง มาตกร่องที่ความเร็ว รอบ 1,385 g ถ้างร่องที่ใช้ PBS จำนวน 3 ครั้ง ละลายตกร่องสุดท้ายด้วยสารละลาย TE 570 ไมโครลิตร เติม 10% SDS ปริมาตร 30 ไมโครลิตร และเติม Proteinase K อัตรา 20 มิลลิกรัม/มิลลิลิตร จำนวน 2 ไมโครลิตร กลับหลอดไปนา บ่มที่ 37 °C เป็นเวลา 30 นาที เติม 5 N NaCl ปริมาตร 100 ไมโครลิตร และ 10% CTAB ในสารละลาย 0.7 M NaCl ปริมาตร 80 ไมโครลิตร

กลับหลอดไปมา บ่มที่ 65 °C เป็นเวลา 10 นาที หรือจนกว่าสารในหลอดจะใส เติม chloroform: isoamyl alcohol (24:1) ปริมาตร 1 เท่า ผสมให้เข้ากัน ปั่นตกรตะกอนที่ความเร็วรอบ 8,000 g เป็นเวลา 10 นาที ค่อยๆ ดูดสารส่วนบนมาใส่หลอดใหม่ เติม isopropanol ปริมาตร 0.8 เท่า กลับหลอดไปมาให้สารผสมเข้ากัน บ่มไว้ที่ -20 °C เป็นเวลา 10 นาที ตกรตะกอนดีอีนเอที่ความเร็วรอบ 8,000 g เป็นเวลา 10 นาที และล้างตะกอนด้วย 70 % ethanol ตากตะกอนดีอีนเอให้แห้ง ละลายตะกอนดีอีนเอด้วย TE นำไปตรวจสอบความเข้มข้นและคุณภาพของดีอีนเอโดยแยกด้วย 0.8 % อะกาโรสเจลอะเดค โถโพริซีส ความต่างศักย์คงที่ 100 โวลต์เป็นเวลา 30 นาที ย้อมด้วยเอทีเดียมโนบส์ ตรวจสอบแคนดีอีนเอภายในด้วยไสวอุตราชัวไวโอลे�ต

เปรียบเทียบลายพิมพ์ดีอีนเอตามวิธีการของ (Avrova *et al.*, 2002) ทำการตัดดีอีนเอด้วยเอนไซม์ตัดจำเพาะและเชื่อมต่อกับ adapter ปฏิกิริยาประกอบด้วย ดีอีนเอ 500 นาโนกรัม เอนไซม์ EcoRI และ MseI อย่างละ 5 ยูนิต one-phor-all buffer PLUS 1X ในปฏิกิริยาทึ้งหมุด 40 ไมโครลิตร บ่มที่อุณหภูมิ 37 °C เป็นเวลา 1 ชั่วโมง เติมสารสำหรับเชื่อมต่อกับ adapter ประกอบด้วย EcoRI adapter และ MseI adapter อย่างละ 100 นาโนโมล T4 DNA ligase 1 ยูนิต ATP 5 มิลลิโมล one-phor-all buffer PLUS 1X ในปฏิกิริยาทึ้งหมุด 50 ไมโครลิตร บ่มที่อุณหภูมิ 37 °C เป็นเวลา 3 ชั่วโมง นำดีอีนเอที่ได้มาทำปฏิกิริยา PCR แบบ preselective ในสารประกอบไไดแก่ ดีอีนเอที่ตัด และต่อด้วย adapter !!ส่วนเจือจาง 10 เท่า จำนวน 2.5 ไมโครลิตร primer EcoRI-O (5'- GACTGCGTACCAATTC-3') และ primer MseI-O (5'-GATGAGTCCTGAGTAA-3') อย่างละ 0.2 ไมโครโมล dNTPs 0.2 มิลลิโมล 1X PCR buffer และ Taq DNA polymerase 1 ยูนิต ในปฏิกิริยาทึ้งหมุด 25 ไมโครลิตร ทำปฏิกิริยาด้วยรอบการทำปฏิกิริยา 20 รอบของ 94 °C 30 วินาที 56 °C 60 วินาที และ 72 °C 60 วินาที นำผลผลิตของ PCR ที่ได้มาเจือจาง 10 เท่า และนำทำปฏิกิริยาแบบ selective โดยประกอบด้วยสารประกอบดังนี้ ดีอีนเอที่เจือจางแล้ว 5 ไมโครลิตร primer EcoRI-GA (5'-GACTGCGTACCAATTGA-3') และ MseI-O อย่างละ 0.25 ไมโครโมล dNTPs 0.2 มิลลิโมล 1X PCR buffer และ Taq DNA polymerase 0.5 ยูนิต ในปฏิกิริยาทึ้งหมุด 20 ไมโครลิตร ทำปฏิกิริยาด้วยรอบการทำปฏิกิริยา ของ 94 °C 30 วินาที 65 °C 30 วินาที และ 72 °C 60 วินาที โดยให้อุณหภูมิในขั้นตอน annealing ลดลงรอบละ 0.7 °C เป็นจำนวน 12 รอบ และตามด้วย 35 รอบการทำปฏิกิริยาของ 94 °C 30 วินาที 56 °C 30 วินาที และ 72 °C 60 วินาที ตรวจสอบลายพิมพ์ดีอีนเอบน denature acrylamide gel electrophoresis 6 % (30% acrylamide: bisacrylamide (19:1) 8 มิลลิลิตร 5X TBE 8 มิลลิลิตร urea 18 กรัม นำกลับ 10 มิลลิลิตร 10% APS 400 ไมโครลิตร TEMED (N,N,N',N'-tetramethylethylenediamine) 20 ไมโครลิตร)

โดยใช้ชุดอิเลคโทรโฟรีซิสนาด 33 x 40 เซนติเมตร (Life Technologies/Gibco BRL ModelS2) ทำการ pre-run เป็นเวลา 30 นาที โดยไม่มีตัวอย่างในสารลายน 1X TBE ใช้ความต่างศักดิ์คงที่ 1500 โวลต์ เตรียมตัวอย่างโดยผสมดีเอ็นเอต่อ Loading buffer (formamide 10 มิลลิลิตร Xylene cyanol 10 มิลลิกรัม bromophenol blue 10 มิลลิกรัม 0.5 M EDTA pH 8.0 200 ไมโครลิตร) ในอัตรา 5.5 ไมโครลิตรต่อ 1.5 ไมโครลิตร นำตัวอย่างดีเอ็นเอไปต้มเป็นเวลา 5 นาทีและแช่น้ำแข็งทันทีก่อนนำไปเติมลงในช่องหวี ใช้ความต่างศักดิ์คงที่ 1500 โวลต์ จนกระทั่งแอบสีของ Xylene cyanol เคลื่อนที่ได้ 2 ใน 3 ของเขต นำเจลนำเจลออกมาย้อมด้วยวิธีการ Silver staining โดยนำกระจะด้านที่มีเจลแช่ด้วยสารละลาย acetic acid 10% เป็นเวลา 20 นาที พร้อมกับเบเย่านาโนเครื่องเบเย่า ล้างด้วยน้ำ deionized water จำนวน 3 ครั้ง ครั้งละ 2 นาที ซึ่งมีเจลในสารละลาย Silver nitrate 0.1 % เป็นเวลา 30 นาที และล้างสารละลายส่วนเกินออกด้วยน้ำ แช่แผ่นเจลในสารละลาย developer (Sodium carbonate 2.5% formaldehyde 0.02% Sodium thodulfate 2 ไมโครกรัมต่อ มิลลิลิตร) ที่เตรียมใหม่ เบเย่านาโน อย่างสม่ำเสมอเป็นเวลา 5- 10 นาทีจนกระทั่งเห็นแอบดีเอ็นเอ หยุดปฏิกิริยาในสารละลาย acetic acid 10% เป็นเวลา 3-5 นาที และล้างด้วยน้ำ deionized water ผึ้งให้แห้ง เปรียบเทียบลายพิมพ์ดีเอ็นเอด้วยสายตา ร่วมกับและสร้างเดนโดรแกรมด้วยโปรแกรม GeneTools® (Syngene, Cambridge, UK) โดยใช้ค่าพารามิเตอร์แบบ Matching type เป็น match all tracks to all tracks Percentage tolerance เลือก 1% สร้างเดนโดรแกรมด้วยค่า Dice's coefficient (Dice, 1945) และจัดคุณด้วยโปรแกรม UPGMA (Sokal and Michener, 1985) วิเคราะห์ค่า bootstrap ด้วยโปรแกรม Winboot (Yap and Nelson, 1996) จำนวน 1000 ชี้า

การเปรียบเทียบลำดับดีเอ็นเอของผลผลิต PCR

นำผลผลิตจาก PCR จากยีน *cpsD* 16S-23S rRNA/ITS และ *hrpS* โคดูเข้าในพาหะ pGEM-T® easy vector (Promega, Inc., Madison, USA) โดยในปฏิกิริยาการเชื่อมต่อดีเอ็นเอ ประกอบด้วยสารดังนี้ ดีเอ็นเอพาหะ pGEM-T 25 นาโนกรัม 2X ligation buffer 5 ไมโครลิตร DNA ligase 3 ยูนิต ผลผลิตจาก PCR 1 ไมโครลิตร ในปริมาตรสุดท้าย 10 ไมโครลิตร นำไปปั่นที่อุณหภูมิ 4 °C เป็นเวลาข้ามคืน นำดีเอ็นเอถ่ายฟากเข้าใน *E. coli* สายพันธุ์ DH5α ด้วยวิธีการ heat shock เริ่มจากการนำแบคทีเรียที่อยู่ในสภาพพร้อมรับดีเอ็นเอ (completent cell) แช่ในน้ำแข็ง จนกระทั่งละลายจนหมด เติมสารละลายดีเอ็นเอที่เชื่อมต่อแล้วจำนวน 2.5 ul ผสมลงในสารแขวนลอยแบบที่เรียบ บ่ำในน้ำแข็ง 30 นาที นำไปปั่นที่อุณหภูมิ 42 °C เป็นเวลา 90 วินาที แล้วนำมาแช่ในน้ำแข็งเป็นเวลา 5 นาที เติมอาหาร LB 900 ไมโครลิตร เบเย่าที่ความเร็วรอบ 200 รอบต่อนาที

เป็นเวลา 1 ชั่วโมง ที่อุณหภูมิ 37°C นำสารแ xenogen แบบที่เรียบปั่นตกละกอนแล้วทิ้งส่วนไส $500 \mu\text{l}$ ละลายเชื้อแบคทีเรียกลับมานำไปเกลี่ยบนอาหาร LB ที่มีสารปฏิชีวนะ Ampicillin 100 μg โครรัม ต่อมิกログิตร IPTG และ X-gal ปริมาณ 100 และ 150 μg โครรัม ต่อจานอาหารเดี่ยงเชื้อ บ่มที่ อุณหภูมิ 37°C 16-20 ชั่วโมง นำโคโลนีเดี่ยวที่เจริญบนอาหารตรวจสอบโดยการ สกัดดีเอ็นเอด้วยชุดสกัด QIAprep® Spin Miniprep Kit (QIAGEN Inc., USA) ตามคำแนะนำของ บริษัท และตรวจสอบขนาดของพลาสมิดที่โดยแยกด้วย 0.8% อะกาโรสเจลอะลูมิโนไซด์ โฟร์ซีส ความ ต่างสักคั่งคงที่ 100 โวลต์เป็นเวลา 30 นาที ข้อมูลด้วยเอทีดียีนบอร์ไมค์ ตรวจสอบแบบดีเอ็นเอภายในตัว แสดงอุคต์ร้าไวโอลेट นำโคโลนที่มีชีนยีนส่งวิเคราะห์เพื่อหาลำดับดีเอ็นเอ (Macrogen, Inc. Korea) โดยแต่ละยีนส่งโคโลน 3 โคโลน นำลำดับดีเอ็นเอที่ได้เปรียบเทียบกับข้อมูลฐานข้อมูล GenBank ด้วยโปรแกรม GeneDoc Version 2.6.001 (Nicholas and Nicholas, 1997) สำหรับลำดับดีเอ็นเอของ ส่วน 16S rDNA โดยใช้ไฟร์เมอร์ fd2 และ rp1 ที่จำเพาะต่อเชื้อแบคทีเรียกลุ่ม Enterics bacteria นั้น นำมาเปรียบเทียบรวมกับข้อมูลจากฐานข้อมูล Genbank (<http://www.ncbi.nlm.nih.gov>) ด้วย โปรแกรม BLAST (Basic Alignment Search Tool) ที่ <http://www.ncbi.nlm.nih.gov/BLAST> และ จัดเรียงข้อมูลด้วยโปรแกรม clustalW และสร้างเป็นเด่นโดยโปรแกรม Jalview โดยใช้ วิธี Neighbour joining by % identity (Clamp *et al.*, 2004)

รูปแบบลายพิมพ์โปรตีนของแบคทีเรีย (Soluble protein fingerprinting)

นำแบคทีเรียโคโลนีเดี่ยวบนอาหาร NA เที่ยงในอาหารเหลว NB ปริมาณ 1.5 มิกログิตร ปั่นเหวี่ยงที่ความเร็วรอบ $8,000 \text{ g}$ เทส่วนน้ำไสทิ้ง ละลายตะกอนด้วยน้ำ $50 \mu\text{l}$ โครรัม และนำมา สกัดโปรตีนที่ละลายน้ำโดยมีวิธีการโดยสังเขปดังนี้ เติม 2X loading sample (1% SDS 125 mM Tris (pH 6.8) 15% Sucrose 10% 2-Mercaptoethanol 1 mM EDTA (pH 7.0) 0.05% Bromphenol blue) ปริมาณ 1 เท่าตัว ปั่นเหวี่ยงให้เข้ากัน นำไปต้ม 10 นาที ปั่นตกละกอนที่ ความเร็วรอบ $8,000 \text{ g}$ เป็นเวลา 5 นาที ดูดส่วนไสใส่หกอดใหม่ วัดปริมาณโปรตีนด้วยวิธีการ Bradford' assay (Bradford, 1976) และนำไปตรวจสอบรูปแบบของโปรตีนโดยการแยกในเจล Discontinuous polyacrylamide gel electrophoresis (Laemmli, 1970) ที่ความเข้มข้นเจล 5 และ 15% ของชั้น stacking gel และ separating gel ตามลำดับ ในเจลทึ้งหนาขนาด 14×16 เซนติเมตร ความหนาเจล 1.5 มิกลิเมตร ด้วยความต่างสักคั่งคงที่ 100 โวลต์ เป็นเวลา 50 นาที ในชั้นของ stacking gel และ 250 โวลต์ เป็นเวลา 3 ชั่วโมง ในชั้นของ separating gel ข้อมูลด้วย Coomassie blue solution (0.25% Coomassie R250 75% Methanol 10% Acetic acid) เป็นเวลา 15 นาที

พร้อมกับเบื้องต้น แล้วถังเจลด้วย destaining solution (75% Methanol 10% Acetic acid) พร้อมกับเบื้องต้น จนกว่าจะเห็นแอบโปรตีนชัดเจน ตรวจสอบแอบโปรตีนด้วยสายตา ร่วมกับโปรแกรม GeneTools® (Syngene, Cambridge, UK) โดยใช้ค่าพารามิเตอร์ แบบ Matching type เป็น match all tracks to all tracks Percentage tolerance เลือก 1% สร้างเดนโดแกรมด้วยค่า Dice's coefficient (Dice, 1945) และจัดกลุ่มด้วยวิธี UPGMA (Sokal and Michener, 1985)

วิธีการตรวจสอบเชื้อ *Pantoea stewartii* subsp. *stewartii*

เทคนิค Enzyme Linked Immunosorbent Assay (ELISA)

การผลิตแอนติบอดีต่อเชื้อ *Pantoea stewartii* subsp. *stewartii* LMG2715 ผลิตแอนติบอดีโดยการเตรียมแอนติเจน ดังนี้

การเตรียมแอนติเจนจากทั้งเซลล์ (Fixed cell) โดยการเลี้ยงเชื้อแบคทีเรียในอาหาร 523
 (Casein hydrolysate 8 กรัม Sucrose 10 กรัม $\text{MgCl}_2 \cdot 7\text{H}_2\text{O}$ 0.035 กรัม K_2HPO_4 2 กรัม น้ำ 1
 ลิตร ปรับ pH 6.9) (Schaad *et al.*, 2001) ปริมาตร 2 มิลลิลิตร เขย่าที่ความเร็วรอบ 150 รอบต่อนาที
 ที่ 28 °C เป็นเวลา 16 ชั่วโมง แล้วขยี้เชื้อแบคทีเรียอัตรา 1 ต่อ 100 ลงในอาหาร 523 ปริมาตร 300
 มิลลิลิตร ในฟลาสขนาด 1 ลิตร เขย่าที่ความเร็วรอบ 150 รอบต่อนาที ที่ 28 °C เป็นเวลา 16 ชั่วโมง
 ข้อมูลรวมแบคทีเรียเพื่อตรวจสอบความบริสุทธิ์ของเชื้อ นำสารแ xenon ถ่ายรูปโดยเชื้อแบคทีเรียไปปั่น
 ตกละกอนที่ความเร็วรอบ 10,000 g เป็นเวลา 10 นาที ที่ 4 °C ล้างตะกอนแบคทีเรียด้วยสารละลาย
 PBS (NaCl 8 กรัม $\text{Na}_2\text{HPO}_4 \cdot 12\text{H}_2\text{O}$ 2.9 กรัม K_2HPO_4 0.2 กรัม KCl 0.2 กรัม น้ำ 1 ลิตร
 ปรับ pH 7.4) ปริมาตร 100 มิลลิลิตร ด้วยการดูดเชื้อแบคทีเรียขึ้นลงเบาๆ แล้วนำสารแ xenon ถ่ายรูปโดยเชื้อ
 แบคทีเรียไปปั่นตกละกอนที่ความเร็วรอบ 10,000 g เป็นเวลา 10 นาที ที่อุณหภูมิ 4 °C ล้างตะกอน
 แบคทีเรียรวม 3 ครั้ง และละลายแบคทีเรียในปริมาตรสุดท้ายด้วย PBS ปริมาตร 3 มิลลิลิตร และ
 ขยี้เชื้อแบคทีเรียลงในถุง dialysis (cellulose dialysis membrane MW cut off 12-14000 Da.) และ
 นำไปทำให้เซลล์คงสภาพ (fixed cells) โดยแช่ใน 2% glutaraldehyde (ในน้ำ) ด้วยปริมาตร 20 เท่า
 ของปริมาตรสารแ xenon แบคทีเรีย เป็นเวลา 3 ชั่วโมงที่อุณหภูมิห้อง ปั่นสารละลายเบาๆ
 ตลอดเวลา ขยี้ถุง dialysis ลงในสารละลาย PBS ปริมาตร 1 ลิตร ปั่นสารละลายเบาๆ ตลอดเวลา
 บ่มไว้ที่ 4 °C และเปลี่ยนสารละลาย PBS 3 ครั้งภายในเวลา 24 ชั่วโมง นำแบคทีเรียปริมาตร 30
 ไมโครลิตรเลี้ยงในอาหารเห็ด NGB (Beef extract 3 กรัม Peptone 5 กรัม Glucose 5 กรัม น้ำ 1

ลิตร) ปริมาตร 3 มิลลิลิตร เพื่อตรวจสอบความมีชีวิตของเซลล์ หากพบว่าเซลล์ยังมีชีวิตอยู่ต้องนำเซลล์แบคทีเรียไปแช่ใน 2% glutaraldehyde อีกครั้ง ปรับความเข้มข้นของเซลล์ให้ได้ประมาณ 5×10^9 เซลล์ต่อมิลลิลิตร ด้วย PBS ก่อนที่จะนำไปปัจจิตระต่าย (Schaad *et al.*, 1990)

การเตรียม Membrane protein complex (MPC) จากเซลล์แบคทีเรีย โดยการเลี้ยงเชื้อแบคทีเรียด้วยวิธีการข้างต้น นำตะกอนเซลล์ล้างด้วย 0.15 M NaCl ปริมาตร 100 มิลลิลิตร และปั่นห่วงที่ 10,000 g เป็นเวลา 15 นาที ที่อุณหภูมิ 4 °C ละลายเซลล์แบคทีเรียด้วย 0.2 M LiCl อัตรา 200 มิลลิลิตร ต่อเซลล์ 10 กรัม เติม glass bead ขนาดเส้นผ่าศูนย์กลาง 0.3 มิลลิเมตร เบ่าที่ความเร็วรอบ 150 รอบต่อนาที ที่ 45 °C เป็นเวลา 3 ชั่วโมง กรองเอา glass bead ออก นำสารแ拜นโดยไปปั่นที่ความเร็วรอบ 30,937 g เป็นเวลา 40 นาที ที่อุณหภูมิ 4 °C นำส่วนใสไปปั่นที่ความเร็วรอบ 108,763 g เป็นเวลา 120 นาที ที่อุณหภูมิ 4 °C นำตะกอนมาละลายเบาๆ ด้วยน้ำ 100 มิลลิลิตร และนำไปปั่นที่ความเร็วรอบ 71,669 g เป็นเวลา 120 นาที ที่อุณหภูมิ 4 °C นำตะกอนที่ได้ละลายด้วยน้ำอัตรา 1.5 มิลลิลิตรต่อเซลล์เริ่มต้น 1.8 ลิตร (Yakrus and Schaad, 1979) วัดความเข้มข้นของโปรตีนด้วยวิธีการ Bradford (Bradford, 1976) และปรับความเข้มข้นของโปรตีนเป็น 1 มิลลิกรัมต่อมิลลิลิตร ก่อนที่จะนำไปปัจจิตระต่ายต่อไป

การเตรียมแอนติเจนแบบเซลล์มีชีวิต (Live cell) เชื้อแบคทีเรียโคโลนีเดียวเจี้ยงในอาหารเหลว NMC ประกอบด้วย Na_2PO_4 60 กรัม KH_2PO_4 30 กรัม NH_4Cl 10 กรัม L-glutamine 1 กรัม nicotinic acid 1 มิลลิกรัม thiamine 0.1 มิลลิกรัม biotin 0.01 มิลลิกรัม D-methionine 0.2 กรัม MgSO_4 0.25 กรัม glucose 10 กรัม ในน้ำ 1 ลิตร นำอาหารมาผ่าเชื้อโดยกรองผ่านเมนเบรน cellulose acetate ขนาด 0.2 ไมครอน เลี้ยงเชื้อแบคทีเรียโดยการเบ่าเชื้อแบคทีเรียในอาหารเป็นเวลา 24 ชั่วโมง แยกเชื้อแบคทีเรียออกจากอาหาร โดยการปั่นตะกอนที่ความเร็วรอบ 3,000 g เป็นเวลา 10 นาที ที่อุณหภูมิ 4 °C ล้างตะกอนแบคทีเรียด้วยสารละลาย PBS pH 7.4 จำนวน 3 ครั้ง และละลายเชื้อแบคทีเรียในสารละลาย PBS (Lamka *et al.*, 1991) วัดความเข้มข้นแบคทีเรียก่อนนำไปปัจจิตระต่ายที่ความเข้มข้น 600 นาโนเมตร ของสารแ拜นโดยเซลล์แบคทีเรียใหม่ค่าดูดกลืนแสงเท่ากับ 0.2

การผลิตแอนติบอดีในสัตว์ทดลอง โดยทำการฉีดกระตุ้นในสัตว์ทดลอง ดังนี้ นำกระต่ายพันธุ์ White New Zealand ขนาดน้ำหนักประมาณ 2-3 กิโลกรัมและฉีดกระตุ้นด้วยพันธุ์ White New Zealand ขนาดน้ำหนักประมาณ 2-3 กิโลกรัมจะเดือดจากใบหยกก่อนทำการฉีดกระตุ้น

สัตว์ทดลอง เพื่อใช้เป็นตัวเปรียบเทียบ (negative control) นิ๊ดกระตุนด้วย fixed cell หรือ MPC ผสมกับ Complete Freund's Adjuvant อัตรา 1:1 ในสัปดาห์แรก และในสัปดาห์อื่นๆ ผสมด้วย Incomplete Freund's Adjuvant !!ทัน ด้วยวิธีการนีดที่ชั้นใต้ผิวนังที่ต้นคอ (subcutaneous injection) 2 – 3 ตำแหน่ง สำหรับ fixed cell จะนิ๊ดกระตุนแบบสัปดาห์เว้นสัปดาห์เป็นเวลา 4 สัปดาห์ ปริมาณ 800 ไมโครลิตรต่อครั้ง ส่วน MPC นิ๊ดทุกสัปดาห์เป็นเวลา 4 สัปดาห์ ปริมาณ 100 200 400 และ 400 ไมโครกรัม เก็บเลือดกระต่ายที่ใบหูในสัปดาห์ที่ 5 เป็นต้นไป และแยกเก็บซีรั่ม จากเกือดและตรวจสอบโดยเตอร์ของแอนติบอดี้

โดยจะได้อดกระต่ายจากใบหูในบิกเกอร์ที่สะอาด นำเลือดกระต่ายที่จะได้มาตั้งไว้ที่ อุณหภูมิห้องจนกระทั้งเลือดแข็งตัวใช้เข็มเขี่ยม่าเชือเขี่ยข้อมบบิกเกอร์ให้เลือดหลุดจากข้อมบบิกเกอร์ นำไปไว้ในตู้เย็นข้ามคืน ดูดส่วนน้ำใส และปั่นตกละกอนเม็ดเลือดแดงที่เหลือที่ความเร็วรอบ 1,086 g เป็นเวลา 10 นาที นำซีรั่มที่ได้แบ่งเก็บใส่หลอด เติม NaN_3 ให้ความเข้มข้นสุดท้ายเป็น 0.02% เก็บไว้ที่อุณหภูมิ 4°C (Schaad *et al.*, 1990)

การผลิตแอนติบอดี้ในไก่

โดยใช้ไก่ไข่พันธุ์ Hisex โดยเก็บไข่ก่อนนิ๊ดแอนติเจนเพื่อใช้เป็นตัวเปรียบเทียบ (negative control) นิ๊ด life cell และ MPC โดยเตรียมแอนติเจนเหมือนดังกล่าวข้างต้น นิ๊ดแอนติเจน ปริมาณ 1 มิลลิลิตรที่ชั้นใต้ผิวนังที่ต้นคอ (subcutaneous injection) โดยการนีดแอนติเจนที่ผสม Complete Freund's Adjuvant ในสัปดาห์แรก และ Incomplete Freund's Adjuvant ในสัปดาห์ที่ 2 3 5 และ 6 เก็บไข่และนำมาแยกสักด้วย IgY จากไข่ โดยนำไข่ที่เก็บในสัปดาห์ที่ 3 ถึง 7 หลังจากนีด แอนติเจนเพื่อใช้ทดสอบในเบื้องต้น เริ่มจากการแยกไข่แดงออกจากไข่ขาว และล้างไข่แดงด้วยน้ำ เพื่อกำจัดไข่ขาวและซับไข่แดงอีกครั้งบนกระดาษทิชชูเพื่อกำจัดไข่ขาว นำส่วนไข่แดงที่ปราศจากเยื่อหุ้มเปลือกไข่แดง วัดปริมาณไข่แดงและจดบันทึก ผสมไข่แดงกับน้ำ pH 4.0 อัตรา 1 ต่อ 9 ส่วน ปรับ pH ของไข่แดงให้เป็น 5.0 ด้วย 0.1 N HCl แช่น้ำไข่แดงไว้ที่ 4°C เป็นเวลาอย่างน้อย 12 ชั่วโมง นำน้ำไข่แดงตกละกอนที่ความเร็วรอบ 10,000 g เป็นเวลา 1 ชั่วโมง ที่ 4°C นำน้ำส่วนไข่ เรียกว่า water soluble fraction (WSF) กรองผ่านกระดาษ Whatman® No. 1 สองชั้น แล้วตกละกอนด้วยเกล็ด แอมโมเนียมเซลฟอัตรา 390 กรัมตอลิตร และกวนที่ 4°C เป็นเวลา 30 นาที ตกละกอนอีกครั้งด้วยการปั่นให้เขียวที่ความเร็วรอบ 10,000 g เป็นเวลา 20 นาที ละลายตกละกอนสีขาวๆ ที่ได้

ด้วยสารละลายน้ำ 0.5X PBS pH 7.4 ในอัตรา 0.2 เท่าของปริมาตร นำไปติดเริ่มต้น และเติม NaN_3 ความเข้มข้นสุดท้าย 0.02% เก็บ IgY ที่ได้ที่ 4 หรือ -20°C (สระบุชัย และคณะ, 2548)

ตรวจสอบความไวของแอนติซีรั่มด้วยวิธี Enzyme Linked Immunosorbent Assay (ELISA)

โดยนำสารแขวนลอยแบบที่เรียกว่าเจลใน PBS ที่ความเข้มข้นประมาณ 10^8 เชลล์ต่อ มิลลิลิตร โดยเทียบกับค่าการดูดกลืนแสงที่ 600 นาโนเมตร เท่ากับ 0.2 ปริมาตร 50 ไมโครลิตร ต่อ หลุมเคลือบลงในจานทดสอบ ELISA (Costar®, USA) บ่มที่ 37°C ข้ามคืน หรือจนกว่าจะแห้ง ล้างด้วย PBST (PBS เติม 0.05% Tween 20) ปริมาตร 300 ไมโครลิตร โดยล้างทันที 1 ครั้ง และบ่ม 5 นาที อีก 3 ครั้ง เจลเจลในแต่ละสัปดาห์ใน 5% skim milk ที่ละลายด้วย PBS และเจือนาง แบบ 2 เท่าเป็นลำดับขึ้น (two fold serial dilution) เคลือบลงในจานทดสอบ ELISA ปริมาตร 100 ไมโครลิตร บ่มที่ 37°C เป็นเวลา 1 ชั่วโมง และล้างด้วย PBST ดังได้ก่อนมาแล้ว เติม Goat-anti Rabbit IgG alkaline phosphatase (A3687, Sigma, USA) อัตรา 1:10,000 สำหรับการทดสอบ แอนติซีรั่มที่ได้จากการต่าย และ Goat-anti Chicken IgY alkaline phosphatase (A1043, Sigma, USA) อัตรา 1:7,500 สำหรับการทดสอบแอนติซีรั่มที่ได้จากไก่ ปริมาตร 50 ไมโครลิตร ต่อหลุม บ่มที่ 37°C เป็นเวลา 1 ชั่วโมง และล้างด้วย PBST เติมชั้นสุดท้าย *p*-nitrophenyl phosphate 1 มิลลิกรัมต่อมิลลิลิตร ปริมาตร 100 ไมโครลิตร บ่มที่ 37°C เป็นเวลา 30 นาที วัดค่าการดูดกลืนแสงที่ 405 นาโนเมตร โดยเปรียบเทียบกับตัวเปรียบเทียบควบคุม ได้แก่ หลุมที่เคลือบด้วย PBS และทำปฏิกิริยากับ normal serum อัตราเจือนางที่ 1 ต่อ 200 และหลุมที่เคลือบด้วย PBS และทำปฏิกิริยากับซีรั่มอัตราเจือนางที่ 1 ต่อ 200 โดยค่าที่ให้ผลเป็นวงต้องมากกว่าค่าที่ได้จากตัวเปรียบเทียบควบคุมอย่างน้อย 3 เท่า แต่ละตัวอย่าง ทำ 2 ชั้น ดัดแปลงจาก Sutula *et.al.* (1986)

ในการทดสอบใช้ชุดตรวจสอนสำเร็จรูป PathoScreen® สำหรับ *Erwinia stewartii* (Agdia®, Inc., USA) เพื่อตรวจสอบเปรียบเทียบความไวของการทำปฏิกิริยาควบคู่ไปด้วย โดยใช้วิธีการตามคำแนะนำของผู้ผลิต

การลดการทำปฏิกิริยาข้ามของแอนติบอดี โดยวิธีการ Cross absorption

นำเชื้อแบคทีเรียได้แก่ *Erwinia carotovora* subsp. *carotovora* *E. chrysanthemi* *Escherichia coli* และ *Pantoea agglomerans* ที่เจริญบนอาหาร NA เป็นเวลา 16-24 ชั่วโมง และ บูดเซลล์จากผิวน้ำอาหารชนิดละ loop ผสมลงในแอนติซีรั่มแต่ละชนิดอัตราหนึ่งสูตรต่อ แอนติบอดี 0.5 มิลลิลิตร นำไปบ่มไว้ที่ 37 °C เป็นเวลา 3 ชั่วโมง หรือ 4 °C เป็นเวลาข้ามคืน เพื่อให้ แอนติซีรั่มทำปฏิกิริยากับเชื้อที่ใส่ลงไป นำแอนติซีรั่มไปปั่นตกรอกอนที่ 8,000 g เป็นเวลา 5 นาที นำส่วนใสใส่หลอดใหม่ และเติม NaN_3 ความเข้มข้นสุดท้าย 0.02% และเก็บเพื่อใช้ทดสอบต่อไป (Hampton *et al.*, 1989)

ตรวจสอบความจำเพาะของแอนติซีรั่ม

เตรียมเชื้อแบคทีเรียชนิดต่างๆ ได้แก่ *Erwinia carotovora* subsp. *carotovora* *E. chrysanthemi* *Escherichia coli* *Pantoea agglomerans* *P. dispersa* *P. stewartii* subsp. *stewartii* LMG2715 XE1 XE2 XE3 XE4 XE5 XE6 XE7 XE8 XE9 XE11 Y001 และ W001 ที่เพาะเชื้อบนอาหารเพ็ง NA เป็นเวลา 24 ชั่วโมง เจือจางด้วยน้ำ ปรับค่าการดูดกลืนแสงที่ 600 นาโนเมตร ประมาณ 0.2 นำเชื้อไปทดสอบในงาน ELISA ปริมาตร 50 ไมโครลิตร ต่อหลุม แต่ละตัวอย่างทำ 2 ช้ำ บ่มที่ 37 °C จนกระหั้งเชื้อแบคทีเรียแห้ง และใช้วิธีการขันตอนเช่นเดียวกับ การตรวจสอบความไวของแอนติซีรั่ม ความเข้มข้นของแอนติซีรั่มที่ใช้ ได้จากการตรวจสอบความ เข้มข้นที่เหมาะสมของแอนติซีรั่ม ตัวควบคุมเปรียบเทียบ (control) ดังนี้

ตัวควบคุมเปรียบเทียบลบ (negative control)

- หลุมที่เคลือบด้วยแบคทีเรียและทำปฏิกิริยากับ normal serum (ตัวเปรียบเทียบลบ) อัตราเจือจางที่ 1 ต่อ 200
- หลุมที่เคลือบด้วย PBS และทำปฏิกิริยากับซีรั่มอัตราเจือจางที่ 1 ต่อ 200

ตัวควบคุมการทดลอง ได้แก่

- หลุมที่เคลือบด้วยเชื้อแบคทีเรีย *Erwinia carotovora* subsp. *carotovora* ทำปฏิกิริยา กับ แอนติซีรั่มต่อเชื้อ *Erwinia carotovora* subsp. *carotovora* อัตราเจือจางที่ 1 ต่อ 500

- หลุมที่เคลือบด้วยเชื้อแบคทีเรีย *Erwinia carotovora* subsp. *carotovora* ทำปฏิกิริยา กับ normal serum ของสัตว์ทดลองที่ใช้ในการทดสอบแอนติซีรั่มต่อ *E. carotovora* subsp. *carotovora* อัตรา 1 ต่อ 200

โดยค่าที่ให้ผลเป็นวงต้องมากกว่าค่าที่ได้จากตัวเปรียบเทียบลบ (negative control) อย่างน้อย 3 เท่า (Sutula *et.al.*, 1986)

เทคนิค Polymerase chain reaction (PCR)

วิธี Direct-PCR

เตรียมสารแ血腥นโลยเชื้อแบคทีเรียที่ค่า O.D. ที่ 600 nm ประมาณ 0.01 แล้วทำการเจือจางสารแ血腥นโลยเชื้อแบคทีเรีย 10 เท่าแบบเป็นลำดับขั้น นำสารแ血腥นโลยเชื้อแบคทีเรีย 100 ไมโครลิตร ไปเกลี่ยบนอาหาร NA ปั่นที่ 30 °C เพื่อตรวจสอบปริมาณเชื้อแบคทีเรียเริ่มต้น และนำสารแ血腥นโลยแบคทีเรียตกละกอนเซลล์ด้วยวิธีการปั่นเหวี่ยงที่ความเร็วรอบ 8,000 g เป็นเวลา 5 นาที ละลายตะกอนด้วยน้ำปริมาตร 15 ไมโครลิตร นำไปต้มเป็นเวลา 10 นาที ปั่นตกละกอนที่ความเร็วรอบ 5,000 g เป็นเวลา 5 นาที นำส่วนใสปริมาตร 5 ไมโครลิตรทำปฏิกิริยา PCR กับคู่ไพรเมอร์สำหรับยีน *hrpS* ตามการทดลองของ (Coplin *et al.*, 2002) หนึ่อนกับการทดสอบเชื้อตามวิธีอ้างอิง

วิธี Magnetic bead-PCR

นำสารแ血腥นโลยเซลล์แบคทีเรียปริมาตร 100 ไมโครลิตร ใน microcentrifuge tube ขนาด 1.5 มิลลิลิตรผสมร่วมกับ Rabbit anti-MPC ของ *Pantoea stewartii* subsp. *stewartii* LMG2715 ในอัตรา 1:500 ในสารละลาย PBS นำสารผสมเขย่าที่ความเร็วรอบ 100 รอบต่อนาที เป็นเวลา 30 นาที นำไปตกละกอนเซลล์ด้วยวิธีการปั่นเหวี่ยงที่ความเร็วรอบ 5,000 g เป็นเวลา 5 นาที ละลายตะกอนด้วยสารละลาย PBS ที่เติม 0.1% BSA เติม Dynabeads® M-280 Sheep anti-Rabbit IgG (Dynal,

Norway) จำนวน 6 ไมโครลิตร มีปริมาณ beads ประมาณ 4×10^6 beads ที่ล้างด้วยสารละลาย PBS ที่เติม 0.1% BSA มาก่อน 2 ครั้ง นำเซลล์และ bead ไปเขย่าความเร็วรอบ 100 รอบต่อนาที เป็นเวลา 60 นาที ล้าง bead ด้วยสารละลาย PBS ที่เติม 0.1% BSA บน magnetic Dynal®MPC-S (Dynal, Norway) ละลาย beads ด้วยน้ำปริมาตร 15 ไมโครลิตร ดัดแปลงจาก Enrothe and Engstrand (1995) นำ 5 ไมโครลิตรไปทำปฏิกิริยา PCR โดยใช้วิธีการและขั้นตอนเช่นเดียวกับวิธีการ direct-PCR ดังข้างต้น

วิธี Ampli-disk PCR

วิธีการตรวจสอบโดยนำสารแ xenobiotics แบบที่เรียกว่าความเข้มข้นต่างๆ ปริมาตร 100 ไมโครลิตร หยดลงบน agar-disk ขนาดประมาณ 0.6×0.6 ตารางเซนติเมตร ซึ่งเตรียมโดยนำอาหารร้อนที่มีส่วนประกอบ 0.125 เท่าของ NB และร้อน 0.5% น้ำมันเชื้อ เทลงในกระดาษเพาเมล์ดอย่างหนาที่น้ำมันเชื้อแล้วปริมาตร 5 มิลลิลิตรต่อกระดาษขนาด 2.5×2.5 ตารางเซนติเมตร ผึ่งให้แห้งภายในตู้ปoclod เชื้อ (laminar flow) บ่ม agar-disk ที่หยดสารแ xenobiotics แบบที่เรียกชื่อคืนที่อุณหภูมิ 30°C นานาตามน้ำปริมาตร 1 มิลลิลิตร เบื้องเป็นเวลา 15 นาที ดูดสารแ xenobiotics แบบที่เรียกมาทำปฏิกิริยา direct-PCR จำนวน 5 ไมโครลิตรดังวิธีที่กล่าวข้างต้น ดัดแปลงจาก Schaad and Randhawa (2003)

เทคนิค Real-time PCR

วิธีการเริ่มต้นจากนำสารแ xenobiotics จำนวน 3 ไมโครลิตรในแต่ละความเข้มข้นทำปฏิกิริยาด้วยส่วนประกอบเหล่านี้ ไพร์เมอร์ forward และ reverse อย่างละ 200 nM ซึ่งออกแบบจากยีน *hrpS* (AF282857) ด้วยโปรแกรม FastPCR version 4.0.13 (Kalender, R., Institute of Biotechnology, University of Helsinki, Finland) รวมกับการคัดเลือกด้วยสายตา *HrpS* 688RTF (5' CCT GATT TCA CGA CTG CCT GGT CC 3') และ *HrpSNTR* 688 (5' ATG CGT TGC GTT GTC ACG TTG AGT) ให้ขนาดของผลผลิตเป็น 123 คู่เบส ซึ่งแสดงลำดับดีเอ็นเอของส่วนที่ไพร์เมอร์ และผลผลิตของ Real-time PCR ได้ดังในภาพที่ 1 นำไพร์เมอร์ผสมร่วมกับ 1X Platinum® SYBR® Green qPCR SuperMix-UDG with ROX (Invitrogen™, USA) ในปริมาตรรวมทั้งหมด 12 ไมโครลิตร ทำปฏิกิริยาด้วยรอบดังนี้

รอบที่ 1 95°C 2 นาที

รอบที่ 2 95°C 8 วินาที

รอบที่ 3 68°C 15 วินาที

ขั้นตอนที่ 2 และ 3 ทั้งหมดจำนวน 40 รอบ

ทำปฏิกิริยาด้วยเครื่อง Master cyclerTM ep realplex, Eppendorf

ทำแต่ละความเข้มข้นอย่างน้อย 3 ชุด นำค่า cT มาสร้างกราฟมาตรฐานระหว่างปริมาณเซลล์ (cfu) และค่า cT และหาค่า melting curve เพื่อตรวจสอบความถูกต้องของผลผลิต PCR ที่ได้

>gi|82470745:17322-18948 Pantoea stewartii subsp. stewartii hrp gene cluster, partial sequence

GACGATGGTTATCTGTGCTGACATGGTATTCTATGCCCTGTAAGCACTTCGTAACATAAGA
 ATAGTGATTGTAATTAAATGTAATTCACTGCTATTGGCTCAAGTATGTTGTTACTGCGATGATGTCA
 GTTGAAGGGATAAGTAGCGGCTCGCAATCGAAAACAGTCGGACTCGCAATCAGCGAAATTT
 TGGCTCACATTAAC TGCAACTGAAATCGGGCGGGACTCACAATAACTGCAAATGGACTCGCATT
 ATCGCCGCTGGCTCGCAATCAAATTTCTGGACTCACGCTAAGTGAAAACGAAATTGCACCAGAA
 CACATGCTGCCGTCTAGTGAGGGTCTACCCAAAACAGACAGGCCGATGAGACAGTAACGCCGCC
 TCATAAGGGTTGAACCAGATTACGAGACGATCAGCATTGACATTAGAACCAAATGAGACGTT
 TTTCTCATTTGCAGTTATTGTGAGCCAGCCAAAATGGATTGCGATTCCGCTGGCTGATTGCGAGCC
 GATTATCACTTAATGTGAGCCAGAACGATTTCATTGCACTTAATCCGAGCTGAAAAACGGGAT
 TATTGCGAGTCGGTGAAGTTCGATTGCGAGCCGTTACAGATAAGTGAGGGGCAACTTTTATGAA
 TATTGAAAATAATGAGCACTCATTCCGACCACATCCGAATTGGGAGAGCATACTCATTACGAA
 AGAGCAACCTATCGATATCCACGATTCACTGAAACTGTAGCACCCTGGAAAT
 CGATCTTGTCTGGAAGGTGAAACCGGAACGGAAAAGATACTCTGGCTCGTAAGATCCACCGAC
 TTTCAGGGTGTCAAGGCAGACTGATAGCGGTTACTGTGAGCCATTCCGAAACGCTGGCTGAGA
 GTGAACCTTTGGCGTCAACAACGGAGCTTACACCGGTGCTGTCAAGCCAGAGCGGGTTACATCG
 AAGAAGCAAATAACGGCATTCTGTTCTGACGAGATCGATAGCATGCCATTATCCCTGCAGGCCA
 AATTACTGCGAGTACTCGAAAACCGTGGCATAGAGCGCCTGGCGTACCCGGTTATCCCGTAA
 ATATGCGCGTCATTGTAGCAACGAGCAGAACGCGCTACTGACGCTGGTTGAGCAGGGCACTTCCGCC
 GCGATCTTATTTGGCTAAATACTCTCGATTCAAGCGGCCACAACGATGCAATGCACGCCGCCGA
 TATTATCCCCCTGTTCGTCACTTCATTGCTAAGCGGCCACAACGATGCAATGCACGCCGCCGA
 AATTACACAGGAACTTGTGAATATTACTTAGTTACAGCTGGCCGGAAATATTGTGAACCTAA
 AACGGCGCTAAACGCTTACGCTGGATTACCCCCCTTAACGTTCCCCGGAACGCCAACGGCA
 AGGGCCACAGTTGAAGGAGATACTGCGTCGCATTGAAAAAAGCCTGATTCACTGCCTGGTC
 →
CGCCATGGCACAGCATTGATGAAGCCCATGGAGTTAGGTATGCCCTACGCACGCTTAA
TCACCGTATCAAATTACTCAACGTGACAACGCAACGCATCATTGTCTGA
 ←

ภาพที่ 1 ลำดับดีเอ็นของยีน *hrpS* และส่วนที่นำมาใช้เป็นไพร์เมอร์สำหรับเทคนิค Real-time PCR ซึ่งให้ผลผลิตขนาด 123 คู่เบส ลำดับเบสที่ปัจจุบันได้และมีลูกศรอยู่ด้านบนเป็นส่วน Forward primer และส่วนที่มีลูกศรอยู่ด้านล่างเป็นส่วน Reverse primer ลำดับเบสที่เป็นอักษรตัวหนาเป็นส่วนดีเอ็นของผลผลิต Real-time PCR

การตรวจสอบเชื้อแบคทีเรียในพืช

การทดสอบการปลูกเชื้อในต้นกล้าข้าวโพด

นำเชื้อแบคทีเรียสายพันธุ์ XE1 XE6 XE8 XE9 XE11 Y001 และ *P. stewartii* subsp. *stewartii* LMG2715 ที่เลี้ยงบนอาหาร NA อายุ 24 ชั่วโมง เตรียมเป็นสารแbewนโดยในสารบัฟเฟอร์ PBS ค่าดูดกลืนแสง 0.3 ที่ความยาวคลื่น 600 นาโนเมตร ความเข้มข้นเชื้อประมาณ 10^9 cfu/ml เติมสาร TritonX-100 ให้ความเข้มข้นสุดท้ายเป็น 0.02% นำสารแbewนโดยเซลล์แบคทีเรียดังกล่าวประมาณ 100 ไมโครลิตร หยดลงในกรวยของใบยอดกล้าข้าวโพดหวานพันธุ์อินทรี 2 อายุ 7 วัน เก็บต้นข้าวโพดในสภาพความชื้นสัมพัทธ์ 100% ในสภาพที่ให้แสง 12 ชั่วโมง ที่อุณหภูมิประมาณ 25 ถึง 28°C เป็นเวลา 3 วัน ตรวจสอบอาการของต้นข้าวโพด โดยใช้ต้นข้าวโพดที่หยดกรวยยอดด้วย PBS เป็นตัวเปรียบเทียบ (von Bodman *et al.*, 1998)

ความไวของการตรวจสอบเชื้อแบคทีเรียในตัวอย่างพืชสดด้วยเทคนิค PCR

นำไปข้าวโพดต้นไม่เป็นโรคตัดเป็นชิ้นประมาณ 1 มิลลิเมตร ประมาณ 15 ชิ้นแซ่ในน้ำ 1.5 มิลลิตร เป็นเวลา 5 นาที นำน้ำแซ่พืช 3 ไมโครลิตรมาผสมกับตะกอนเซลล์แบคทีเรียที่ได้จากการนำสารแbewนโดยเซลล์ที่ความเข้มข้นต่างๆ เจือจาง 10 เท่าเป็นลำดับชั้น ปริมาณ 100 ไมโครลิตร และปั่นตะกอน นำสารแbewนโดยพืชในน้ำแซ่พืชไปทำปฏิกิริยา PCR ทั้ง 3 ไมโครลิตร ในปฏิกิริยา PCR นั้นใช้คู่ไพร์เมอร์ต่อ 16S rDNA ต่อเชื้อแบคทีเรียกุ่ม *Enterics bacteria* ไพร์เมอร์ fd2 (5' CCGAATTCTCGACAACAGAGTTGATCATGGCTCAG 3') และ rp1 (5' CCCGGGATCCAAGCTTACGGTTACCTTGTACGACTT 3') ชนิดละ 200 nm (Weisburg *et al.*, 1991) เป็นตัวควบคุมภายใน (internal control) ซึ่งจะให้เกบดีอีนเอนไซด์ประมาณ 1500 คู่เบส และใช้น้ำแซ่ใบพืชที่ไม่ได้พัฒนาเชื้อแบคทีเรียเป็นตัวเปรียบเทียบลบ

การทดสอบตรวจสอบเชื้อแบคทีเรียจากตัวอย่างพืชสดจากต้นกล้าข้าวโพดที่ปลูกเชื้อ

ปลูกเชื้อแบคทีเรียในต้นพืชเหมือนกับการทดสอบการปลูกเชื้่องในต้นกล้าข้าวโพด และนำตัวอย่างพืชที่แสดงอาการใบไหม้ ใบจุด ใบด่าง แล้วนำไปพืชทั้งส่วนที่มีอาการแพลสีน้ำตาลและสีเขียว ตัดเป็นชิ้นเล็กประมาณ 1 มิลลิเมตร ประมาณ 2 – 3 ชิ้น แซ่ในน้ำ 100 ไมโครลิตร ประมาณ

5 นาที บนสไลด์ และตรวจสอบการไหลของ bacterial ooze ให้กล้องจุลทรรศน์ และดูดส่วนน้ำใส 3 ไมโครลิตร นำไปทำปฏิกิริยา PCR เช่นเดียวกับการทดสอบความไวของการตรวจสอบเชื้อแบคทีเรียในตัวอย่างพืช และตรวจสอบผลขนาดดีเอ็นเอของผลผลิต PCR ด้วยเทคนิค agarose gel electrophoresis โดยใช้ 0.8% Agarose gel ใน 0.5X TBE buffer ให้ความต่างศักดิ์คงที่ 100 โวลต์นาน 15 นาที ข้อมั่นแจกลึกในสารละลาย ethidium bromide และตรวจสอบแอบดีเอ็นเอภายในตัวอย่าง อุดตัวไว้โดยเดต

การตรวจสอบเชื้อแบคทีเรียในเมล็ดที่ป่นเปี้ยนเชื้อ

การปลูกเชื้อแบคทีเรียในเมล็ดข้าวโพด

ปลูกเชื้อลงในเมล็ดข้าวโพด โดยนำเชื้อ *Pantoea stewartii* subsp. *stewartii* LMG2715 เลี้ยงในอาหาร NA ที่อุณหภูมิ 30 °C เป็นเวลา 16-24 ชั่วโมง นำเชื้อแบคทีเรียละลายในสารละลาย PBS ปรับค่าการดูดกลืนแสง ประมาณ 0.2 ที่ความยาวคลื่น 600 นาโนเมตร แช่เมล็ดข้าวโพดในสารแขวนลอยเชื้อแบคทีเรียในเครื่องทำสุญญากาศเป็นเวลา 4 ชั่วโมง ค่อยๆ ปล่อยให้อากาศเข้าไปในเครื่อง หลังจากนั้นนำเมล็ดมาฝังให้แห้งภายใต้ตู้ป้องเชื้อ ดัดแปลงจาก Poussier *et.al.* (2002) ใช้เมล็ดข้าวโพดที่แช่ในสารละลาย PBS เป็นตัวเปรียบเทียบ

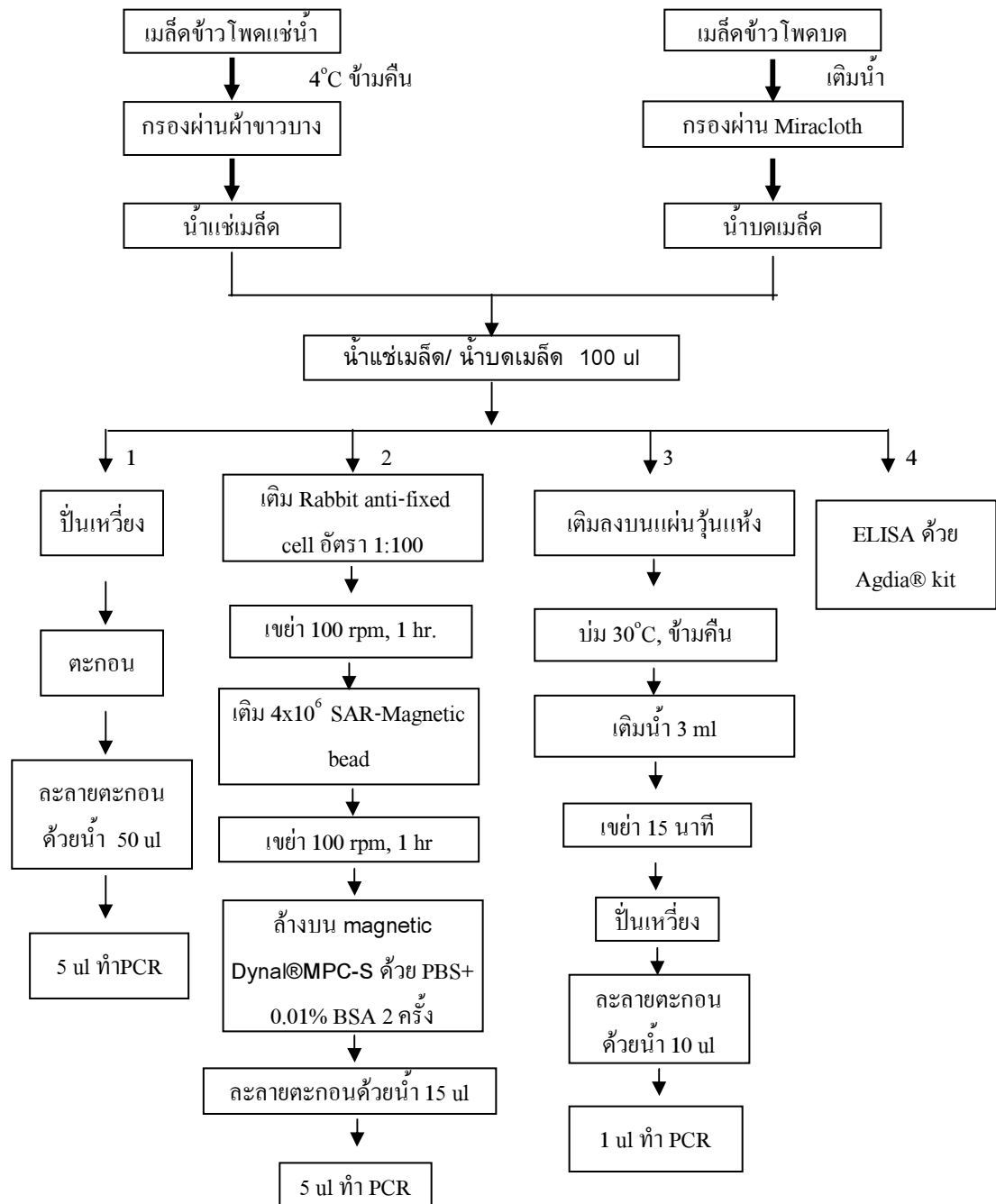
ตรวจสอบเปอร์เซ็นต์การติดเมล็ด ความมีชีวิตและปริมาณของเชื้อแบคทีเรียในข้าวโพดแต่ละเมล็ด โดยนำเมล็ดข้าวโพดแต่ละเมล็ดแช่ในสารละลาย PBS 1 มิลลิลิตร ที่อุณหภูมิ 4 °C ข้ามคืน นำส่วนน้ำใส แบ่งเป็น 2 ส่วน ส่วนที่หนึ่งจำนวน 100 ไมโครลิตร ทำการเจือจาง 10 เท่า เป็นคำดับขั้นเกลี่ยบนอาหาร NA ตรวจนับแบคทีเรีย ส่วนที่สองนำน้ำใสที่เหลือทึบหมุดไปตอกตะกอนด้วยการปั่นให้วายที่ 5,000 g นาน 5 นาที ทิ้งส่วนน้ำใส และละลายตะกอนด้วยน้ำ 5 ไมโครลิตร นำ 2 ไมโครลิตร ไปทำการตรวจหาเชื้อ *Pantoea stewartii* subsp. *stewartii* โดยใช้เทคนิค PCR เมื่อนักนักการตรวจเชื้อแบคทีเรียในพืช

ตรวจสอบความไวของวิธี direct PCR Magnetic bead PCR Ampli-disk PCR และ ELISA ในเมล็ดที่ติดเชื้อ โดยนำสารแขวนลอยเซลล์แบคทีเรียที่ค่า O.D. ประมาณ 0.01 เจือจาง 10 เท่าด้วย PBS เป็นแบคทีเรียเริ่มต้นปริมาตร 1 มิลลิลิตร เจือจาง 10 เท่าเป็นคำดับขั้นด้วยน้ำแช่เมล็ดหรือน้ำบดเมล็ด และนำไปเกลี่ยบนอาหาร NA เพื่อตรวจสอบปริมาณเชื้อแบคทีเรียเริ่มต้น

การเตรียมน้ำแข็งเมล็ดด้วยการนำเมล็ดข้าวโพด 200 เมล็ดแช่ในสารละลายน้ำ PBS ปริมาตร 200 มิลลิลิตรข้ามคืนที่อุณหภูมิ 4°C กรองเมล็ดออกด้วยผ้าขาวบาง นำน้ำส่วนใสที่ได้ทำการทดสอบต่อไป

การเตรียมน้ำบดเมล็ดด้วยการนำเมล็ดข้าวโพด 200 เมล็ดบดด้วยเครื่องบด (Rongtsong iron works รุ่น RT-02A) ความเร็วรอบ 30,000 รอบต่อนาที เป็นเวลา 5 วินาที (ผสมกับสารละลายน้ำ PBS ปริมาตร 200 มิลลิลิตร กวนให้เข้ากันประมาณหนึ่งนาที กรองผ่านแผ่น miracloth (Calbiochem®, USA.) สองชั้น นำน้ำบดเมล็ดที่ได้ไปทดสอบต่อไป

นำน้ำแข็งเมล็ดหรือน้ำบดเมล็ดที่ผสมสารเขายนโดยเชือเบคที่เรียแต่ละความเข้มข้นปริมาตร 100 ไมโครลิตร ทดสอบด้วยวิธีการ direct-PCR Magnetic bead –PCR Ampli-disk PCR และวิธีการ ELISA เช่นเดียวกับการที่ได้อธิบายมาแล้ว ดังสรุปในภาพที่ 2



ภาพที่ 2 แผนผังแสดงการตรวจเชื้อแบคทีเรียในเม็ดด้วยวิธีการ Direct-PCR (1) Magnetic bead-PCR (2) Ampli-disk PCR (3) และ ELISA (4)

การตรวจสอบหาปริมาณสารแซ่เมล็ดที่เหมาะสมในการตรวจสอบเชื้อ

นำเมล็ดข้าวโพดแซ่น้ำในอัตรา 100 เมล็ดต่อน้ำ 30 มิลลิลิตร ในถุงพลาสติกและปิดผนึกปักถุง แซ่เมล็ดเป็นเวลาข้ามคืน ที่ 4°C นำส่วนปริมาณ 10 20 40 80 160 และ 200 มิลลิลิตร ผสมกับสารแขวนโลยเชื้อ *Pantoea stewartii* subsp. *stewartii* LMG2715 ในน้ำที่มีปริมาณเชลล์ต่างๆ กัน ตรวจสอบปริมาณเชลล์โดยการนำไปเจือจางแบบ 10 เท่าเป็นลำดับขั้น เกลี่ยบนอาหาร NA บ่มที่ 30°C เป็นเวลา 2 วัน ตรวจนับปริมาณโโคโนนี

นำน้ำแซ่ข้าวโพดที่ผสมสารแขวนโลยเชื้อแบนคที่เรียกว่ากรองผ่านกระดาษ Whatman® No. 1 จำนวนสองครั้ง และกรองผ่าน Mixed Cellulose ester membrane ขนาดรูพรุน 0.45 ไมครอน นำแผ่นเมมเบรน แซ่ในน้ำปริมาณ 3 มิลลิลิตรต่อแผ่นในงานเลี้ยงเชื้อ เท่าที่ความเร็วรอบ 70 รอบต่อนาทีเป็นเวลา 30 นาที นำน้ำแซ่เมมเบรนปริมาณ 1 มิลลิลิตร ปั่นให้วิ่งที่ความเร็วรอบ 8,000 g เป็นเวลา 5 นาที ละลายตะกอนด้วยน้ำ 10 ไมโครลิตร นำมาตรวจสอบด้วยปฏิกิริยา PCR หรือ การทดสอบตรวจสอบเชื้อด้วย Direct-PCR

ความไวของการตรวจสอบการปนเปื้อนของเมล็ดติดเชื้อในกองเมล็ดพันธุ์

นำเมล็ดที่ปลูกเชื้อและตรวจสอบเปอร์เซ็นต์การปนเปื้อนของเมล็ดมาผสมกับกองเมล็ดพันธุ์ในอัตราต่างๆ ได้แก่ 1/5,000 (0.02%) 1/8,000 (0.0125%) 1/10,000 (0.010%) และ 1/13,000 (0.007%) เมล็ด โดยทำการตรวจแบบไม่แบ่งกองเมล็ดพันธุ์ และแบ่งกองเมล็ดพันธุ์เป็นกอง (sub-sample) กองละ 500 เมล็ด แซ่เมล็ดข้าวโพดในน้ำและตรวจสอบเช่นเดียวกับการทดลองปริมาณการตรวจสอบหาปริมาณสารแซ่เมล็ดที่เหมาะสมในการตรวจสอบเชื้อ

ผลและวิจารณ์

ผล

การตรวจสอบเชื้อแบคทีเรีย *Pantoea stewartii* subsp. *stewartii* ตามวิธีการอ้างอิง

จากการเดี่ยงเชื้อแบคทีเรียบนอาหารเดี่ยงเชื้อ 3 ชนิด คือ NA LB และ CPG พบร่ว่าเชื้อ *Pantoea stewartii* subsp. *stewartii* LMG2715 มีการเจริญได้ช้ากว่าเมื่อเทียบกับเชื้อแบคทีเรียสายพันธุ์อื่นๆ โดยจะพบโคลนนี้เชื้อขนาดประมาณ 1 มิลลิเมตร เมื่ออายุ 24 ชั่วโมง บนอาหาร NA โคลนนี้มีสีเหลืองนวล ขอบเรียบ ผิวนั้นขาว แต่ไม่เย็น ทึบแสง นูนต่ำเป็นรูปโดม (ภาพที่ 3 ก) นอกจากนี้ลักษณะโคลนนี้ที่พบบนอาหาร NA ยังมีลักษณะคล้ายแบบ ดังแสดงในภาพที่ 3 (ข - จ) ได้แก่ แบบลักษณะขอบหยัก ตรงกลางนูนต่ำ แบบที่สองขอบหยักตรงกลางนูนสีเหลืองเข้มคล้ายไข่ดาว แบบที่สามเป็นโคลนนีขอบหยัก โคลนนี้ค่อนข้างแบบ ผิวน้ำโคลนนี้เป็นรอยหยักคลื่น และแบบที่สี่เป็นโคลนนีขอบเรียบ โคลนนีนูนต่ำ ผิวน้ำค่อนข้างแบบและเย็นนั้นขาว โดยลักษณะที่พบบ่อยจะเป็นลักษณะแบบแรก ภาพที่ 3 (ก) เมื่อโคลนนีอายุ 3-4 วันจะมีลักษณะยุบตัวลงตรงกลาง ขอบนูนขึ้น คล้ายภูเขาไฟ (ภาพที่ 3 ฉ) ซึ่งเกิดลักษณะเช่นเดียวกันเมื่อเดี่ยงบนอาหาร LB และ CPG แต่ในอาหาร CPG ขอบโคลนจะหยัก และโคลนนี้มีสีขาวครีม โคลนนี้ไม่เย็น ภาพที่ 3 (ช) ในอาหารคัดเลือก Nigrosine medium พบร่ว่าเชื้อ *P. stewartii* subsp. *stewartii* LMG2715 จะเจริญช้ากว่าเชื้อแบคทีเรียสายพันธุ์ที่ทดสอบอื่นๆ โดยจะพบโคลนนีขนาดประมาณ 1 มิลลิเมตรเมื่ออายุ 5 วัน และมีลักษณะโคลนนี้เมื่อตรวจสอบภายในตัวจะเป็นรูปตาข่าย (ภาพที่ 3 ฉ และ ณ) อย่างไรก็ตามเชื้อสายพันธุ์ที่ทดสอบอื่นๆ สามารถเจริญได้บนอาหารชนิดนี้ได้อย่างรวดเร็ว โดยพบโคลนนีขนาดใหญ่เส้นผ่านศูนย์กลางประมาณ 0.3 – 0.7 มิลลิเมตรเมื่อเวลาผ่านไป 2 วัน (ภาพที่ 3 ญ – บ)

การตรวจสอบคุณสมบัติในการติดสีพบว่าเชื้อแบคทีเรียทุกสายพันธุ์ติดสีแกรนด์ มีรูปร่างเป็นท่อนสัน และสามารถเคลื่อนที่ได้ ยกเว้นเชื้อ *Pantoea stewartii* subsp. *stewartii* LMG2715

เมื่อทดสอบความสามารถในการทำให้เกิดอาการ Hypersensitive response พบร่ว่าเชื้อที่ทดสอบทุกสายพันธุ์ไม่สามารถเกิดปฏิกิริยาดังกล่าว แต่เมื่อทดสอบการเกิดโรคพบว่าเชื้อแบคทีเรียทุกสายพันธุ์สามารถทำให้เกิดจุดดำน้ำกับต้นกล้าข้าวโพดเมื่อใช้วิธีการปลูกเชื้อแบบฉีดเชื้อผ่าน

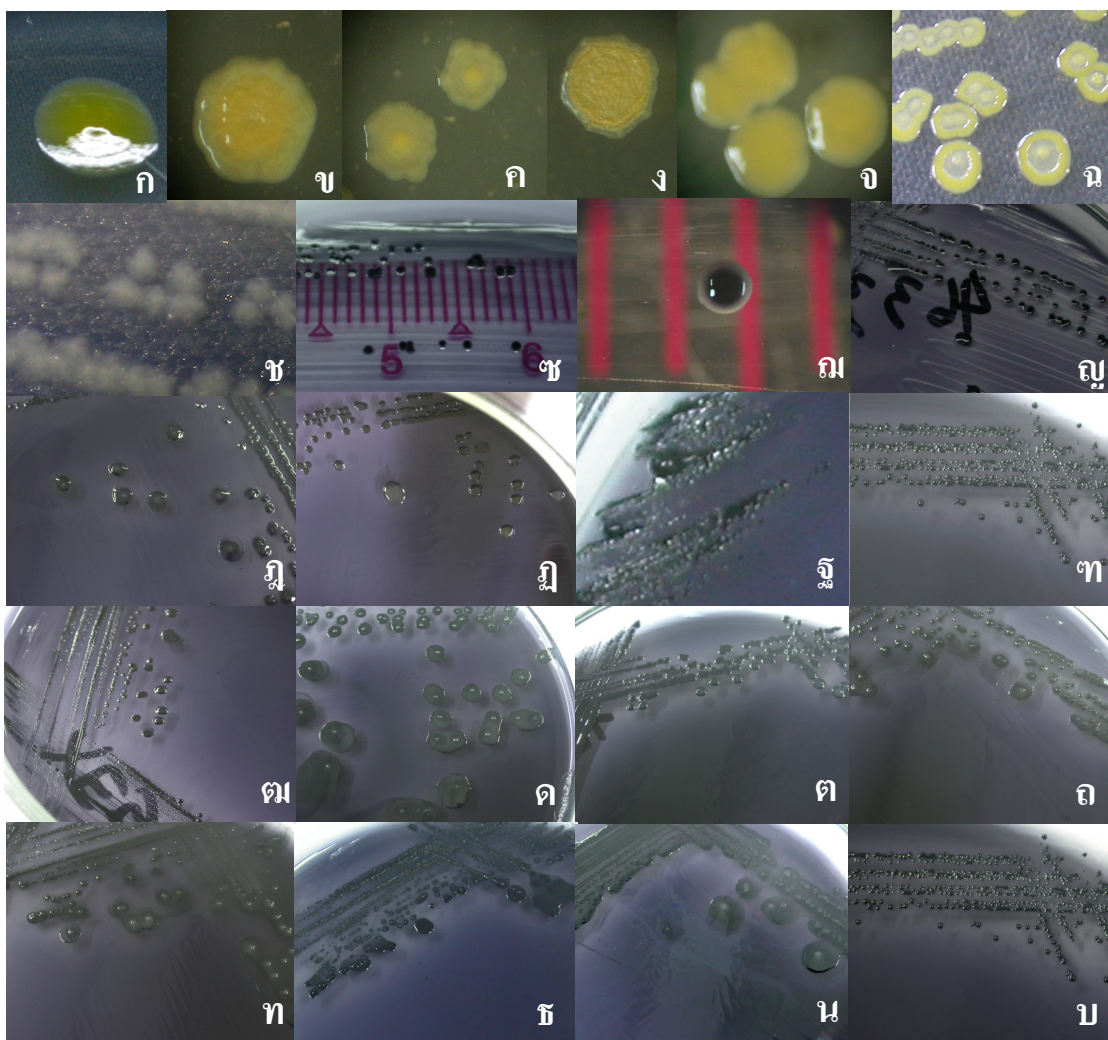
ทางใบ และเมื่อทดสอบการเกิดโรคโดยการปลูก เชื้อด้วยวิธีการยอดกรวยยอด และเก็บต้นข้าวโพดไว้ในสภาพที่มีความชื้นสัมพัทธ์สูง 3 วัน ข้าวโพดที่ปลูก เชื้อด้วย *Pantoea stewartii* subsp. *stewartii* LMG2715 มีอาการเริ่มเป็นจุดคล้ำน้ำเล็กๆ และตามไปตามเส้นใบ ขอบแพลงชูรูบรา โดยแพลงจะแห้งเป็นสีน้ำตาลอ่อนร่วงโรยแพลงมีความชื้นสัมพัทธ์ต่ำลง ดังแสดงในภาพที่ 4 (ง-ฉ) แต่ย่างไรก็ตามเชื้อแบคทีเรียสายพันธุ์อื่นๆ ก็สามารถทำให้เกิดอาการเน่าจากอบใน รวมทั้งเน่าที่ใบยอด คล้ายกับเชื้อ *P. stewartii* subsp. *stewartii* LMG2715^T ดังในภาพ 4 (ฉ-ฒ) ซึ่งสังเกตว่าเชื้อแบคทีเรียสามารถเข้าทางรูราก (Hydathode) ที่ขอบใบซึ่งทำให้เห็นเป็นแพลงไวน์และเน่าตามขอบใบได้ และเมื่อนำแพลงเหล่านี้ไปตรวจสอบการไหลของ ooze ภายใต้กล้องจุลทรรศน์ ก็พบว่ามีการไหลของ ooze เช่นเดียวกับต้นข้าวโพดที่ปลูก เชื้อด้วย *P. stewartii* subsp. *stewartii* LMG2715^T

เมื่อทดสอบเชื้อแบคทีเรียด้วยชุดตรวจสอบสำเร็จรูป PathoScreen® สำหรับ *Erwinia stewartii* (Agdia®, Inc., USA) พบว่าเชื้อแบคทีเรียสายพันธุ์ Y001 และ XE ทั้งหมดยกเว้น XE 7 และ W001 สามารถทำปฏิกิริยากับชุดตรวจสอบดังกล่าว โดยมีการทำปฏิกิริยาที่ชัดเจนมากกว่าการเกิดปฏิกิริยากับเชื้อ *Pantoea stewartii* subsp. *stewartii* LMG2715^T โดยเปรียบเทียบจากการดูดกลืนแสงที่อ่านได้ ดังแสดงในตารางที่ 3

จากการทดสอบการทำปฏิกิริยา PCR ด้วยคู่ไพร์เมอร์จำเพาะต่อ 16s-23s rRNA/ITS ยืน *cpsD* และ *hrpS* พบว่าเชื้อแบคทีเรีย XE1 XE6 XE8 XE9 XE11 และ Y001 สามารถเกิดปฏิกิริยาต่อคู่ไพร์เมอร์ 16s-23s rRNA/ITS และ *cpsD* ได้ โดยพนแอบดีอีนออกนาด 1.1 กิโลเบส พร้อมกับแอบดีอีนออกนาด 16s rDNA ขนาด 1.5 กิโลเบสที่ใช้เป็น internal control ในขณะที่เชื้อแบคทีเรียอื่นๆ พบเฉพาะแอบดีอีนออกนาด 1.5 กิโลเบสเท่านั้น ดังแสดงในภาพที่ 5 ก และ 3ค เนื่องจากคู่ไพร์เมอร์ที่จำเพาะต่อ *hrpS* ที่เกิดปฏิกิริยาจำเพาะกับ *Pantoea stewartii* subsp. *stewartii* LMG2715^T ดังในตารางที่ 3 และเมื่อเปรียบเทียบลำดับนิวคลีโอไทด์ของผลผลิต PCR ที่ได้จากห้องสองยืนนี้ เมื่อเทียบลำดับนิวคลีโอไทด์ของเชื้อ *P. stewartii* subsp. *stewartii* LMG2715^T กับเชื้อแบคทีเรียสายพันธุ์อื่นๆ ได้แก่ XE1 XE6 XE8 XE9 XE11 และ Y001 พบว่าจากจำนวนนิวคลีโอไทด์ 903 และ 1106 นิวคลีโอไทด์ มีลำดับเบสที่แตกต่างกันของ 16s-23s rRNA/ITS และ *cpsD* จำนวน 12 และ 10 นิวคลีโอไทด์ ตามลำดับ ดังแสดงในภาพที่ 6 สำหรับยืน *hrpS* นั้นมีอีกหนึ่งลำดับนิวคลีโอไทด์ที่ได้จากการทำปฏิกิริยาของเชื้อ *P. stewartii* subsp. *stewartii* LMG2715^T กับข้อมูลที่

ได้จากฐานข้อมูล Genbank นั้น พบว่ามีลำดับนิวคลีโอ ไทด์เหมือนกัน (identity) 100% จากทั้งหมด 807 นิวคลีโอ ไทด์

เมื่อนำลำดับนิวคลีโอ ไทด์ของส่วน 16s rDNA มาสร้างเป็นเดนโครแกรมเปรียบเทียบกับลำดับนิวคลีโอ ไทด์ที่ได้จากฐานข้อมูล Genbank พบว่าแบคทีเรีย *Pantoea agglomerans* *P. dispersa* *P. ananas* *P. stewartii* subsp. *stewartii* *Erwinia chrysanthemi* *E. herbicola* *E. carotovora* subsp. *carotovora* มีความห่าง (distance) ทางวิวัฒนาการ ไม่เกิน 0.3 และมีการจับกลุ่มผสมกันโดยเฉพาะเชื้อในจีนส *Pantoea* spp. เมื่อนำมาเปรียบเทียบกับเชื้อในการทดลองนี้ ได้แก่ เชื้อที่แยกได้จากข้าวโพดในประเทศไทยสายพันธุ์ พぶว่าเชื้อแต่ละสายพันธุ์จับกลุ่มกระชาຍ ออกไป โดยสายพันธุ์ XE 11 แยกกลุ่มออกไป สายพันธุ์ Y001 และ XE9 จับกลุ่มร่วมกับ *P. agglomerans* แต่มีสายวิวัฒนาการร่วมกับเชื้อแบคทีเรียสายพันธุ์ LMG2715^T สายพันธุ์ XE1 XE6 และ XE8 จับกลุ่มร่วมกับ *P. agglomerans* เช่นกันแต่แยกสายวิวัฒนาการออกไปอีกสาย (ภาพที่ 7)



ภาพที่ 3 โคโลนีของเชื้อ *Pantoea stewartii* subsp. *stewartii* LMG2715^T บนอาหารเดี่ยงเชื้อชนิดต่างๆ โคโลนีบนอาหาร NA อายุ 2 วัน (ก - ຈ) อายุ 4 วัน (ນ) อาหาร CPG (ຈ) อาหาร Nigrosine medium อายุ 5 วัน (ຈ) ภาพขยายของโคโลนีแสดงลักษณะตอบภัยได้กล้องชุลทรรศน์แต่ละระหว่างช่องปั๊ดสีแดงมีขนาด 1 มิลลิเมตร (ລ) โคโลนีบนอาหาร Nigrosin medium อายุ 2 วัน เชื้อ *P. agglomerans* 4633 (ຢ) XE1 (ຢ) XE2 (ຢ) XE3 (ຢ) XE4 (ຫ) XE5 (ຫ) XE6 (ດ) XE7 (ຕ) XE8 (ດ) XE9 (ນ) XE11 (ຫ) Y001 (ນ) และ W001 (ນ)

ตารางที่ 3 การทดสอบเชื้อแบนคทีเรีย คุณสมบัติการทนเกลือ การเกิดโรค การเกิดปฏิกิริยา Hypersensitive response การทำปฏิกิริยา ELISA โดยใช้ชุดตรวจสอบสำเร็จรูป PathoScreen® สำหรับ *Pantoea stewartii* และการตรวจสอบด้วย PCR โดยคู่ไฟร์เมอร์ที่จำเพาะต่อ 16s-23s rRNA/ITS *hrpS* และ *cpsD*

สายพันธุ์	การเจริญบน		การแสดง	HR	ELISA		PCR	
	อาหาร LB เติม เกลือ 5%	อาหาร LB เติม น้ำ			PathoScreen® (O.D. 405 nm) ¹	16s -23S rRNA/ITS	<i>hrpS</i>	<i>cpsD</i>
XE1	+	+	-	-	+ (2.25) ± 0.06 ¹	+	-	+
XE2	+	+	-	-	+ (1.91) ± 0.04	-	-	-
XE3	+	+	-	-	+ (1.64) ± 0.01	-	-	-
XE4	+	+	-	-	+ (2.00) ± 0.07	-	-	-
XE5	+	+	-	-	+ (1.22) ± 0.10	-	-	-
XE6	+	+	-	-	+ (1.08) ± 0.05	+	-	+
XE7	+	+	-	-	- (0.11) ± 0.00	-	-	-
XE8	+	+	-	-	+ (1.05) ± 0.13	+	-	+
XE9	+	+	-	-	+ (1.56) ± 0.14	+	-	+
XE11	+	+	-	-	+ (1.23) ± 0.11	+	-	+
Y001	+	+	-	-	+ (0.98) ± 0.06	+	-	+
W001	+	+	-	-	- (0.12) ± 0.00	-	-	-
W002	+	Nd	Nd	-	- (0.12) ± 0.00	-	-	-
Pss	+	+	-	-	+ (1.34) ± 0.01	+	+	+
LMG2751 ^T								
Pag 4633	+	+	-	-	- (0.12) ± 0.00	-	-	-
Pag 4045	+	+	-	-	- (0.12) ± 0.00	-	-	-

สัญลักษณ์ + หรือ – หมายถึง ให้เป็นผลการทดลองเป็นบวกหรือลบ

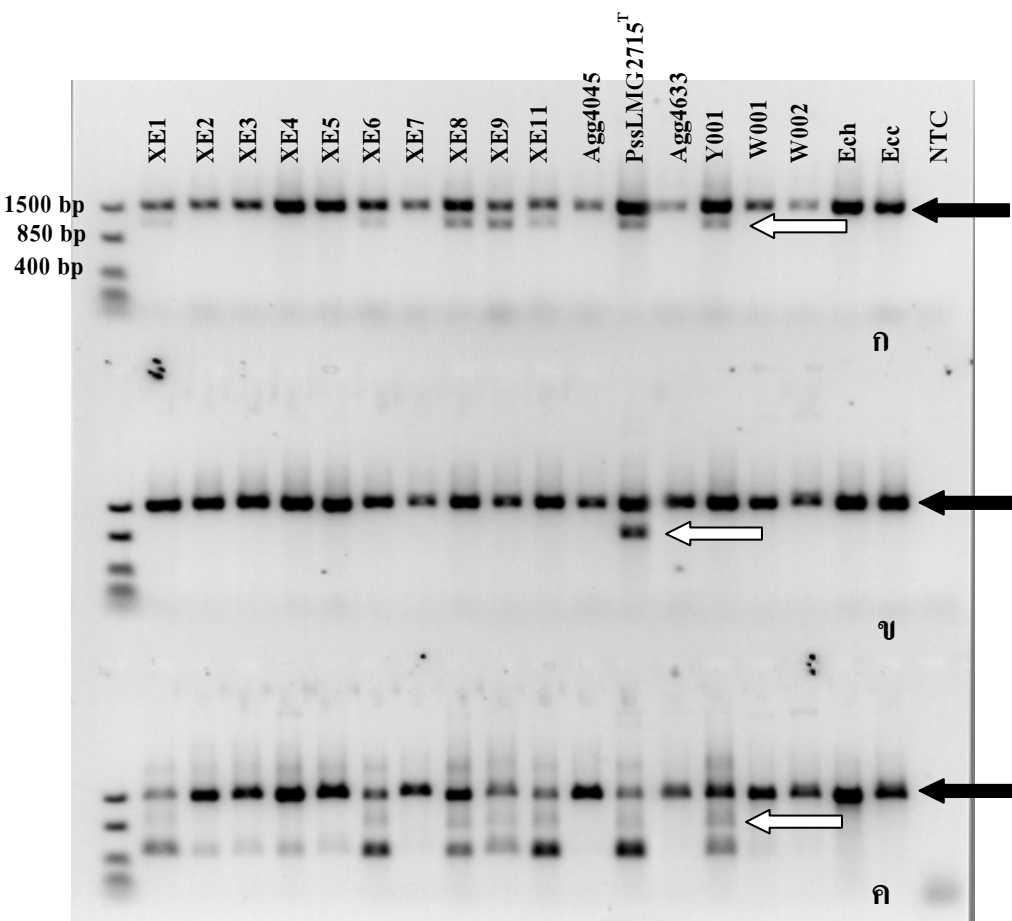
¹ แสดงผลปฏิกิริยาเป็นบวก “+” หรือลบ “-” (ค่าปฏิกิริยาที่ความยาวคลื่น 405 นาโนเมตร) ± ค่าเบี่ยงเบนมาตรฐาน โดยค่าที่เป็นผลบวกได้จากค่าที่มากกว่า 3 เท่าของค่าตัวบ่งชี้บลบ (0.12) ± 0.00

HR หมายถึง Hypersensitive reaction Pag หมายถึง *Pantoea agglomerans*

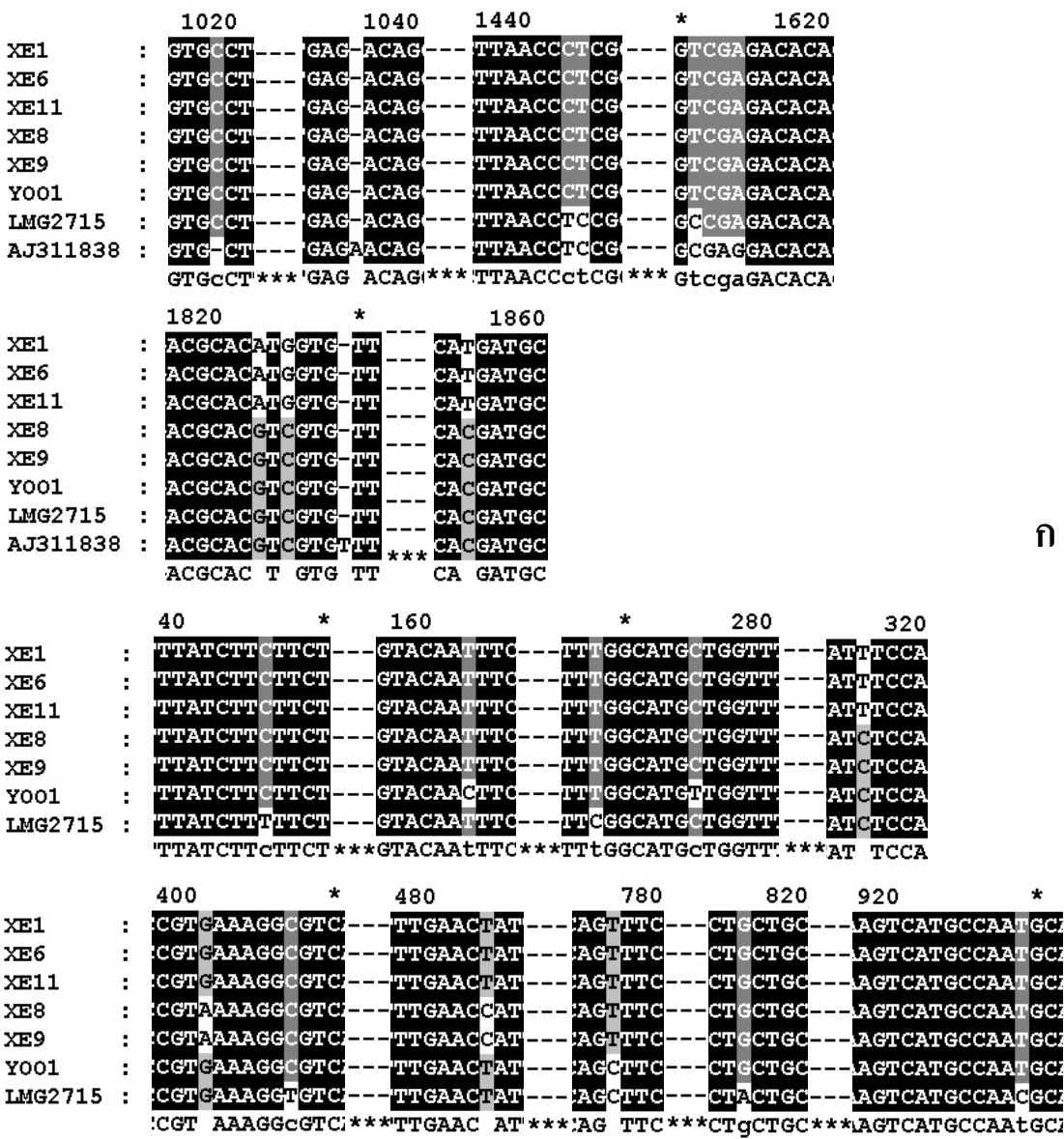
Pss หมายถึง *P. stewartii* subsp. *stewartii* LMG2715^T สายพันธุ์ Type strain



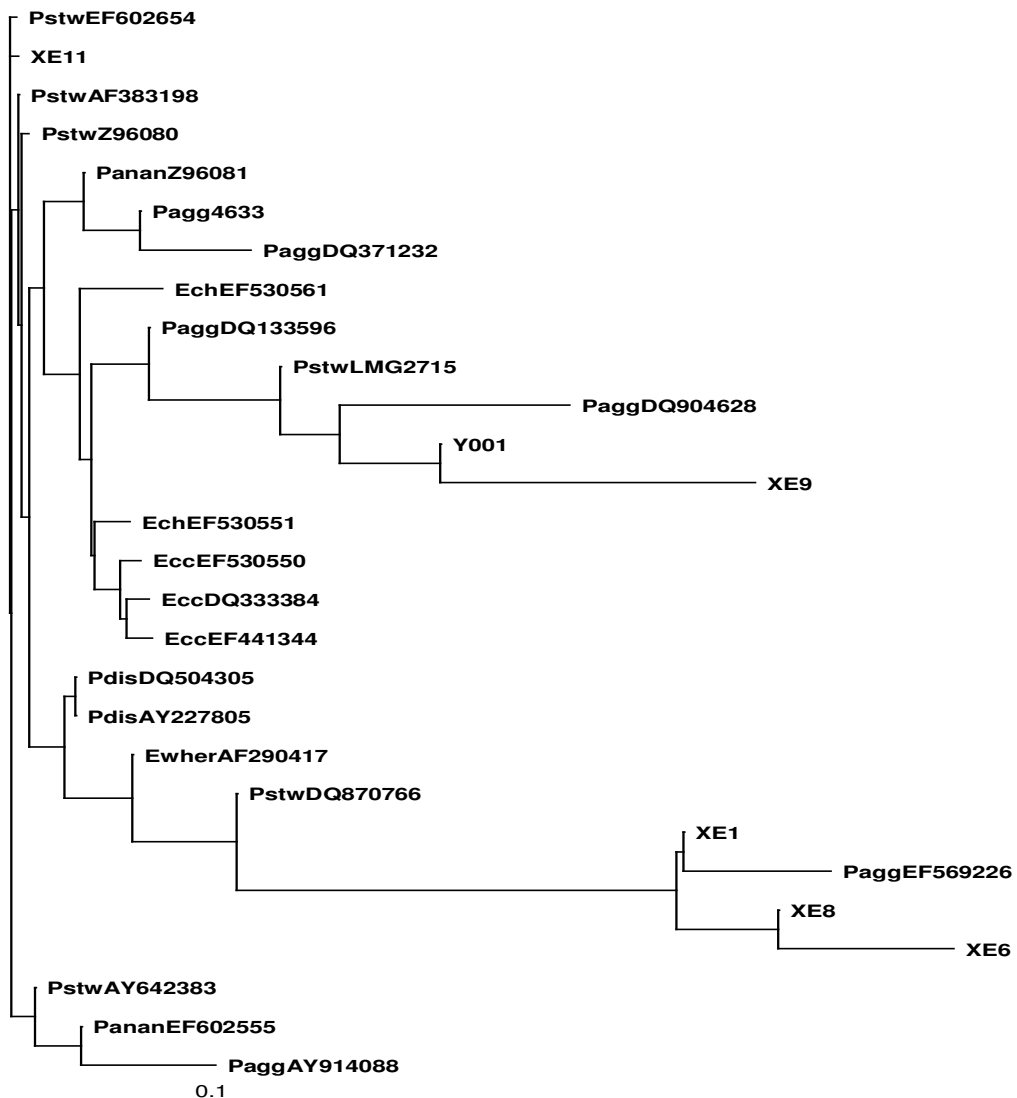
ภาพที่ 4 อาการบนใบข้าวโพดหวานสายพันธุ์อินทรี 2 หลังจากปลูกเชื้อแบคทีเรียสายพันธุ์ต่างๆ เป็นเวลา 7 วัน ปลูกเชื้อด้วย PBS (ก) ปลูกเชื้อด้วย *Pantoea stewartii* subsp. *stewartii* LMG2715^T (ข – จ) ปลูกเชื้อด้วยสายพันธุ์ XE1 2 3 4 5 6 8 9 11 และ Y001 ตามลำดับ (ฉ – แม)



ภาพที่ 5 เจลอะลูมิโนฟอร์มิชีส 0.8 เปอร์เซ็นต์ แสดงแถบดีเอ็นเอของผลผลิตพีซีอาร์จากการตรวจเชื้อแบบที่เรียกว่า ได้จากข้าวโพดและเชื้อ *Pantoea stewartii* subsp. *stewartii* สังเคราะห์ด้วยไพร์เมอร์จำเพาะยีน *cpsD* (ก), *hrpS* (ข) และ 16s-23s rRNA/ITS (ค) ตำแหน่งที่ลูกศรสีขาวที่เป็นแถบดีเอ็นเอของแต่ละยีน และลูกศรสีดำเป็นแถบดีเอ็นเอของยีน 16s rDNA เพื่อใช้เป็นตัวเปรียบเทียบชี้วัดการเกิดปฏิกิริยา PCR (internal control) NTC หมายถึง non template control



ภาพที่ 6 การเปรียบเทียบลำดับนิวคลีโอไทด์ของยีน 16s- 23s rRNA/ITS (ก) และ cpsD (ข) ใน ตำแหน่งที่มีลำดับนิวคลีโอไทด์ที่แตกต่างกันของเชื้อแบคทีเรียที่แยกได้จากข้าวโพด สาย พันธุ์ XE1 XE6 XE8 XE9 XE11 และ Y001 เทียบกับเชื้อ *Pantoea stewartii* subsp. *stewartii* โดยใช้โปรแกรม GeneDoc Version 2.6.001 (Nicholas and Nicholas, 1997)



ภาพที่ 7 เด่นโอดограмการจัดกลุ่มเบปคที่เรียโอดโดยใช้ลำดับนิวคลีโอไทด์บางส่วนของ 16s rDNA ของ เชื้อเบปคที่เรียที่แยกได้จากข้าวโพด สายพันธุ์ XE1 XE6 XE8 XE9 XE11 และ Y001 เทียบกับข้อมูลจากฐานข้อมูล Genbank ด้วยวิธี Neighbour joining by percentage identity เส้นด้านล่างภาพหมายถึงระยะทาง 0.1 (distance) เชื้อที่มีตัวอักษรนำหน้า Pdis หมายถึง *Pantoea dispersa* Pstw หมายถึง *P. stewartii* subsp. *stewartii* Panan หมายถึง *P. ananatis* Ewher หมายถึง *Erwinia herbicola* Ech หมายถึง *E. chrysanthemi* Ecc หมายถึง *E. carotovora* subsp. *carotovora* ตัวอักษรและตัวเลขที่ต่อท้ายเชื้อหมายถึง accession no. ของ เชื้อจากฐานข้อมูล Genbank <http://www.ncbi.nlm.nih.gov/>

การใช้แหล่งคาร์บอนเป็นสารสับสเตรท 95 ชนิด

จากการตรวจสอบการติดสีของผนังเซลล์แบบคที่เรียกว่าแบบคที่เรียกสายพันธุ์ติดสีแกรมลบ สร้างเอนไซน์ catalase ไม่เกิดปฏิกิริยา oxidase ไม่สร้างแก๊สจากการใช้น้ำตาลกลูโคส แลคโตส และซูโคส และไม่สร้าง H_2S และการใช้น้ำตาลห้องสามชนิดสามารถแบ่งแบบคที่เรียกออกเป็นกลุ่มคือ กลุ่มที่สามารถใช้น้ำตาลกลูโคสได้เพียงอย่างเดียว ได้แก่สายพันธุ์ XE3 XE8 XE9 และ XE11 กลุ่มที่สามารถใช้น้ำตาลกลูโคสและแลคโตส หรือ กลูโคสและซูโคส ได้แก่ XE1 XE5 XE6 Y001 *Pantoea stewartii* subsp. *stewartii* LMG2715^T XE2 และ XE4 โดยสายพันธุ์ XE2 และ XE4 สามารถใช้น้ำตาลจนหมดได้อย่างรวดเร็วภายในเวลา 24 ชั่วโมง สังเกตจากส่วนอาหารทึ้งหมดเปลี่ยนเป็นสีเหลือง แต่เมื่อเวลา 48 ชั่วโมงปริมาณน้ำตาลหมดจึงต้องใช้กรดอะมิโนได้แก่ peptone เป็นแหล่งอาหารแทนทำให้เกิดสีแดงในส่วนของอาหารอ่อน (slant) ซึ่งแสดงให้เห็นว่าเชื้อแบบคที่เรียกห้องสายพันธุ์นี้สามารถเจริญได้ในสภาพที่ไม่มีอากาศ

จากการทดสอบคุณสมบัติการใช้แหล่งคาร์บอนของเชื้อ *Pantoea stewartii* subsp. *stewartii* LMG 2715^T และเชื้อแบบคที่เรียกได้จากข้าวโพดในประเทศไทยด้วย Biolog® System ดังแสดงรายละเอียดดังในตารางที่ 4 แสดงให้เห็นว่าเชื้อ *P. stewartii* subsp. *stewartii* LMG 2715^T และข้อมูลที่ได้จากฐานข้อมูล Biolog® พบว่าสามารถใช้แหล่งคาร์บอนได้คล้ายกับเชื้อแบบคที่เรียกทดสอบอื่นๆ แต่สามารถใช้ได้น้อยชนิดกว่า โดยสารที่สามารถใช้ได้เหมือนกันแบ่งเป็นกลุ่มสารได้ดังนี้ สารในกลุ่ม polymer ได้แก่ dextrin สารกลุ่ม sugar และอนุพันธุ์ ได้แก่ N-acetyl-D-glucosamine L-arabinose D-arabitol D-cellobiose D-fructose D-galactose α -D-glucose D-mannitol D-mannose β -methyl-D-glucoside D-psicose sucrose และ D-trehalose กลุ่ม Methyl esters ได้แก่ pyruvic-acid-methy-ester กลุ่ม amino acids peptides และสารไกคลีคีน ได้แก่ L-asparagine L-aspartic-acid กลุ่ม alcohols ได้แก่ glycerol และกลุ่ม sugar phosphates ได้แก่ α -D-glucose-1-phosphate D-glucose-6-phosphate และแหล่งคาร์บอนที่ใช้แตกต่างกันโดยเชื้อแบบคที่เรียกอื่นๆ ในการทดลองนี้สามารถใช้ได้แต่เชื้อ *P. stewartii* subsp. *stewartii* ไม่สามารถใช้ได้ในกลุ่ม sugar และอนุพันธุ์ ได้แก่ D-arabitol D-cellobiose maltose L-rhamnose สารในกลุ่ม Carboxylic acids ได้แก่ acetic-acid cis-aconitic-acid citric-acid formic-acid และเมื่อเปรียบเทียบระหว่าง *P. stewartii* subsp. *stewartii* LMG2715^T และ ข้อมูลที่ได้จากฐานข้อมูล Biolog® พบว่ามีสารรับอนุพทานายชนิดที่ใช้แตกต่างกัน ได้แก่ dextrin m-inositoal α -D-lactose pyruvic-acid-methy-ester

D-gluconic-acid succinic-acid bromosuccinic-acid L-alanine L-glutamic-acid inosine uridine และ thymidine

ตารางที่ 4 การใช้แหล่งคาร์บอนของเชื้อแบคทีเรียทดสอบ เมื่อทดสอบด้วย Biolog® system

	สายพันธุ์											Pad ^D	LMG2715 ^T	Pss ^D		
	XE1	XE2	XE3	XE4	XE5	XE6	XE8	XE9	XE11	Y001	Pad4045	Pad20569	Pad4633	Pad ^D		
Water	-	-	-	-	-	-	-	-	-	-	-	-	-	-	-	-
Alfa-cyclodextrin	-	-	-	-	-	-	-	-	-	-	-	-	-	-	-	-
Dextrin	+	+	+	+	+	+	+	+	+	+	+	+	+	+	-	+
Glycogen	-	-	-	-	-	-	-	-	-	b	-	-	-	-	-	-
Tween-40	-	-	-	-	-	-	-	-	-	+	+	+	+	+	-	-
Tween-80	-	-	-	-	-	-	-	-	-	+	+	+	+	-	b	-
N-acetyl-D-galactosamine	-	-	-	-	-	-	-	-	-	-	-	-	-	-	-	-
N-acetyl-D-glucosamine	+	+	+	+	+	+	+	+	+	+	+	+	+	+	+	+
Adonitol	-	-	-	-	-	-	-	-	-	-	-	-	-	-	-	-
L-arabinose	+	+	+	+	+	+	+	+	+	+	+	+	+	+	+	+
D-arabitol	+	+	+	+	+	+	+	+	-	+	+	+	+	-	-	-
D-cellobiose	+	+	+	-	+	+	+	+	b	+	+	+	+	-	-	-
L-erythritol	-	-	-	-	-	-	-	-	-	-	+	-	-	-	-	-
D-fructose	+	+	+	+	+	+	+	+	+	+	+	+	+	+	+	+
L-fucose	-	-	-	-	-	-	-	-	-	-	-	-	-	-	-	-
D-galactose	+	+	+	+	+	+	+	+	+	+	+	+	+	+	+	+
Gentiobiose	-	-	+	-	-	-	-	-	+ b	-	b	+	-	b	-	-
α -D-glucose	+	+	+	+	+	+	+	+	+	+	+	+	+	+	+	+
M-inositol	+	+	+	+	+	+	+	+	-	+	+	+	+	-	+	+
α -D-lactose	+	+	+	+	+	+	+	+	-	-	-	-	-	-	+	-
Lactulose	-	-	+	-	-	-	-	-	-	-	-	-	-	-	-	-
Maltose	+	+	+	+	+	+	+	-	+	+	-	+	+	-	-	-
D-mannitol	+	+	+	+	+	+	+	+	+	+	+	+	+	+	+	+
D-mannose	+	+	+	+	+	+	+	+	+	-	+	+	+	+	+	+

ตารางที่ 4 (ต่อ)

ตารางที่ 4 (ต่อ)

ตารางที่ 4 (ต่อ)

	สามารถชีวิต															
	XE1	XE2	XE3	XE4	XE5	XE6	XE8	XE9	XE11	Y001	Pag4045	Pag20569	Pag4633	Pag ^D	Pad ^D	LMG2715 ^T
Urocanic-acid	-	-	-	-	-	-	-	-	-	-	b	-	-	-	-	-
Inosine	+	-	-	-	-	+	+	+	+	-	+	+	-	-	+	-
Uridine	-	-	-	-	-	-	-	-	-	-	+	+	-	-	+	-
Thymidine	+	-	-	-	+	+	+	-	+	-	+	+	-	-	+	-
Phenyethyl-amine	-	-	-	-	-	-	-	-	-	-	-	-	-	-	-	-
Putrescine	-	-	-	-	-	-	-	-	-	-	-	-	-	-	-	-
2-aminoethanol	-	-	-	-	-	-	-	-	-	-	-	-	-	-	-	-
2,3-butanediol	-	-	-	-	-	-	-	-	-	-	-	-	-	-	-	-
Glycerol	+	+	+	+	+	+	+	+	+	+	+	+	+	+	+	+
D-L- α -glycerol-phosphate	-	-	-	-	-	-	-	-	+	+	+	+	-	-	-	-
α -D-glucose-1-phosphate	+	+	+	+	+	+	+	+	-	+	+	+	+	+	+	+
D-glucose-6-phosphate	+	+	+	+	+	+	+	+	-	+	+	+	+	+	+	+

Pag: *Pantoea agglomerans*, Pad: *P. dispersa*, Pss: *P. stewartii* subsp. *stewartii*, LMG2715^T: *P. stewartii* subsp. *stewartii* LMG2715^T, + : สามารถใช้คาร์บอนได้, - : ไม่สามารถใช้คาร์บอนได้, b: ค่าการอ่านผลเป็นค่ากำลังระหว่างบวกและลบ, D: เป็นผลที่ได้จากฐานข้อมูล Biolog®

เปรียบเทียบและจัดกลุ่มเชื้อแบคทีเรีย

โดยการใช้แหล่งอาหาร 95 ชนิด

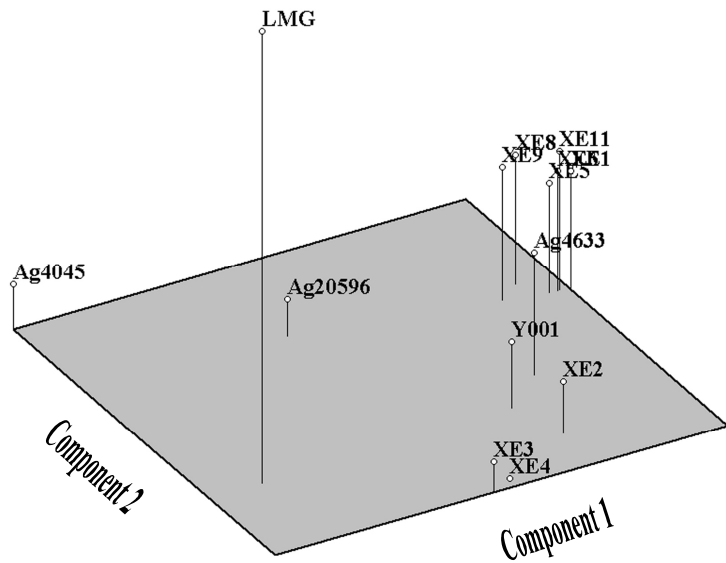
จากการเปรียบเทียบฐานข้อมูลการใช้แหล่งอาหาร 95 ชนิด แก้วน้ำมานาหาความสัมพันธ์ของเชื้อแบคทีเรียแต่ละชนิด ด้วยวิธีทางสถิติแบบการวิเคราะห์ข้อมูลหลายตัวแปร Principal Component Analysis ดังแสดงภาพสามมิติในภาพที่ 8 โดยแต่ละมิติแสดงถึงความแปรปรวนของแหล่งอาหารที่แตกต่างกันมากที่สุดในมิติที่หนึ่งและแปรปรวนรองลงมาในมิติที่สองและสามซึ่ง

กราฟแสดงถึงการใช้แหล่งคาร์บอนที่แตกต่างกันพบว่าเชื้อแบคทีเรีย *Pantoea stewartii* subsp. *stewartii* LMG2715^T มีการจัดกลุ่มต่างออกไปจากแบคทีเรียสายพันธุ์อื่นๆ และเมื่อจัดกลุ่มด้วยการสร้างเป็น денโครแกรมจากการวิเคราะห์ด้วย Simple matching coefficient และจัดกลุ่มด้วย Unweighted pair-group method of averages (UPGMA) ดังแสดงในภาพที่ 9 จากภาพที่ 9 สามารถแบ่งเชื้อแบคทีเรียออกเป็น 5 กลุ่ม ที่ความเหมือน (similarity) 81% ซึ่งแบคทีเรียที่แยกจากข้าวโพดในประเทศไทยจัดอยู่ในกลุ่มเดียวกัน และอยู่กลุ่มเดียวกับเชื้อ *P. agglomerans* 4633 ในขณะที่เชื้อ *P. stewartii* subsp. *stewartii* LMG2715^T และข้อมูลจากฐานข้อมูล Biolog ของเชื้อ *P. stewartii* subsp. *stewartii* จัดอยู่ในกลุ่มเดียวกัน ซึ่งการจัดกลุ่มทั้งสองวิธีให้ผลที่มีความความสอดคล้องกัน

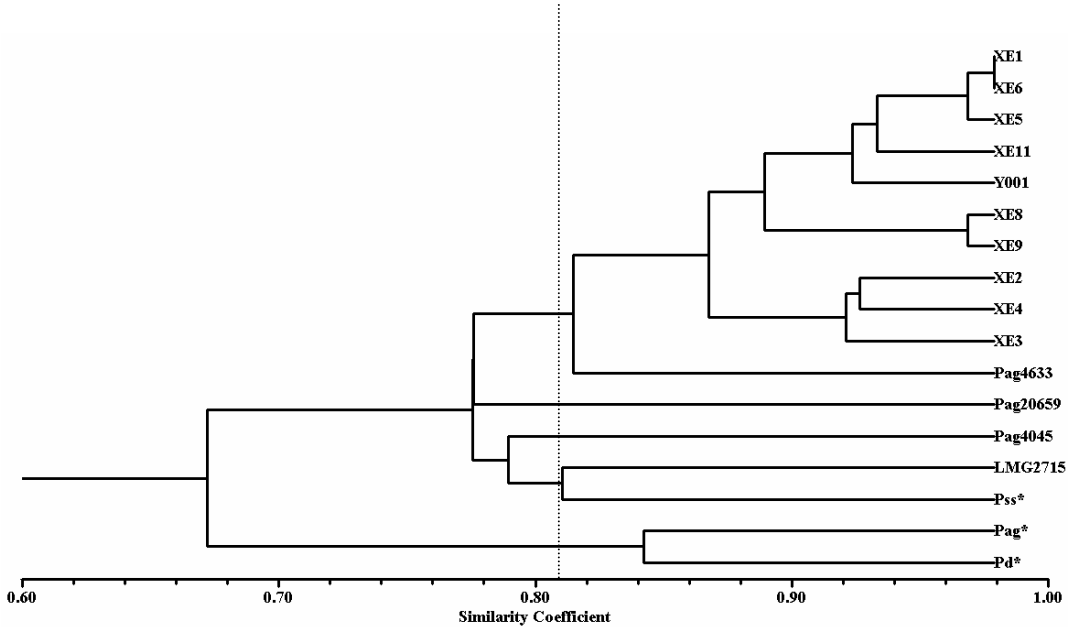
จากการเปรียบเทียบลายพิมพ์ดีเอ็นเอด้วยเทคนิค AFLP ภาพที่ 10 พบว่าสามารถจัดแบ่งกลุ่มเชื้อแบคทีเรียได้ 2 กลุ่ม ที่ค่า similarity 55% และสามารถแบ่งกลุ่มได้ 6 กลุ่ม ที่ค่า similarity 65% โดย LMG 2715^T ซึ่งเป็น type strain ของเชื้อ *Pantoea stewartii* subsp. *stewartii* แยกออกไปเป็นอีกกลุ่มที่แตกต่างจากแบคทีเรียสายพันธุ์อื่นๆ ที่แยกได้จากข้าวโพดในประเทศไทย

จากการเปรียบเทียบรูปแบบแกน soluble protein วิเคราะห์ด้วย 15% SDS-PAGE (ภาพที่ 11) พบว่าสามารถแบ่งรูปแบบแกนโปรตีนออกเป็นกลุ่มด้วยสายตาได้ดังนี้ กลุ่มที่ 1 ได้แก่ เชื้อสายพันธุ์ W001 W002 และ XE7 กลุ่มที่ 2 ได้แก่ XE1 และ 6 กลุ่มที่ 3 ได้แก่ XE3 2 4 และ 5 กลุ่มที่ 4 ได้แก่ XE8 และ 9 โดยเชื้อสายพันธุ์ XE1 Y001 *Pantoea agglomerans* 4633 4045 *Erwinia chrysanthemi* *E. carotovora* subsp. *carotovora* และโดยเฉพาะอย่างยิ่งเชื้อ *P. stewartii* subsp. *stewartii* LMG2715^T มีรูปแบบแกนโปรตีนที่แตกต่างกันออกไปอย่างเด่นชัด เมื่อเปรียบเทียบกับการจัดกลุ่มโดยการใช้โปรแกรม Genetools (Syngene, Cambridge, UK) ร่วมกับการวิเคราะห์ด้วย Dice' coefficient จะจัดกลุ่มด้วยวิธี UPGMA นั้น พบว่ามีความคล้ายคลึงกับการจัดกลุ่มด้วยสายตา โดยที่ค่าความเหมือน 63% นั้น เชื้อแบคทีเรียสายพันธุ์ W001 W002 XE7 *P. agglomerans* 4633 จัดอยู่ในกลุ่มเดียวกัน เชื้อสายพันธุ์ XE1 8 9 4 6 3 2 และ 5 จัดอยู่ในกลุ่มเดียวกัน เชื้อ *P. stewartii* subsp. *stewartii* LMG2715 *Erwinia chrysanthemi* *E. carotovora* subsp. *carotovora* *P. agglomerans* 4045 Y001 และ XE1 จัดแยกกลุ่มกันออกไป

ซึ่งจากการเปรียบเทียบด้วยการใช้เทคนิคที่ต่างกัน ได้แก่ การใช้แหล่งคาร์บอน 95 ชนิด
ลายพิมพ์ DNA ด้วยเทคนิค AFLP รูปแบบของ soluble protein นั้นพบว่าผลที่ได้มีความสอดคล้อง
กัน โดยเชื้อแบคทีเรียในประเทศไทยส่วนใหญ่จัดอยู่ในกลุ่มเดียวกัน และในการจัดกลุ่มโดยการใช้
แหล่งคาร์บอน และรูปแบบแอบนโปรตีน มีความใกล้ชิดกับเชื้อ *P. agglomerans* มากกว่า โดย
แตกต่างจากเชื้อ *Erwinia* spp. ทั้งสองสปีชีส์ และเชื้อ *Pantoea stewartii* subsp. *stewartii* จัดกลุ่ม
แยกออกไป

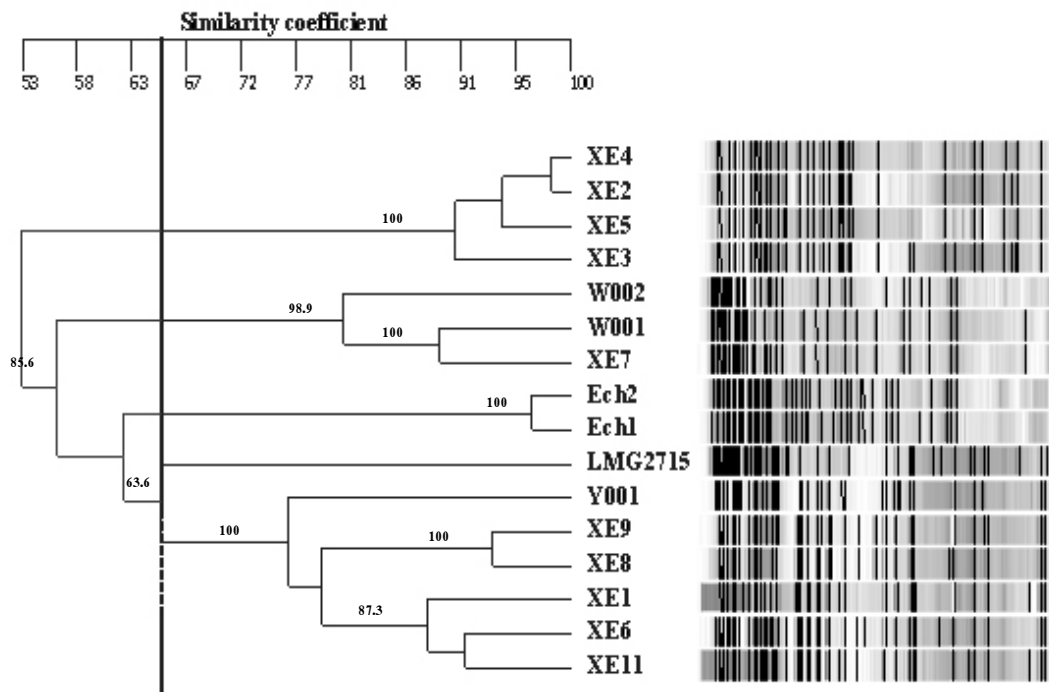


ภาพที่ 8 ภาพสามมิติแสดงการจัดกลุ่มเชื้อแบคทีเรียจากการใช้แหล่งการเรียนรู้ 95 ชนิด เปรียบเทียบ
ด้วยวิธีการ Principal component analysis ด้วยโปรแกรม NTSYS V. 2.01d ประกอบด้วย
เชื้อที่แยกได้จากข้าวโพดในประเทศไทยได้แก่สายพันธุ์ XE1-XE6 XE8 –XE9 XE11
และ Y001 รวม 10 สายพันธุ์ Ag หมายถึง *Pantoea agglomerans* จำนวน 3 สายพันธุ์
ได้แก่ 4045 4633 และ 20596 LMG หมายถึง *P. stewartii* subsp. *stewartii* สายพันธุ์
 $LMG2715^T$

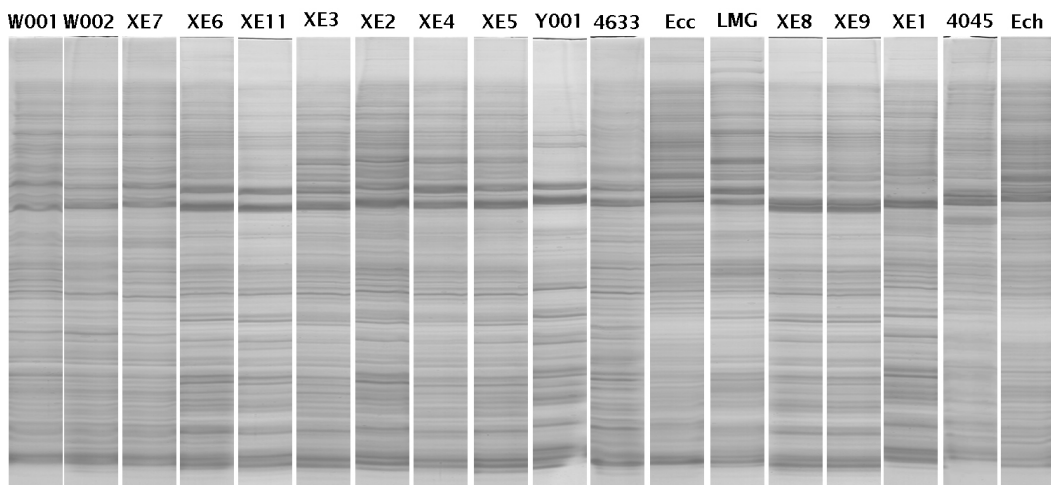


ภาพที่ 9 เด็นโดแกรมการจัดกลุ่มเชื้อแบคทีเรียที่นำมาทดสอบการใช้แหล่งอาหาร 95 ชนิด

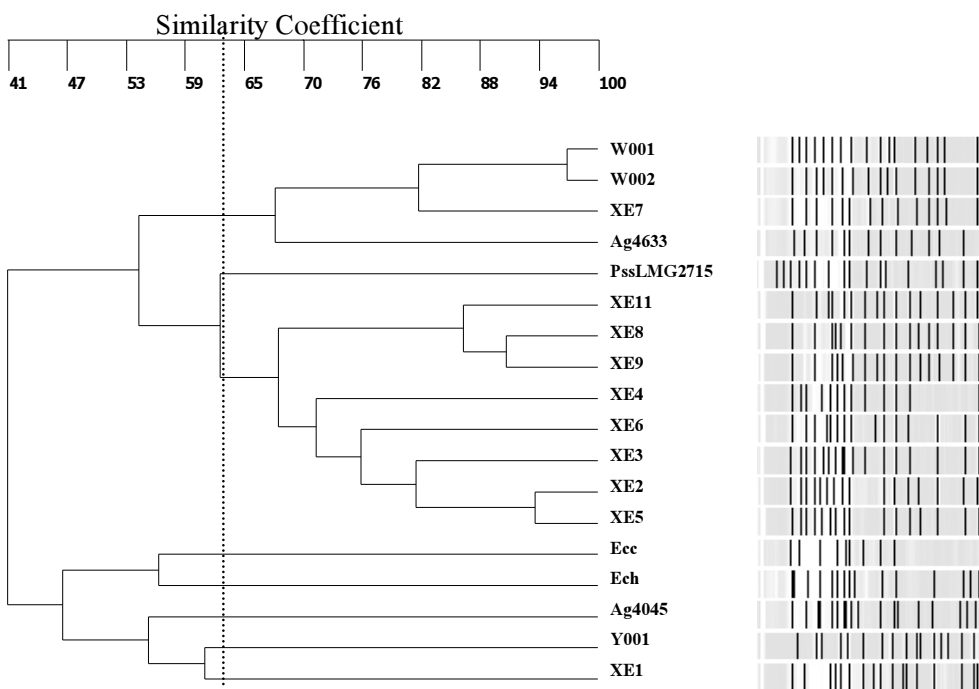
วิเคราะห์ด้วย Simple matching coefficient และจัดกลุ่มด้วยวิธี UPGMA (Unweighted pair group method of averages) ด้วยโปรแกรม NTSYS V. 2.01d ประกอบด้วยเชื้อที่แยกได้จากข้าวโพดในประเทศไทย ได้แก่ สายพันธุ์ XE1-XE6 XE8 –XE9 XE11 และ Y001 รวม 10 สายพันธุ์ Pag หมายถึง *Pantoea agglomerans* Pd หมายถึง *P. dispersa* Pss และ LMG2715^T หมายถึง *P. stewartii* subsp. *stewartii* สายพันธุ์ที่มีเครื่องหมาย * เป็นข้อมูลที่ได้จากฐานข้อมูล Biolog®



ภาพที่ 10 เด่นໂດรrogram การจัดกลุ่มแบนค์เรียโดยใช้ถ่ายพิมพ์ดีอี็นเอ ด้วยเทคนิค AFLP (Amplification Fragment Length Polymorphism) วิเคราะห์ด้วย Dice' Coefficient และจัดกลุ่มด้วย UPGMA (Unweighted pair group method of averages) ตัวเลขเหนือเส้นแสดงค่า Bootstrap จากการคำนวน 1000 ครั้ง ด้วยโปรแกรม Winboot ประกอบด้วยเชื้อแบนค์เรียที่แยกได้จากข้าวโพดในประเทศไทย สายพันธุ์ XE1-XE9 XE11 Y001 W001 และ W002 Ech1 และ 2 หมายถึง *Erwinia chrysanthemi* และ ได้จาก ข้าวโพด และกล้วยไม้ LMG2715^T หมายถึง *Pantoea stewartii* subsp. *stewartii* LMG2715^T



ภาพที่ 11 รูปแบบของ蛋白 Soluble protein ของแบคทีเรีย วิเคราะห์ด้วย 15 % SDS-polyacrylamide gel electrophoresis ประกอบด้วยชื่อแบคทีเรียที่แยกได้จากข้าวโพดในประเทศไทย สายพันธุ์ XE1-XE9 XE11 Y001 W001 และ W002 Ech หมายถึง *Erwinia chrysanthemi* LMG หมายถึง *Pantoea stewartii* subsp. *stewartii* LMG2715^T Ecc หมายถึง *Erwinia carotovora* subsp. *carotovora* 4633 และ 4045 หมายถึงชื่อ *P. agglomerans* สายพันธุ์ 4633 และ 4045 ตามลำดับ



ภาพที่ 12 เด่นโจรแกรมการจัดกลุ่มแบบที่เรียกโดยใช้รูปแบบ soluble protein วิเคราะห์ด้วย Dice'

Coefficient คละจัดกลุ่มด้วย UPGMA (Unweighted pair group method of averages) ด้วยโปรแกรม GeneTools® (Syngene, Cambridge, UK) ประกอบด้วยเชื้อแบคทีเรียที่แยกได้จากข้าวโพดในประเทศไทย สายพันธุ์ XE1-XE9 XE11 Y001 W001 และ W002 Ech หมายถึง *Erwinia chrysanthemi* LMG หมายถึง *Pantoea stewartii* subsp. *stewartii* LMG2715^T Ecc หมายถึง *Erwinia carotovora* subsp. *carotovora* 4633 และ 4045 หมายถึงเชื้อ *P. agglomerans* สายพันธุ์ 4633 และ 4045 ตามลำดับ

การพัฒนาวิธีการตรวจสืบเชื้อ *Pantoea stewartii* subsp. *stewartii*

เทคนิค Enzyme Linked Immunosorbent Assay (ELISA)

จากการตรวจสืบค่าความเจือจางสุดที่แอนติบอดีสามารถทำปฏิกิริยาได้ พบร่วมกับแอนติบอดีที่ผลิตได้จากการฉีดกระตุ้นด้วย fixed cell และ MPC มีความเจือจางสุดที่ทำปฏิกิริยาได้ในอัตราเจือจาง 1 ต่อ 800 ในสัปดาห์ที่ 1 ถึง 3 ของการเก็บซีรั่ม และเพิ่มขึ้นเป็น 1 ต่อ 1600 และ 1 ต่อ 2000 ในสัปดาห์ที่ 8 ของการเก็บซีรั่ม และเมื่อนำมาแยกสกัด IgG ต่อ MPC ในสัปดาห์ที่ 4 ของการเก็บซีรั่ม พบร่วมกับความเจือจางสุดที่ทำปฏิกิริยา 1 ต่อ 2000

IgY ที่แยกสกัดได้จากไก่ที่ฉีดกระตุ้นด้วย life cell และ MPC ที่สัปดาห์ที่ 4 และ 5 หลังจากฉีดกระตุ้นมีค่าความเจือจางต่ำสุดที่สามารถทำปฏิกิริยาได้อัตรา 1:6,400 และ 1:12,800 ตามลำดับ ในสองสัปดาห์เท่านั้น

เมื่อทำการตรวจสืบความจำเพาะของแอนติซีรั่มในเบื้องต้น พบร่วมที่ผลิตได้ทั้งจาก fixed cell และ MPC ที่ได้จากการผลิตในกระต่ายและไก่มีการทำปฏิกิริยาข้าม (cross reaction) กับเชื้อแบคทีเรียชนิดอื่นๆ ที่นำมากทดสอบจึงทำการลดการทำปฏิกิริยาข้าม โดยวิธีการ cross adsorption และนำแอนติซีรั่มมาทดสอบความจำเพาะใหม่ ดังแสดงค่าในตารางที่ 5 ซึ่งพบว่าภายหลังจากการทำการลดการทำปฏิกิริยาข้ามแล้ว IgG anti-fixed cell ที่ได้จากการต่ายังคงมีความจำเพาะเฉพาะเจาะจงต่ำและทำปฏิกิริยาข้ามกับเชื้อ *Erwinia chrysanthemi* *Escherichia coli* และ *Pantoea agglomerans* สายพันธุ์ 4633 แต่ไม่ทำปฏิกิริยาข้ามกับสายพันธุ์ 4045 แอนติซีรั่มทุกชนิดจากการทดลองนี้สามารถทำปฏิกิริยาข้ามกับเชื้อที่แยกเก็บได้จากข้าวโพดในประเทศไทย โดยแอนติซีรั่มที่ได้จากการฉีดกระตุ้นในไก่ด้วย life cell นั้นมีความจำเพาะเทียบเท่ากับชุดตรวจสอบสำเร็จรูปของบริษัท Agdia โดยพบว่าแอนติบอดีต่อ life cell และชุดตรวจสอบสำเร็จรูปต่อเชื้อ *Pantoea stewartii* (Agdia, Inc., USA) นั้นสามารถทำปฏิกิริยาข้ามกับเชื้อแบคทีเรียสายพันธุ์ที่แยกได้จากข้าวโพดในประเทศไทยได้ ยกเว้นเชื้อสายพันธุ์ XE7 และ W001 อย่างไรก็ตามแอนติบอดีที่ได้จากการฉีดไก่ด้วย MPC สามารถทำปฏิกิริยาข้ามกับเชื้อแบคทีเรียสายพันธุ์ W001 ด้วยค่าดูดกลืนแสง 405 นาโนเมตรเฉลี่ย 0.557 ± 0.006 ซึ่งมีค่ามากกว่า 3 เท่าของค่าของตัวเปรียบเทียบคุณ 0.453 เพียงเล็กน้อย เช่นเดียวกันแอนติบอดีที่ได้จากการฉีดกระตุ้นในกระต่ายด้วย fixed cell ซึ่งทำปฏิกิริยาข้ามกับเชื้อ

Erwinia chrysanthemi *Escherichia coli* *Pantoea agglomerans* สายพันธุ์ 4633 และ XE7 ด้วยค่าดูดกลืนแสงเฉลี่ยที่ความยาวคลื่น 405 นาโนเมตรเป็น 0.526 ± 0.006 0.481 ± 0.018 0.606 ± 0.046 และ 0.464 ± 0.002 ตามลำดับ เมื่อเปรียบเทียบกับการทำปฏิกิริยาข้ามกับเชื้อสายพันธุ์ XE และ Y ที่มีค่าการดูดกลืนแสงเฉลี่ยมากกว่า $0.8 - 2.1$ ในขณะที่ทำปฏิกิริยาข้ามกับเชื้อ *Pantoea stewartii* subsp. *stewartii* ด้วยแอนติบอดีต่อ MPC fixed cell จากการนឹดกระตุนในกระต่าย แอนติบอดีต่อ MPC และ life cell จากการนឹดกระตุนในไก่ เป็น 0.879 ± 0.013 0.969 ± 0.005 1.461 ± 0.054 และ 0.769 ± 0.020 ตามลำดับ

เมื่อทดสอบความไวในการทำปฏิกิริยา ดังแสดงในตารางที่ 6 พบว่าแอนติซีรั่มที่ได้จากกระต่ายมีความไวในการตรวจสอบจากการตรวจสอบความไวในการทำปฏิกิริยาของแอนติซีรั่มเมื่อเซลล์มีปริมาณต่ำสุด 10^5 cfu ต่อ 50 ไมโครลิตร ที่ค่าดูดกลืนแสง 0.911 ± 0.058 และ 0.884 ± 0.023 จากการทำปฏิกิริยาด้วยแอนติบอดีจากการนឹดกระตุนด้วย MPC และ fixed cell ตามลำดับ ในขณะที่แอนติซีรั่มที่ผลิตได้จากไก่ซึ่งมีความจำเพาะต่อเชื้อสูงสามารถตรวจเซลล์แบบที่เรียกว่ามีเซลล์ปริมาณต่ำสุด 10^6 cfu ต่อ 50 ไมโครลิตร ที่ใช้ในการเคลือบหลุม โดยมีค่าการดูดกลืนแสง 0.838 ± 0.011 และ 0.793 ± 0.039 เมื่อทำปฏิกิริยาข้ามแอนติบอดีที่ได้จากการนឹดกระตุนด้วย MPC และ life cell ตามลำดับ โดยมีความไวต่ำกว่าชุดตรวจสอบสำเร็จรูป PathoScreen® 10 เท่า โดย PathoScreen® สามารถตรวจสอบได้เมื่อเซลล์มีปริมาณต่ำสุด 10^5 cfu ต่อ 50 ไมโครลิตร มีค่าการดูดกลืนแสง 0.289 ± 0.013

ตารางที่ 5 ความจำเพาะของ IgG anti-MPC IgG anti-fixed cell IgY anti-MPC และ IgY anti-life cell ต่อเชื้อ *Pantoea stewartii* subsp. *stewartii* ทำปฏิกิริยา กับเชื้อแบนค์ที่เรียกว่า ELISA เปรียบเทียบกับการทำปฏิกิริยาโดยชุดตรวจสอบ ELISA สำเร็จรูป PathoScreen®

เชื้อแบนค์ที่เรียบ	(ผลปฏิกิริยาต่อแอนติบอดี) ค่าเฉลี่ย O.D. $405 \text{ nm}^1 \pm$ ค่าเบี่ยงเบนมาตรฐาน				
	IgG anti- MPC	IgG Anti-fixed cell	IgY anti- MPC	IgY anti- life cell	PathoScreen®
<i>Erwinia chrysanthemi</i>	(+) 0.414 ± 0.006	(+) 0.526 ± 0.006	(-) 0.339 ± 0.003	(-) 0.262 ± 0.001	(-) 0.140 ± 0.009
<i>E. carotovora</i> subsp. <i>carotovora</i>	(-) 0.313 ± 0.011	(-) 0.452 ± 0.018	(-) 0.370 ± 0.013	(-) 0.247 ± 0.011	(-) 0.140 ± 0.007
<i>Escherichia coli</i>	(-) 0.371 ± 0.003	(+) 0.481 ± 0.018	(-) 0.372 ± 0.006	(-) 0.302 ± 0.007	Nd
<i>Pantoea agglomerans</i> 4633	(-) 0.260 ± 0.002	(+) 0.606 ± 0.046	(-) 0.267 ± 0.001	(-) 0.176 ± 0.006	(-) 0.123 ± 0.004
<i>P. agglomerans</i> 4045	(-) 0.261 ± 0.006	(-) 0.266 ± 0.006	(-) 0.157 ± 0.004	(-) 0.131 ± 0.001	(-) 0.146 ± 0.003
<i>P. stewartii</i> subsp. <i>stewartii</i> LMG 2715 ^T	(+) 0.879 ± 0.013	(+) 0.969 ± 0.005	(+) 1.461 ± 0.054	(+) 0.796 ± 0.020	(+) 1.319 ± 0.010
XE1	(+) 0.979 ± 0.003	(+) 1.120 ± 0.083	(+) 1.958 ± 0.022	(+) 1.271 ± 0.042	(+) 2.248 ± 0.060
XE2	(+) 0.691 ± 0.032	(+) 0.838 ± 0.021	(+) 1.346 ± 0.065	(+) 0.756 ± 0.059	(+) 1.912 ± 0.040
XE3	(+) 0.782 ± 0.035	(+) 0.859 ± 0.011	(+) 1.581 ± 0.189	(+) 0.927 ± 0.020	(+) 0.638 ± 0.010
XE4	(+) 1.010 ± 0.090	(+) 0.999 ± 0.040	(+) 2.004 ± 0.054	(+) 1.200 ± 0.103	(+) 2.003 ± 0.070
XE5	(+) 0.728 ± 0.003	(+) 0.867 ± 0.041	(+) 1.438 ± 0.004	(+) 0.798 ± 0.010	(+) 1.221 ± 0.010

ตารางที่ 5 (ต่อ)

ชื่อแบนค์ที่เรีย	(ผลปฏิกิริยาต่อแอนติบอดี) ค่าเฉลี่ย O.D. 405 nm ¹ ± ค่าเบี่ยงเบนมาตรฐาน				
	IgG anti- MPC	IgG Anti-fixed cell	IgY anti- MPC	IgY anti- life cell	PathoScreen®
XE6	(+) 0.980 ± 0.043	(+) 1.049 ± 0.041	(+) 2.039 ± 0.100	(+) 1.271 ± 0.136	(+) 1.083 ± 0.050
XE7	(-) 0.224 ± 0.000	(+) 0.464 ± 0.002	(-) 0.343 ± 0.100	(-) 0.188 ± 0.004	(-) 0.115 ± 0.004
XE8	(+) 0.903 ± 0.040	(+) 1.022 ± 0.037	(+) 1.775 ± 0.071	(+) 0.900 ± 0.013	(+) 1.047 ± 0.130
XE9	(+) 1.067 ± 0.055	(+) 1.155 ± 0.029	(+) 2.1195 ± 0.023	(+) 1.286 ± 0.035	(+) 1.561 ± 0.140
XE11	(+) 0.095 ± 0.062	(+) 0.954 ± 0.031	(+) 2.106 ± 0.024	(+) 1.159 ± 0.018	(+) 1.225 ± 0.110
Y001	(+) 0.797 ± 0.019	(+) 0.870 ± 0.002	(+) 1.535 ± 0.049	(+) 0.935 ± 0.098	(+) 0.976 ± 0.060
W001	(-) 0.176 ± 0.001	(-) 0.435 ± 0.006	(+) 0.557 ± 0.006	(-) 0.137 ± 0.005	(-) 0.115 ± 0.004
ตัวเปรียบเทียบกลุ่มที่ 1 ²	0.134 ± 0.005	0.151 ± 0.004	0.151 ± 0.004	0.109 ± 0.004	Nd
ตัวเปรียบเทียบกลุ่มที่ 2 ³	0.113 ± 0.009	0.133 ± 0.001	0.098 ± 0.001	0.103 ± 0.020	0.119 ± 0.003 ³

¹ ค่าเฉลี่ยจาก 2 ช้ำ

² เป็นค่าที่ได้จากการทำปฏิกิริยาของเชื้อ *Pantoea stewartii* subsp. *stewartii* กับ Normal serum อัตราเจือจาง 1 ต่อ 200

³ เป็นค่าที่ได้จากการทำปฏิกิริยาของบ้าไฟฟอร์กับแอนติบอดีต่อเชื้อ *P. stewartii*

Nd ไม่ได้ทดสอบ, เครื่องหมาย + หรือ - หมายถึงผลปฏิกิริยาเป็นบวกหรือลบ โดยผลปฏิกิริยานว้มีค่ามากกว่าผลของตัวเปรียบเทียบกลุ่มอย่างน้อย 3 เท่า

ตารางที่ 6 ความไวของแอนติบอดี IgG anti-MPC IgG anti-fixed cell IgY anti-MPC และ IgY anti-life cell ต่อเชื้อ *P. stewartii* subsp. *stewartii* ด้วย
เทคนิค ELISA เปรียบเทียบกับชุดตรวจสอนสำเร็จรูป ELISA สำเร็จรูป PathoScreen®

ปริมาณเซลล์แบคทีเรียต่อ 50 ไมโครลิตร	(ผลปฏิกิริยาต่อแอนติบอดี) ค่าเฉลี่ย O.D. $405 \text{ nm}^1 \pm$ ค่าเบี่ยงเบนมาตรฐาน				
	IgG anti- MPC	IgG Anti-fixed cell	IgY anti-MPC	IgY anti-life cell	PathoScreen® Agdia kit
10^7	(+) 0.982 ± 0.063	(+) 1.030 ± 0.013	(+) 0.967 ± 0.027	(+) 1.001 ± 0.032	Nd
10^6	(+) 0.911 ± 0.058	(+) 0.884 ± 0.023	(+) 0.838 ± 0.011	(+) 0.793 ± 0.039	Nd
10^5	(+) 0.354 ± 0.015	(+) 0.726 ± 0.024	(-) 0.281 ± 0.013	(-) 0.301 ± 0.020	(+) 0.289 ± 0.013
10^4	(-) 0.127 ± 0.005	(-) 0.305 ± 0.009	(-) 0.115 ± 0.002	(-) 0.111 ± 0.005	(-) 0.124 ± 0.009
ตัวเปรียบเทียบลบ ²	0.113 ± 0.098	0.081 ± 0.001	0.108 ± 0.004	0.107 ± 0.002	$0.087^3 \pm 0.004$

¹ ค่าเฉลี่ยจาก 3 ช้ำ,

² เป็นค่าที่ได้จากการทำปฏิกิริยาของเชื้อ *Pantoea stewartii* subsp. *stewartii* กับ Normal serum อัตราเจือจาง 1 ต่อ 200

³ เป็นค่าที่ได้จากการทำปฏิกิริยาของบัฟเฟอร์กับแอนติบอดีต่อเชื้อ *P. stewartii*

เครื่องหมาย + หรือ – หมายถึงผลปฏิกิริยานั้นบวกหรือลบ โดยผลปฏิกิริยานั้นมีค่ามากกว่าผลของตัวเปรียบเทียบลบอย่างน้อย 3 เท่า

การเปรียบเทียบการตรวจเชื้อแบคทีเรียด้วยวิธีการ Direct-PCR วิธี Magnetic bead-PCR วิธี Ampli-disk PCR วิธี Real-time PCR และวิธีการ ELISA

จากการตรวจสอบพบว่าการใช้วิธี Ampli-disk PCR และวิธีการ Direct-PCR เป็นวิธีการที่สามารถตรวจสอบเชื้อแบคทีเรียโดยการใส่เชื้อแบคทีเรียที่รู้ปริมาณที่แน่นอนได้ที่มีปริมาณเซลล์ต่ำสุดเฉลี่ยจาก 3 ชั่วโมง ในระดับ 1 cfu (ภาพที่ 13 ก และ ค) โดยวิธีการ Direct-PCR เห็นเป็นแถบดีอีน่อนางๆ ในปฏิกิริยาที่ 1 cfu ในขณะที่วิธีการ Ampli-disk PCR เห็นแถบดีอีนอย่างชัดเจน ส่วนวิธีการเทคนิค magnetic bead-PCR ตรวจสอบได้ใน 100 cfu (ภาพที่ 13 ข) และวิธีการ ELISA ด้วย PathoScreen® สำหรับเชื้อ *Pantoea stewartii* ได้ 1.0×10^5 cfu ดังสรุปในตารางที่ 7

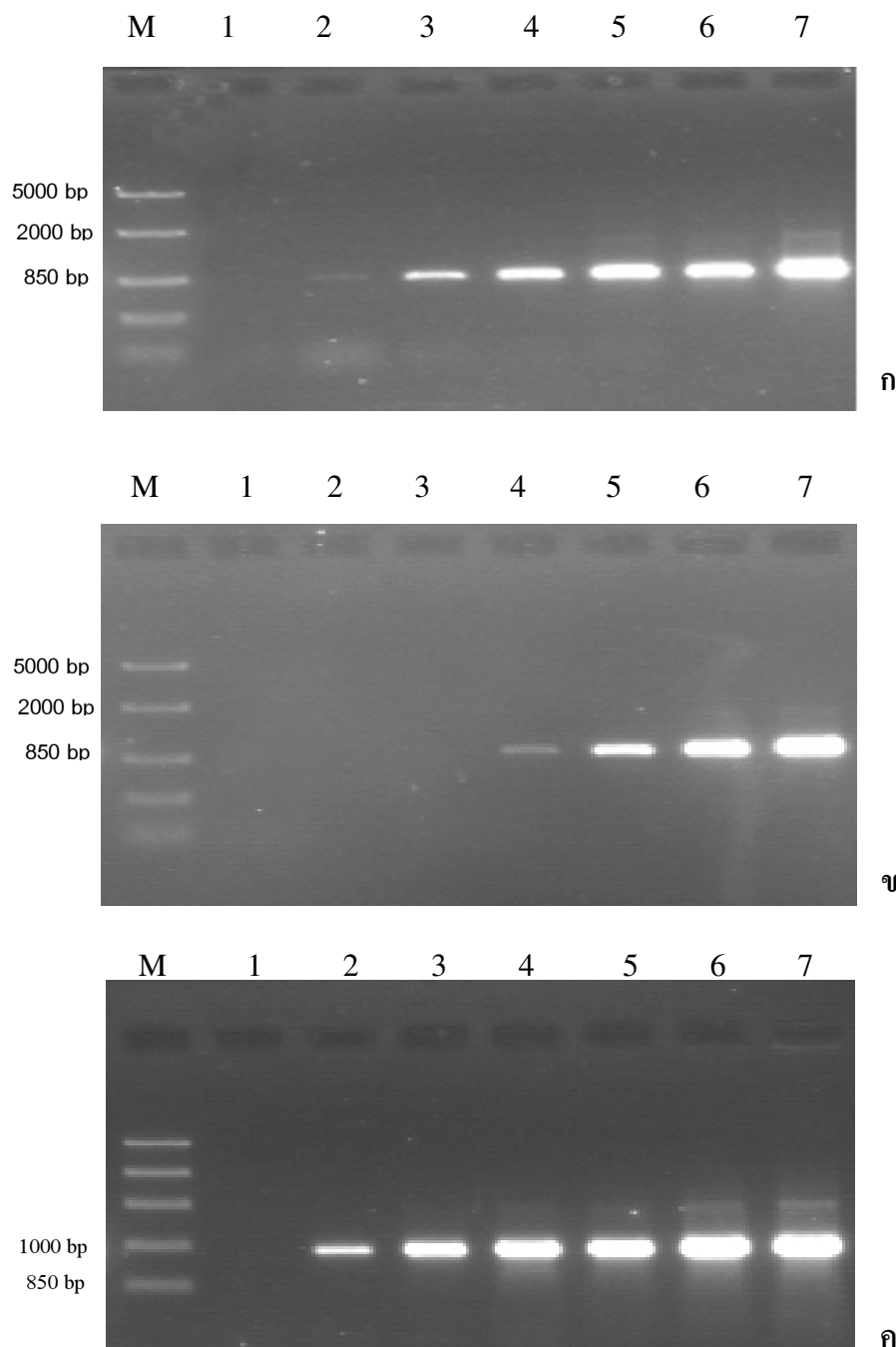
วิธีการ Real-time PCR ทำปฏิกิริยาด้วยคู่ไพร์เมอร์ที่จำเพาะต่อยีน *hrpS* พบว่ามีความจำเพาะต่อเชื้อ *Pantoea stewartii* subsp. *stewartii* LMG2715^T เท่านั้น (ภาพที่ 14) จากการทดสอบกับเชื้อแบคทีเรียในจินตสไกล์เดียง *Erwinia carotovora* subsp. *carotovora* *E. chrysanthemi* และ *Escherichia coli* แบคทีเรียต่างสปีชีส์ *Pantoea agglomerans* สามสายพันธุ์ 4633 และ 4045 รวมทั้งเชื้อแบคทีเรียที่แยกได้จากข้าวโพดในประเทศไทยสายพันธุ์ XE และ Y โดยไม่พบปฏิกิริยาของสารเรืองแสงจากการทำปฏิกิริยากับแบคทีเรียดังกล่าว พบเฉพาะปฏิกิริยาจากการทดสอบด้วยเชื้อ *Pantoea stewartii* subsp. *stewartii* LMG2715 และจากการทดสอบความไวในการทำปฏิกิริยาพบว่าสามารถตรวจสอบเซลล์ได้ต่ำสุดประมาณ 10 เซลล์ (ภาพที่ 15 ก และตารางที่ 7) โดยเกิดปฏิกิริยาของสารเรืองแสงตัดกับ threshold line ในรอบที่ 34 ของการทำปฏิกิริยา โดยการทำปฏิกิริยาของเซลล์จำนวน 1 เซลล์นั้นเกิดปฏิกิริยาต่ำกว่าค่าของปฏิกิริยาที่ได้จากตัวควบคุม (NTC) เมื่อนำจำนวนรอบของการทำปฏิกิริยามาสร้างกราฟร่วมกับจำนวนแบคทีเรียเพื่อตรวจสอบสร้างกราฟมาตรฐาน พบว่ากราฟเส้นตรงที่ได้มีค่าความชัน (R^2) 0.993 (ภาพที่ 15 ข) และเมื่อตรวจสอบผลผลิตของพีซีอาร์ด้วยค่า melting temperature โดยพบเพียงเส้นกราฟที่เกิดยอดมาตรฐานเพียงยอดเดียว มีค่า 84.2°C (ภาพที่ 15 ค)

ตารางที่ 7 เปรียบเทียบความไวในการตรวจส่วนเชื้อแบคทีเรีย *Pantoea stewartii* subsp. *stewartii* จากสารแขวนคลอยเซลล์ที่มีปริมาณเชื้อระดับต่างๆ ด้วยวิธีการ direct-PCR Magnetic bead-PCR Real-time PCR Ampli-disk PCR โดยมียีน *hrpS* เป็นยีนเป้าหมาย และการตรวจด้วยเทคนิค ELISA จากชุดตรวจสำหรับ PathoScreen®

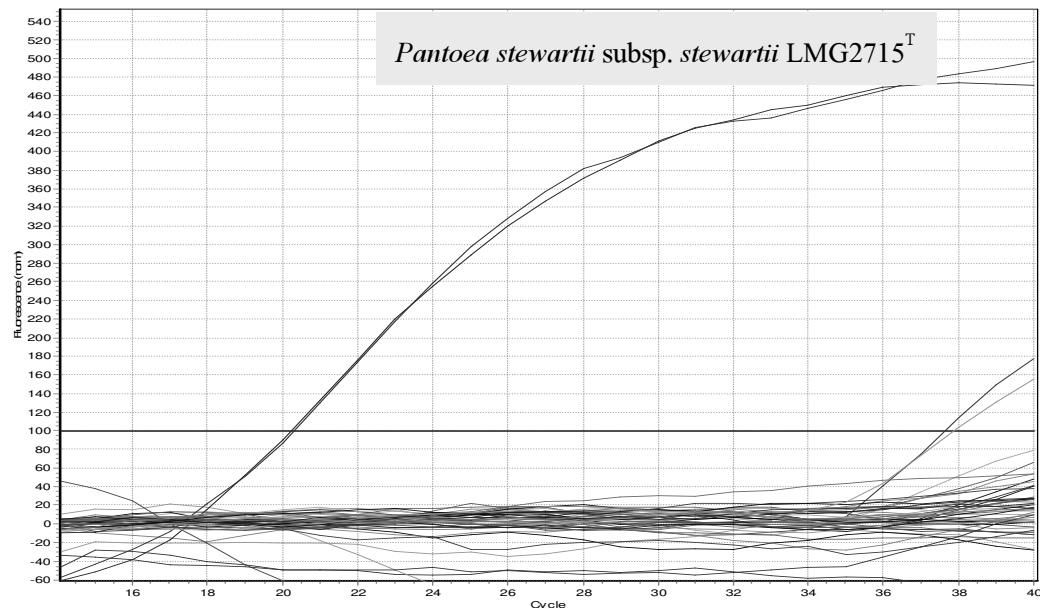
ปริมาณเชลล์ (1.3 cfu)	Direct- PCR	Magnetic bead -PCR	Real-time PCR	Ampli-disk PCR	PathoScreen® ELISA ¹
10^5	+	+	+	+	+ (0.289 ± 0.013)
10^4	+	+	+	+	- (0.124 ± 0.009)
10^3	+	+	+	+	- (0.083 ± 0.004)
10^2	+	+	+	+	- (0.094 ± 0.007)
10	+	-	+	+	Nd
1	+	-	-	+	Nd

¹ ปฏิกริยาที่ให้ผลบวกมีค่ามากกว่าตัวเปรียบเทียบลบอย่างน้อย 3 เท่า (0.087 ± 0.004)

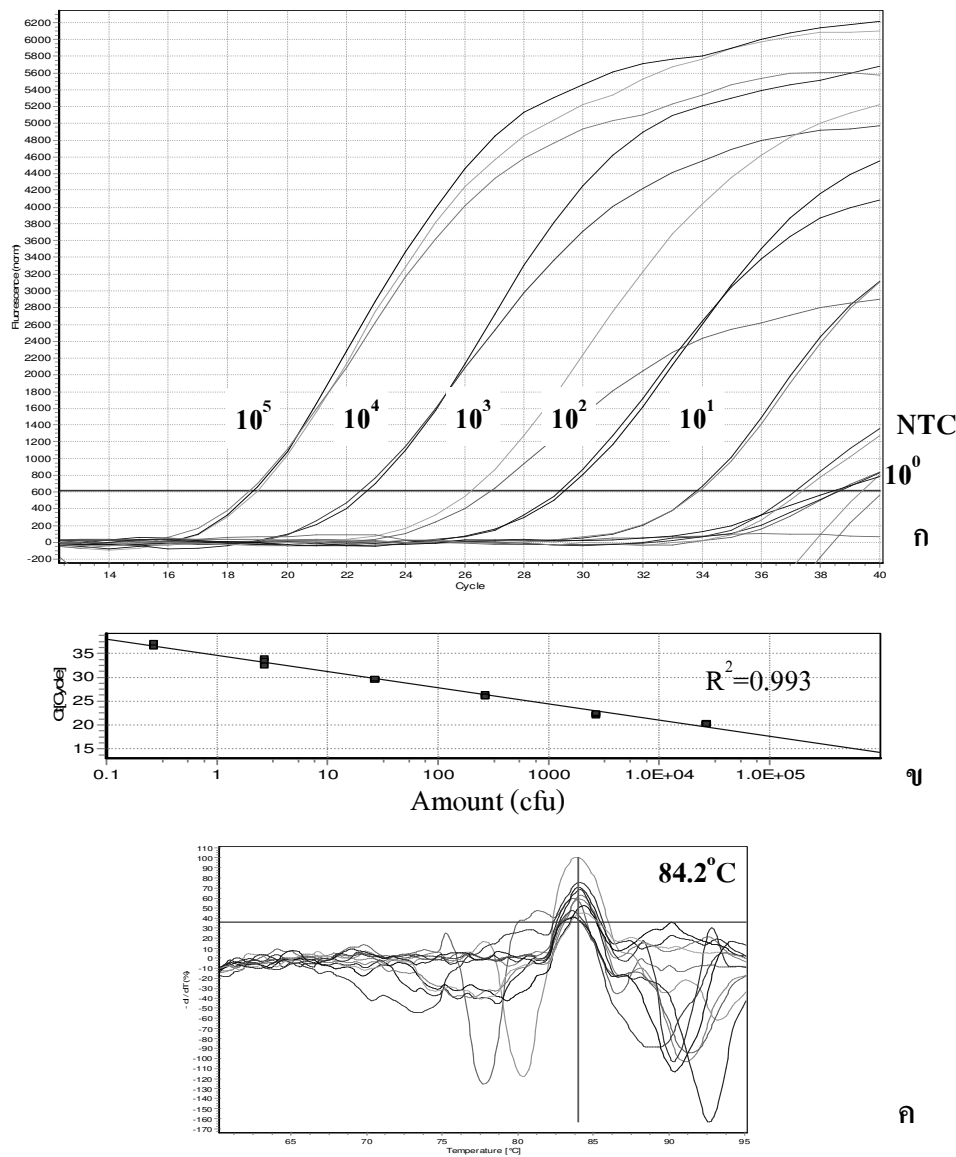
Nd หมายถึง ไม่ได้ทดสอบ



ภาพที่ 13 เจลอิเลคโทร โฟร์ซิสเปรียบเทียบความไวในการตรวจสอบเชื้อแบคทีเรีย *Pantoea stewartii* subsp. *stewartii* LMG2715^T เมื่อมีปริมาณเชื้อแบคทีเรียระดับต่างกันด้วยเทคนิค PCR โดยมี *hrpS* เป็นยีนเป้าหมาย ก. วิธี Direct-PCR ข. วิธี Magnetic bead -PCR ค. วิธี Ampli-disk PCR M หมายถึง DNA Ladder ช่องที่ 1 ตัวอย่างที่ไม่มีเชื้อแบคทีเรีย ช่องที่ 2-7 หมายถึง แบคทีเรียในปริมาณเชลล์เริ่มต้นในการทดลองในแต่ละวิธี จำนวน 1×10^2 10^3 10^4 และ 10^5 (cfu) ตามลำดับ



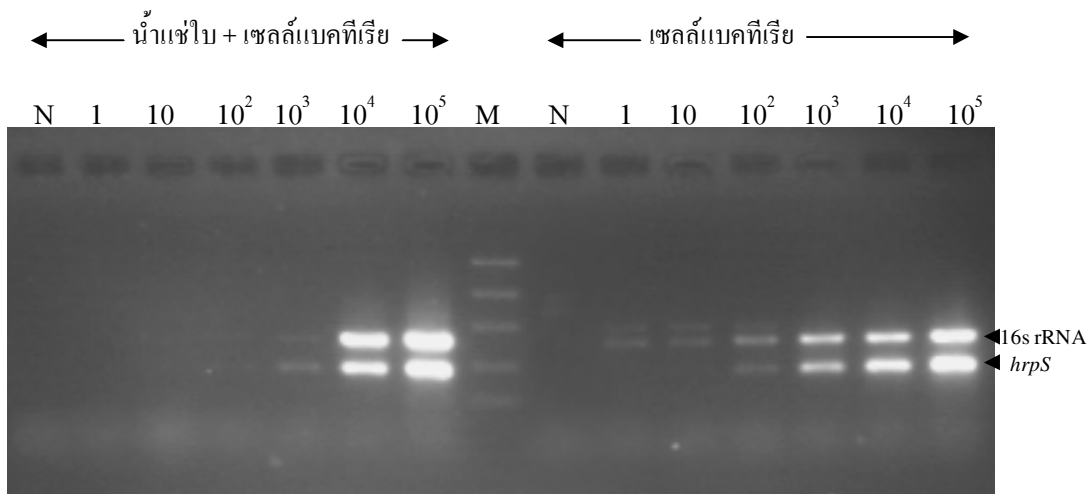
ภาพที่ 14 ความจำเพาะของคุณพาร์เมอร์ต่อสิน *hrpS* ด้วยเทคนิค Real-time PCR โดยทดสอบ
ปฏิกิริยาต่อเชื้อแบคทีเรีย *Pantoea stewartii* subsp. *stewartii* LMG2715^T
P. agglomerans 4633 และ 4045 *Erwinia chrysanthemi* *E. carotovora* subsp.
carotovora *Escherichia coli* เชื้อแบคทีเรียที่แยกจากข้าวโพดสายพันธุ์ XE1 2 3 4 5
6 7 8 9 11 และ Y001



ภาพที่ 15 ความไวของการตรวจสอบเชื้อแบนค์ทีเรีย *Pantoea stewartii* subsp. *stewartii* ด้วยเทคนิค Real-time PCR โดยมียีน *hrpS* เป็นยีนเป้าหมาย ก. กราฟแสดงความเข้มของสัญญาณแสงและจำนวนรอบการทำปฏิกิริยาตรวจสอบเชลล์ปริมาณ 10^5 ถึง 1 cfu และ NTC (non template control) ข. กราฟมาตรฐานระหว่างรอบการทำปฏิกิริยาและปริมาณเชลล์ ค. กราฟแสดงค่า T_m ของผลผลิตของ real-time PCR ต่อ yีน *hrpS*

การตรวจสอบเชื้อแบคทีเรียในพืช

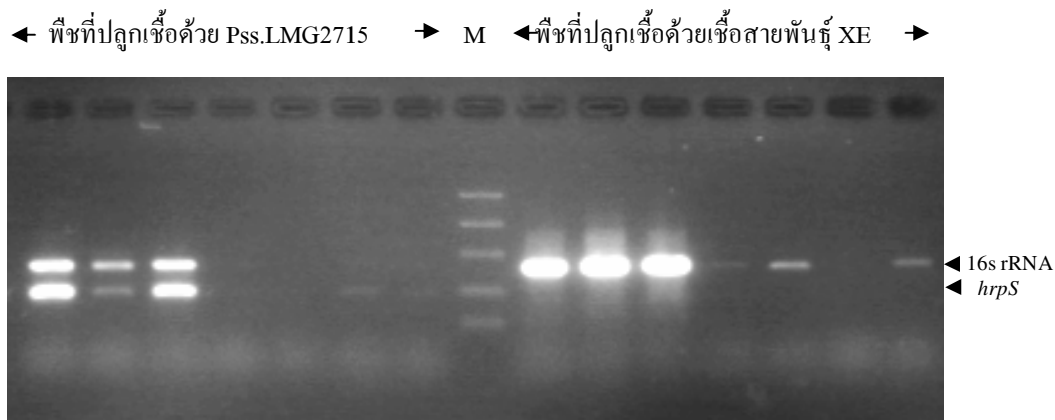
การตรวจสอบเชื้อแบคทีเรียที่ความเข้มข้นต่างๆ เมื่อผสมกับน้ำแข็งในข้าวโพดพบว่า สามารถตรวจสอบเชื้อแบคทีเรียที่ต่ำสุดเฉลี่ยจาก 3 ซ้ำ 6×10^2 (แยกบาง กาวที่ 16 ด้านซ้าย) ถึง 10^3 cfu/ปฏิกริยา สามารถตรวจໄດ້ไวเพิ่มขึ้น 10 - 100 เท่า เมื่อเปรียบเทียบกับการตรวจสอบเชื้อแบคทีเรียโดยตรงจากเซลล์ (กาวที่ 16 ด้านขวา)



กาวที่ 16 เจลオリโตรฟริชสแสดงความไวของการตรวจสอบเชื้อ *Pantoea stewartii* subsp. *stewartii* ที่ผสมกับน้ำแข็งในข้าวโพด เปรียบเทียบกับการตรวจสอบเชื้อจากเซลล์โดยตรง ด้วยเทคนิค PCR โดยมียีน *hrpS* เป็นยีนเป้าหมาย

การตรวจสอบเชื้อแบคทีเรียจากตัวอย่างในข้าวโพดที่ปลูกเชื้อ

จากการตรวจสอบพืชที่ปลูกเชื้อ *Pantoea stewartii* subsp. *stewartii* LMG2715^T และเชื้อสายพันธุ์ XE หลายๆ สายพันธุ์ ตรวจเชื้อด้วยวิธีการ PCR พบว่าสามารถตรวจสอบเชื้อแบคทีเรียได้โดยพบตัวอย่างที่ให้ผลปฏิกิริยาเป็นบวก 6 จาก 7 ตัวอย่าง (กาวที่ 17 ด้านซ้าย) ในขณะที่เมื่อตรวจสอบพืชที่ปลูกเชื้อสายพันธุ์ XE ไม่สามารถพบเกบคีอีนเอที่จำเพาะต่อ *hrpS* ยีน พนекพะ แยกคีอีนของ 16s rDNA เท่านั้น (กาวที่ 17 ด้านขวา) ในทุกตัวอย่างที่ตรวจสอบ



ภาพที่ 17 เจดอิเดค โทร โฟร์ซีสแสดงการตรวจสอบใบข้าวโพดหวานสายพันธุ์อินทรี 2 ที่ปลูกเชื้อด้วย *Pantoea stewartii* subsp. *stewartii* LMG2715^T (ด้านซ้าย) และข้าวโพดที่ปลูกเชื้อด้วยสายพันธุ์ XE (ด้านขวา) ด้วยเทคนิค PCR โดยตรวจสอบยืน *hrpS* เป็นยืนเป้าหมาย

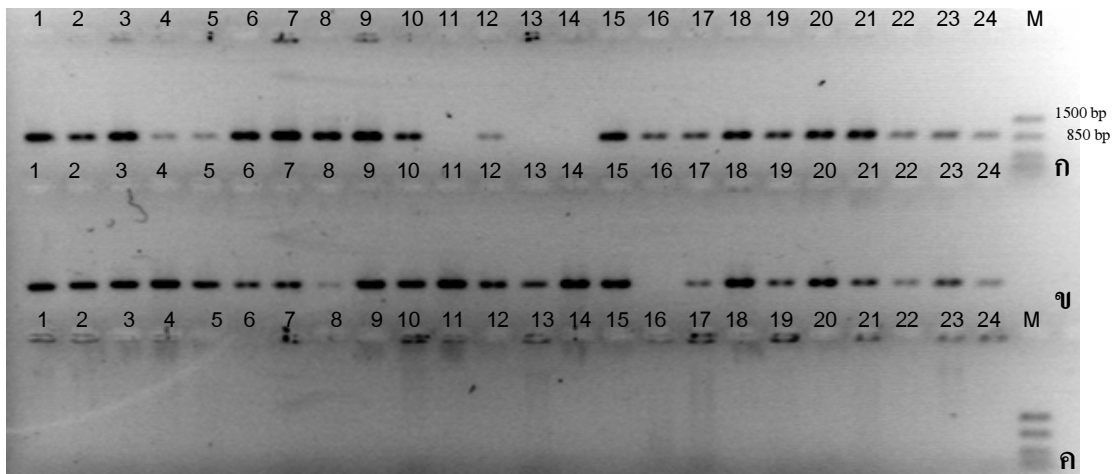
การตรวจสอบเชื้อแบนคที่เรียกในเมล็ดข้าวโพด

วิธีการปลูกเชื้อ *Pantoea stewartii* subsp. *stewartii* ในเมล็ดข้าวโพด

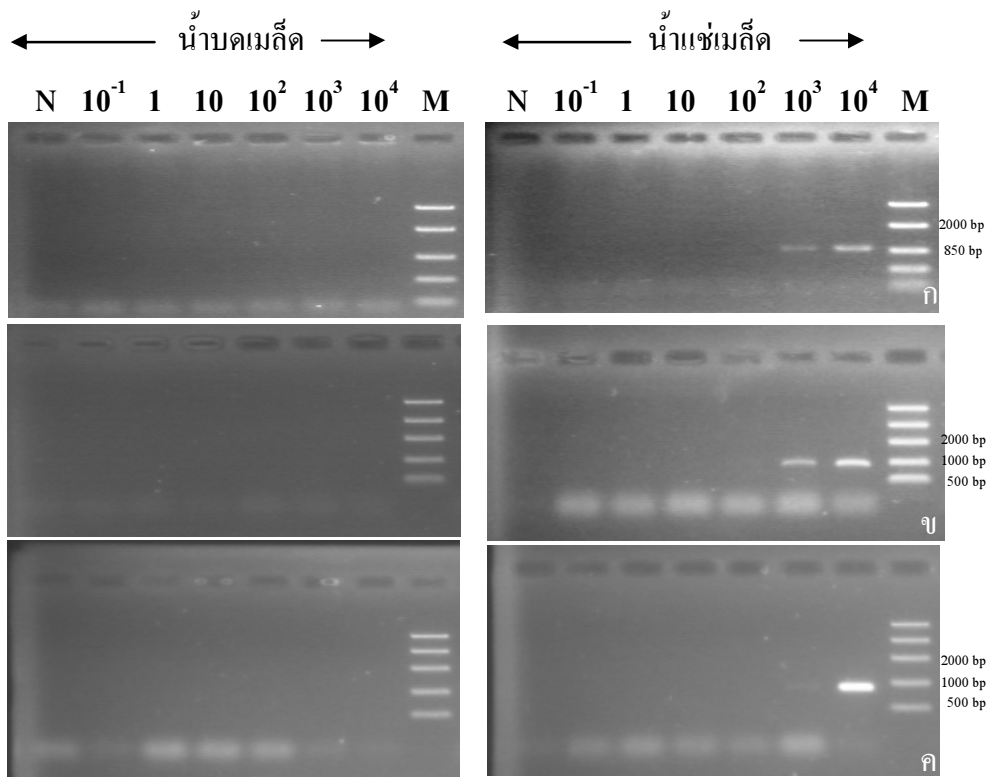
จากการทำการปลูกเชื้อ *Pantoea stewartii* subsp. *stewartii* ในเมล็ดข้าวโพด (artificial seed inoculation) พบว่าเมื่อสุ่มเมล็ดที่ทำการปลูกเชื้อมาทดสอบด้วยปฏิกิริยา PCR จำนวน 3 ชั้้า ให้ผลการทดสอบ เมล็ดที่ให้ผลบวก/จำนวนเมล็ดทดสอบ เป็น 98/102 101/108 และ 45/46 ซึ่งมีค่าเฉลี่ยของเปอร์เซ็นต์การปลูกเชื้อเฉลี่ย 95.8% และการทดสอบเมล็ดที่ใช้น้ำเป็นสารแχ่เมล็ดเป็นตัวเบรย์บเที่ยบความคุณภาพว่า เมล็ดที่ให้ผลบวก/จำนวนเมล็ดทดสอบ เป็น 0/102 0/115 0/118 คิดเป็น 0% ดังแสดงด้วยอย่างในภาพที่ 18

เมื่อทดสอบความไวของวิธีการตรวจสอบเชื้อแบนคที่เรียกที่รู้ปริมาณที่แน่นอนร่วมกับน้ำบดเมล็ด และน้ำ霞เมล็ดด้วยวิธีการบนพื้นฐานเทคนิค PCR ดังแสดงในภาพที่ 19 ซึ่งวิธีการ direct-PCR Magnetic bead PCR สามารถตรวจสอบเชื้อที่ผสมร่วมกับน้ำ霞เมล็ด เมื่อเซลล์มีปริมาณ 10^3 cfu ต่อปฏิกิริยา และเมื่อตรวจสอบด้วยเทคนิค Ampli-disk PCR สามารถตรวจสอบเชื้อที่ผสมร่วมกับน้ำ霞เมล็ด ได้เมื่อเซลล์ปริมาณ 10^4 cfu ต่อปฏิกิริยา แต่พบแถบดีเอ็นเอเป็นแถบบางๆ เมื่อมีปริมาณ

เชื้อ 10^3 cfu ต่อปั๊กิริยา (ภาพที่ 19 ค) ในขณะที่เมื่อตรวจสอบด้วยวิธีการเดียวกันแต่ผสมกับน้ำบด เมล็ดไม่พบແບບดีอี็นเอไดๆ อย่างไรก็ตามจากการทดลองซ้ำหลายครั้งด้วยวิธีการ Ampli disk-PCR พบว่าให้ผลที่ไม่สม่ำเสมอ จึงจัดเป็นวิธีการที่ไม่เหมาะสมในการนำมาใช้ตรวจสอบ



ภาพที่ 18 เอกอิเลคโทรฟอริซส์แสดงผลการทดสอบเมล็ดข้าวโพดหวานสายพันธุ์อินทรี 2 ที่ปูก เชื้อ *Pantoea stewartii* subsp. *stewartii* LMG2715^T ด้วยวิธีการใช้สุญญากาศและตรวจสอบด้วยเทคนิค PCR โดยไพร์เมอร์จำเพาะต่อยีน *hrpS* (900 bp) ช่องที่ 1- 24 ในแกร่ง และ เป็นเมล็ดที่ปูก เชื้อ และ ช่องที่ 1-24 ในแกร่ง เป็นเมล็ดที่แช่ PBS เป็นตัวเปรียบเทียบ M เป็น DNA ladder



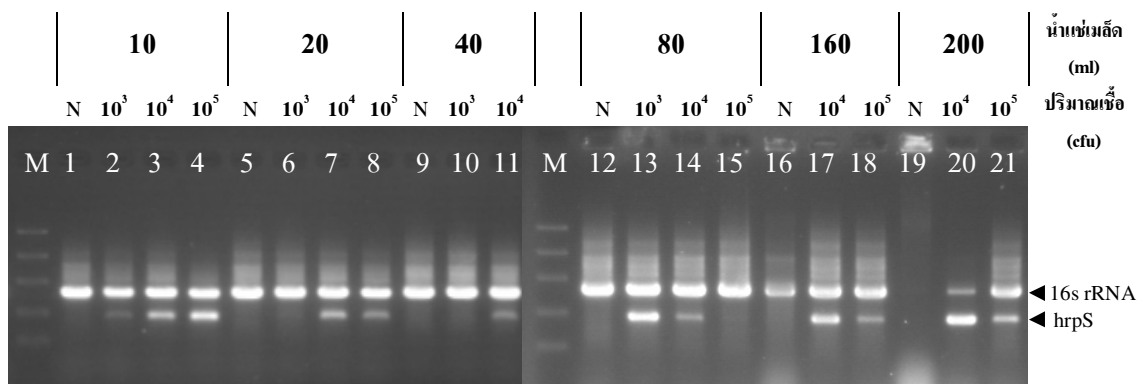
ภาพที่ 19 เจลオリโกร์ฟิซีส์แสดงการตรวจสอบเชื้อแบคทีเรีย *Pantoea stewartii* subsp. *stewartii* ที่มีปริมาณเชื้อต่ำกว่า 10⁴ cfu/ml บน พสมร่วมกับนำบดเมล็ด (ด้านซ้าย) หรือนำแข่นเมล็ด (ด้านขวา) ด้วยเทคนิค PCR ตรวจยืนยัน *hrpS* (900 bp) ด้วยวิธีการ (ก) direct-PCR (ง) Magnetic-PCR และ (จ) Ampli-disk PCR N หมายถึง นำบดหรือนำแข่นเมล็ดที่ไม่มีแบคทีเรีย M หมายถึง DNA ladder ตัวเลขด้านบนแสดงปริมาณเชื้อแบคทีเรีย (cfu)

การตรวจสอบหาปริมาณสารแช่เมล็ดที่เหมาะสมในการตรวจสอบเชื้อ

เมื่อนำเซลล์แบบคที่เรียกว่าปริมาณที่แน่นอนผสมร่วมกับน้ำเช่นเมล็ด ในอัตราปริมาตรน้ำเช่นเมล็ดต่างๆ กัน ซึ่งจะส่อไปถึงปริมาณของกองเมล็ดตั้งต้น โดยในการทดลองนี้จะทำการแช่เมล็ดด้วยน้ำอัตราเมล็ด 100 เมล็ดต่อน้ำ 30 มิลลิลิตร ดังนั้นเพื่อหาปริมาณกองเมล็ด (Sampling size) ที่เหมาะสมและยังสามารถตรวจปฎิกริยาได้ รวมถึงความไวของการตรวจเมื่อมีขนาดกองเมล็ดที่ต่างกัน โดยพบว่าน้ำเช่นเมล็ด 10 ถึง 20 มิลลิลิตร หรือเทียบเท่ากองเมล็ดขนาดประมาณ 33 ถึง 66 เมล็ด และ 40 80 160 200 มิลลิลิตร หรือเทียบเท่ากองเมล็ดขนาดประมาณ 133 266 532 และ 666 เมล็ด ดังนั้นหากแช่เมล็ดในอัตราดังกล่าว เริ่มตั้งแต่การตรวจเมล็ดที่ 33 เมล็ด ถึง 66 เมล็ด จะสามารถตรวจพบแบบคที่เรียกว่าเมื่อมีปริมาณเซลล์ตั้งแต่ 10^3 cfu แต่เมื่อมีกองเมล็ดที่ใหญ่ขึ้นตั้งแต่ 133 266 532 และ 666 เมล็ดสามารถตรวจพบแบบคที่เรียกว่าเมื่อมีปริมาณเซลล์ตั้งแต่ 10^4 cfu ดังในภาพที่ 20 ดังนั้นหากมีการแบ่งกองเมล็ดเป็นกองเล็กๆ ที่เป็นขนาดที่เหมาะสมในการนำมาระบุ ด้วยวิธี direct-PCR สามารถแบ่งขนาดกองได้เป็นกองที่มีเมล็ดประมาณตั้งแต่ 30 ถึง 650 เมล็ด และจากการสังเกตพบว่าการตรวจเมล็ดแบบไม่แบ่งกองตั้งแต่จำนวนเมล็ดมากกว่า 666 เมล็ดขึ้นไปจะมีการปนเปื้อนจากผุนผงเปื้องและเศษชาภานาดเล็กจนอาจไปรบกวนปฏิกริยาการทำ PCR ได้

ความไวของการตรวจสอบการปนเปื้อนของเมล็ดของเมล็ดติดเชื้อในกองเมล็ดพันธุ์

เมื่อตรวจสอบเชื้อที่ปนเปื้อนในกองเมล็ดพันธุ์ที่ปอร์เซนต์ต่างๆ กัน พบร่วมกับการตรวจแบบตรวจทั้งกองใหญ่ในกองเมล็ดพันธุ์ที่มีอัตราปนเปื้อนเชื้ออัตรา 0.02% (1 เมล็ดใน 5,000 เมล็ด) สามารถตรวจสอบเชื้อได้ 33% โดยพบตัวอย่างที่ให้ผลบวก 1 ใน 3 ชั้้ แต่เมล็ดปนเปื้อนอัตรา 0.0125 (1/5,000) 0.01 (1/10,000) และ 0.007 (1/13,000) ไม่พบตัวอย่างที่ให้ผลบวกจากการทดลองทั้งหมด 3 ชั้้ แต่เมื่อมีการตรวจแบบแบ่งกองเมล็ดพันธุ์เป็นกองย่อย กองละ 500 เมล็ด สามารถเพิ่มประสิทธิภาพของการตรวจมากขึ้น ที่อัตราการปนเปื้อน 0.02% สามารถตรวจสอบได้ 83% โดยผลการตรวจให้ผลบวก 5 ใน 6 ตัวอย่าง และเมล็ดปนเปื้อนอัตรา 0.0125 0.01 และ 0.007 สามารถตรวจได้ 33% พบร่วมตัวอย่างที่ให้ผลบวก 1 ใน 3 ตัวอย่าง ดังแสดงในตารางที่ 8 ซึ่งแสดงให้เห็นว่าวิธีการนี้มีความไวในการตรวจสอบเชื้อในกองเมล็ดพันธุ์ได้สูงมาก



ภาพที่ 20 เจลอิเดคโทาร์ ไฟริชส์แสดงการตรวจสอบเชื้อ *Pantoea stewartii* subsp. *stewartii* LMG2715^T ด้วยเทคนิค PCR ที่ เชื้อในปริมาณต่างๆ (10^3 - 10^5 cfu) ผสมร่วมกับน้ำแข็งเมล็ดข้าวโพดปริมาตรต่างกัน (10-200 มิลลิลิตร) โดยตรวจยืนยัน *hrpS* เป็นยืนยันป้าหมาย ของ M หมายถึง DNA Ladder ของ N หมายถึง ตัวอย่างเปรียบเทียบควบคุม ไม่มีเชื้อแบนคทีเรีย

ตารางที่ 8 การตรวจสอบเชื้อแบคทีเรียในกองเมล็ดพันธุ์ที่ป่นเป็นปีอนเมล็ดที่ติดเชื้อ *Pantoea stewartii* subsp. *stewartii* LMG2715^T ที่ระดับต่างๆ ด้วยวิธีการ PCR แบบไม่แบ่งกอง เมล็ดพันธุ์และแบบแบ่งกองเมล็ดพันธุ์

เมล็ด ป่นเป็น (%)	จำนวนเมล็ดป่นเป็น/ เมล็ดทั้งหมด	ผลการตรวจ (ช้ำที่ให้ผลบวก/ช้ำที่ตรวจทั้งหมด)	
		แบบไม่แบ่งกองเมล็ด ¹	แบบแบ่งกองเมล็ด ²
0.02	1/5,000	1/3	5/6
0.0125	1/8,000	0/3	1/3
0.010	1/10,000	0/3	1/3
0.007	1/13,000	0/3	1/3

¹ จำนวนเมล็ดที่ใช้ในการตรวจทั้งหมดต่อช้ำเป็น 5,000 8,000 10,000 และ 13,000 เมล็ด ในเมล็ดป่นเป็น 0.02 0.0125 0.010 และ 0.007% ตามลำดับ

² จำนวนเมล็ดที่ใช้ในการตรวจทั้งหมดต่อช้ำเป็น 5,000 8,000 10,000 และ 13,000 เมล็ด ในเมล็ดป่นเป็น 0.02 0.0125 0.010 และ 0.007% ตามลำดับ โดยแบ่งเมล็ดเป็นกองย่อย กองละ 500 เมล็ด

วิจารณ์

จากการตรวจสอบเชื้อแบคทีเรียโดยวิธีมาตรฐานได้แก่ การเลี้ยงเชื้อบนอาหารทั่วไปเพื่อตรวจสอบลักษณะโโคโลนี และเดี่ยงบนอาหารคัดเกือกจำพวก Nigrosine medium ซึ่งจากการทดลองพบว่าเชื้อแบคทีเรียที่แยกได้จากข้าวโพดในประเทศไทย เมื่อเปรียบเทียบกับเชื้อ *Pantoea stewartii* subsp. *stewartii* LMG2715^T นั้น เมื่อเดี่ยงในอาหาร NA มีลักษณะโโคโลนี และสีเหลืองที่คล้ายกันในช่วงวันแรกแต่เมื่อเชื้อแบคทีเรียนิ่ำอายุย่างน้อย 3 วันจะจะพบความแตกต่างของรูปร่างโโคโลนี ซึ่งจะพบว่ามีการยุบตัวลงกลางของโโคโลนี อย่างไรก็ตามเมื่อเปรียบเทียบอัตราการเจริญบนอาหารพบว่าเชื้อ *P. stewartii* subsp. *stewartii* มีอัตราการเจริญช้า ซึ่งจากการแยกเชื้อจากใบข้าวโพดหรือเมล็ดที่ปลูกเชื้อด้วย *P. stewartii* subsp. *stewartii* และนำน้ำแข็งใบข้าวโพดหรือน้ำแข็ง เมล็ดมาเลี้ยงด้วยอาหารเหลว หรืออาหารแข็งอีกรังส์พบเชื้อแบคทีเรียนิดอื่นขึ้นคลุมได้ง่าย และทำให้ยากแก่การตรวจสอบเชื้อแบคทีเรียด้วยวิธีการ PCR และจากคุณสมบัติการใช้แหล่งคาร์บอนนั้นจดคลุมเชื้อสายพันธุ์ XE และ Y001 ไว้รวมกับเชื้อ *Pantoea agglomerans* ซึ่งเชื้อแบคทีเรียนิดนี้สามารถตอบได้ทั่วไปจากพื้นผิวพืช และเมล็ด (Mergaert *et al.*, 1993) นอกจากนี้การเลี้ยงเชื้อบนอาหารคัดเกือกจำพวก Nigrosine medium นั้น ผลการทดลองพบว่าเชื้อชนิดอื่นสามารถเจริญได้บนอาหารชนิดนี้ได้เช่นกัน ให้ผลทดสอบคล้องกับการทดลองของ Blakemore *et.al.* (1999) ที่พบว่าเชื้อ *Erwinia herbicola* *E. chrysanthemi* *Erwinia* sp. สามารถเจริญบนอาหารชนิดนี้ได้ ซึ่งแสดงให้เห็นว่าอาหารชนิดนี้ไม่มีคุณสมบัติเป็นอาหารคัดเกือกจำพวก และอาหารชนิดนี้ยังมีลักษณะเป็นพื้นสีดำทำให้สังเกตลักษณะโโคโลนีได้ยากแล้ว อาหารนี้ยังไม่เป็นอาหารที่ส่งเสริมให้เชื้อ *P. stewartii* subsp. *stewartii* เจริญได้ดีอีกด้วยที่ต้องใช้เวลาประมาณห้าวันในการเจริญบนอาหารชนิดนี้ และโโคโลนียังมีขนาดเล็กจนยากแก่การสังเกต และลักษณะตากบที่ปรากฏจะคงอยู่ไม่นาน โดยโโคโลนีจะดูดสีเข้าไปในตระกูลอาหารโโคโลนีเมื่อโโคโลนีมีอายุนานขึ้น ในขณะที่เชื้อสายพันธุ์ XE Y และ W จะมีโโคโลนีขนาดใหญ่กว่าในเวลา 2 วัน และแสดงลักษณะตากบ เช่นกัน

การใช้วิธีการตรวจสอบจุลินทรีย์ที่ก่อให้เกิดโรคด้วยวิธีการทดสอบปฏิกิริยา

Hypersensitive response บนยาสูบนั้น ถึงแม้ว่าเชื้อ *P. stewartii* subsp. *stewartii* จะมีรายงานว่าเป็นเชื้อแบคทีเรียมียืน *hrp* สามารถทำให้เกิดอาการแพ้แพ้ทางเดียวอย่างรวดเร็วนายาสูบ โดยการเลี้ยงในอาหาร minimal medium ก่อน หรือกระตุ้นให้ยืน *hrpS* มีการแสดงออกของยืนอย่างต่อเนื่องเท่านั้น อย่างไรก็ตามถึงแม้จะเลี้ยงเชื้อแบคทีเรียในสภาพที่เหมาะสมก่อนการปลูกเชื้อในยาสูบ (Ahmad *et*

*al., 2001) แต่พบว่าการเกิดปฏิกิริยานี้เกิดขึ้นเพียงประมาณ 80% ของเชื้อแบคทีเรียชนิดนี้ (Coplin *et al., 2002)**

Hrp (type III secretion system) ทำหน้าที่เกี่ยวข้องกับการขนส่งสารออกอุเชลล์ในเชื้อแบคทีเรียแกรมลบหลายชนิด โดยมีชุดยีน *hrp* ได้แก่ *hrpJ hrpA* และ *hrpC* เป็นยีนทำหน้าที่เป็น functional gene และ *hrpXY hrpS* และ *hrpL* ทำหน้าที่เป็น regulatory gene และ *hrpN* ทำหน้าที่กระตุ้นการเกิดปฏิกิริยา hypersensitive response ในพืชที่ไม่ใช่พืชอาศัย ซึ่งเมื่อเปรียบเทียบ ลำดับนิวคลีโอไทด์ และกรดอะมิโน ของยีนแต่ละยีน โดยพบว่า *hrpS* ซึ่งมีความจำเพาะต่อเชื้อ *Pantoea stewartii* subsp. *stewartii* ดังแสดงในผลการทดลองนี้ เมื่อเปรียบเทียบกับเชื้อ *Erwinia herbicola* pv. *gypsophilae* มีลำดับนิวคลีโอไทด์และลำดับกรดอะมิโนของยีนนี้เหมือนกัน 77 และ 79.5% ตามลำดับ โดย *hrpS* สามารถทำให้ *E. herbicola* pv. *gypsophilae* สร้างโปรตีน Harpin ที่ทำปฏิกิริยาได้กับ anti-harpin ที่ผลิตจากเชื้อ *P. stewartii* subsp. *stewartii* ได้ (Mor *et al., 2001*) นอกจากนี้ยังมียีนที่มีตำแหน่งติดกับชุดยีนนี้คือ *wtsE* และ *wtsF* โดยพบว่าถ้ามีการกลายพันธุ์ของยีน *wtsE* จะทำให้เชื้อสูญเสียความสามารถทำให้เกิดโรคแต่ไม่มีผลกับการกระตุ้นให้เกิดปฏิกิริยา Hypersensitive response และ *wtsF* ทำหน้าที่เป็น chaperone ของยีน *wtsE* ซึ่งเป็นยีนที่มีความสำคัญในการเกิดอาการจุดดำน้ำในพืช โดยนำยีนนี้ตัดต่อเข้าไปใน *Escherichia coli* ตัดต่อเข้ากับส่วน Hrp secretion system ของ *Erwinia chrysanthemi* แล้วสามารถทำให้พืชเกิดอาการจุดดำน้ำได้ นอกจากนี้ *WtsE* และ *WtsF* ซึ่งเป็นโปรตีนที่มีลำดับกรดอะมิโนคล้ายกับ *AvrE1* และ *AvrF* ของเชื้อ *Pseudomonas syringae* pv. *tomato* และ *DspA/E* และ *DspB/F* จาก *E. amylovora* โดยพบว่า *DspA/E WtsE* และ *AvrE1* จัดอยู่ใน AvrE family โปรตีนที่เป็นโปรตีนอนุรักษ์ในเชื้อแบคทีเรียหลายชนิด (Ham *et al., 2006*) ดังนั้นจึงคาดว่าการเกิดอาการจุดดำน้ำโดยเชื้อสายพันธุ์ XE และ Y นั้น อาจ เพราะเป็นเชื้อสายพันธุ์ใกล้ชิดกับเชื้อ *Pantoea stewartii* subsp. *stewartii* นั้น และมีกลไกของโปรตีนที่ทำหน้าที่ดังกล่าว (Ahmad *et.al., 2001*)

การเกิดจุดดำน้ำบริเวณแหล่งที่ปลูกอาจเป็นสาเหตุในข่าวโพดร่วมทั้งการตรวจพยัน *cpsD* ในเชื้อสายพันธุ์ XE และ Y001 และมีลำดับนิวคลีโอไทด์คล้ายกับเชื้อ *Pantoea stewartii* subsp. *stewartii* นั้น อาจอธิบายได้โดยที่ยีน *cpsD* เป็นยีนที่มีบทบาทในการสร้าง polysaccharide ซึ่งเรียกว่า *stewartan* นั้น อย่างไรก็ตามพบว่ายีนนี้มีลำดับนิวคลีโอไทด์คล้ายกันที่พบในยีนที่ใช้สร้าง *amylovoran* ใน *Erwinia amylovora* รวมทั้งมีโครงสร้างของโภมาเกลุกต์ polysaccharide คล้ายกันด้วย (Aldridge *et al., 1998*) ดังนั้นแบคทีเรียสายพันธุ์ XE และ Y001 ซึ่งคาดว่าเป็นเชื้อ *P. agglomerans* ที่อยู่ในสปีชีส์

เดียวกันก็อาจมีชนิดที่ใช้ในการสร้าง exopolysaccharide หรือ EPS เช่นกัน เนื่องจากสร้าง EPS ควบคุณโดยระบบปริมาณเซคล์ (Quarum-Sensing) ซึ่งในการปลูกเชื้อนั้นใช้ปริมาณเซคล์เริ่มต้นมากกว่า 10^8 ซึ่งปริมาณเซคล์เริ่มต้นมากพอครองตัวให้เกิดการสร้าง EPS ขึ้น ดังนั้นจึงจะเป็นเหตุให้มีการสร้างสาร EPS ขึ้น จากรายงานของ Wacharotanyankun *et al.* (1993) พบว่า *rcsV* ยืนสามารถควบคุมการสร้าง EPS ในแบคทีเรียใน Enterobacteriaceae ได้

จากการทดลองของ Bourget *et al.* (1996) พบว่าส่วน 16s -23s rRNA/ITS เป็นส่วนที่มีความหลากหลาย สามารถใช้ในการแยกความแตกต่างของเชื้อระหว่างสปีชีส์ได้อย่างไรก็ตาม จากการทดลองเปรียบเทียบลำดับนิวคลีโอไทด์ในส่วน ITS ของเชื้อ *Bifidobacterium* spp. จำนวน 18 สปีชีส์ ซึ่งจากการศึกษาพบว่า *B. asteroides* และ *B. infantis* มีเหมือนกัน (similarity) เพียง 26% ในขณะที่ *Bifidobacterium* spp. อื่นมีความเหมือนกันที่ 88.9% ขึ้นไป โดยในการทดลองนี้อธิบายว่าอาจมีการจัดอนุกรมวิธานผิดพลาด อย่างไรก็ตามลำดับนิวคลีโอไทด์ส่วน ITS เป็นมืออัตราการเกิดวิวัฒนาการสูงมากกว่า 16s rRNA เป็น 10 เท่า โดยพบการกลایพันธุ์ทั้งแบบแทรก (insertion mutation) ตัดออก (deletion mutation) หรือ การแทนที่ (substitutions mutation) ทำให้เดนโครแกรมจากการเปรียบเทียบความเหมือนของนิวคลีโอไทด์ของ ITS ไม่สามารถบ่งบอกได้ถึงความสัมพันธ์ระหว่างสิ่งมีชีวิตที่ต่างกันนัก แต่สามารถใช้บ่งบอกถึงความสัมพันธ์ของสิ่งมีชีวิตที่มีความใกล้ชิดกันได้ แต่ทั้งนี้การใช้ลำดับนิวคลีโอไทด์ในส่วน ITS เพื่อหาความสัมพันธ์ของสิ่งมีชีวิตนั้น ต้องการการเปรียบเทียบควบคู่กับดีเอ็นเอส่วนอื่น โดยในการทดลองนี้ใช้การเปรียบเทียบควบคู่กับลำดับนิวคลีโอไทด์ส่วน 16s rRNA ดังนั้นจากผลการทดลองพบว่าเชื้อแบคทีเรียสายพันธุ์ XE Y001 และ *Pantoea stewartii* subsp. *stewartii* LMG2715^T มีลำดับดีเอ็นเอของ 16s-23s rRNA/ITS และยีน *cpsD* คล้ายกันมาก ซึ่งเชื้อแบคทีเรียที่นำมาทดสอบนี้มีความใกล้ชิดกันมาก จึงอาจมีลำดับดีเอ็นที่คล้ายกัน เมื่อเปรียบเทียบลำดับดีเอ็นของส่วน 16s rDNA ก็พบว่ามีความคล้ายกันมากกว่า 99% อย่างไรก็ตามจากรายงานของ Fox *et al.* (1992) พบว่า *Bacillus globisporus* W25T และ *B. psychrophilus* มีลำดับ นิวคลีโอไทด์เหมือนกันมากกว่า 99.5% ซึ่งจากรายงานก่อนหน้านี้มีการตรวจสอบดีเอ็นเอของทั้งสองสปีชีส์ด้วยวิธีการ DNA-DNA hybridization และแสดงให้เห็นว่า แบคทีเรียทั้งสองไม่ได้อยู่ในสปีชีส์เดียวกัน ดังนั้นการใช้ลำดับ นิวคลีโอไทด์ของ 16s rRNA ไม่สามารถใช้แยกเชื้อในระดับสปีชีส์ได้อย่างชัดเจน

จากการจัดกลุ่มเชื้อแบคทีเรียโดยใช้คุณสมบัติการใช้แหล่งอาหาร 95 ชนิด และเปรียบเทียบเชื้อ *P. agglomerans* ซึ่งในการทดลองนี้ใช้ 3 สายพันธุ์ และทั้งสามสายพันธุ์มีการจัดอยู่

คนละกลุ่ม โดยมีความเหมือนกันที่ประมาณ 77% อาจเนื่องจากว่าเชื้อแบคทีเรียในสปีชีส์นี้ยังมีความหลากหลายภายในของสปีชีส์เอง โดยการจัดแบ่งตามวิธี numerical phenotypic analysis สามารถแบ่งกลุ่ม *Erwinia herbicola-Enterobacter agglomerans* เป็น 5 กลุ่มใหญ่ และแบ่งเป็น 15 กลุ่มย่อย (subgroup) และมีการจัดแบ่งกลุ่มย่อยด้วยเทคนิค DNA hybridization เป็น *Pantoea agglomerans* และ *P. dispersa* โดยมีลักษณะสำคัญในการใช้แหล่งอาหารบนซึ่งทดสอบในการทดสอบที่เชื้อในกลุ่มนี้สามารถใช้หรือเจริญได้ด้วย N-Acetyl-D-glucosamine L- arabinose D-Cellobiose D-fructose D-Galactose α -D-Glucose M-Inositol Maltose D-Mannitol D-Mannose D-Trehalose Cis-Aconitic acid และ Citric acid แต่ไม่ใช้ L-Fucose Gentiobiose D-Raffinose D-sorbitol D-turanose Xylitol L-Alanyl-glycine (Gavini *et al.*, 1989) (ตารางที่ 4) เมื่อเปรียบเทียบลักษณะสำคัญบางประการที่แตกต่างกันอย่างชัดเจนของเชื้อทั้งสามสปีชีส์ โดยเชื้อ *P. agglomerans* และ *P. dispersa* สามารถสร้างกรดจากการใช้ maltose และใช้หรือเจริญบน citric acid cis-aconitic acid แต่เชื้อ *P. stewartii* subsp. *stewartii* ไม่สามารถใช้ได้ และให้ผลตรงข้ามกัน กับการใช้ raffinose D-Melibiose (Mergaert *et al.*, 1993) ดังแสดงในตารางที่ 4 Wilson *et al.* (1999) พบว่าเมื่อจัดกลุ่มแบคทีเรียตามการใช้แหล่งอาหารบนของเชื้อ *P. stewartii* subsp. *stewartii* ที่แยกให้จากข้าวโพด และแมลง ทั้งหมด 124 สายพันธุ์ทั่วโลก UPGMA เชื้อทั้งหมดจัดอยู่ในกลุ่มเดียวกัน โดยมีค่าความเหมือนกันของการใช้แหล่งอาหารสูงถึง 93% ซึ่งโดยมาตรฐานของการจัดแบ่งกลุ่มเชื้อในระดับสปีชีส์จะใช้ความเหมือนของลักษณะที่แสดงออกในระดับ 80% (Sneath, 1984) โดยเชื้อจากข้าวโพดที่นำมาทดสอบแยกกลุ่มออกจากเชื้อ *P. stewartii* subsp. *stewartii* LMG2715^T มีความเหมือนกันเพียง 77% ส่วนเชื้อ *P. stewartii* subsp. *stewartii* LMG2715^T และข้อมูลเปรียบเทียบจากฐานข้อมูลของ *P. stewartii* subsp. *stewartii* จาก Biolog® มีความเหมือน 81% และเมื่อวิเคราะห์ด้วยวิธี Principal component analysis จะพบว่าเชื้อเหล่านี้แยกกลุ่มห่างจากเชื้อ *P. stewartii* subsp. *stewartii* LMG2715^T และอยู่ในกลุ่มเดียวกับ *P. agglomerans* 4633

จากการเปรียบเทียบเชื้อสายพันธุ์หลัก LMG2715^T กับเชื้อแบคทีเรียอื่นๆ เพื่อดูความแตกต่างหรือจัดกลุ่มแบคทีเรียนั้น พบว่าการใช้เชื้อ *Pantoea stewartii* subsp. *stewartii* เพียงสายพันธุ์เดียวอาจยังไม่เป็นตัวแทนของเชื้อแบคทีเรียนี้ ถึงแม้ว่าเชื้อที่นำมาทดสอบจะเป็นเชื้อที่เป็นสายพันธุ์มาตรฐานก็ตาม เนื่องจากหลาย ๆ รายงานทั้งจากการศึกษาด้วยการใช้แหล่งอาหาร (Wilson *et al.*, 1999) รูปแบบดีอินเอ (Avrova *et al.*, 2002) รูปแบบ soluble protein (Mergaert *et al.*, 1993) แสดงให้เห็นว่าเชื้อแบคทีเรียมีความหลากหลายในระดับ subspecies ของอย่างไรก็ตามลักษณะสำคัญและการหนึ่งที่ทำให้เชื้อ *Pantoea stewartii* subsp. *stewartii* แตกต่างจากเชื้อในจีนสไกล์เดิง

คือลักษณะการไม่เคลื่อนที่ และไม่มี flagella ซึ่งในการทดลองนี้พบลักษณะการไม่เคลื่อนที่เฉพาะสายพันธุ์ $LMG2715^T$ เท่านั้น

จากผลของการจัดแบ่งกลุ่มเชื้อด้วยลายพิมพ์ดีเอ็นเอด้วยเทคนิค AFLP นั้น พบว่าเชื้อ *Pantoea stewartii* subsp. *stewartii* จัดอยู่ในกลุ่มแยกออกจากเชื้อแบคทีเรียที่แยกได้จากข้าวโพดในประเทศไทยค่าความเหมือน 65% สอดคล้องกับการทดลองของ Brady (2005) ศึกษาเปรียบเทียบรูปแบบดีเอ็นเอด้วยเทคนิค AFLP ของเชื้อแบคทีเรียนิสต์ *Pantoea* spp. ด้วยวิธี Dice' coefficient similarity และจัดกลุ่มด้วยวิธี UPGMA พบว่าเชื้อ *P. stewartii* subsp. *stewartii* และ subsp. *indologenase* จัดอยู่ในกลุ่มเดียวกันที่ค่าความเหมือน 82% และเชื้อ *P. agglomerans* จัดอยู่ในกลุ่มแยกออกไปอีกกลุ่มหนึ่งอย่างชัดเจน แสดงให้เห็นว่าวิธีการ AFLP สามารถใช้แยกความแตกต่างของเชื้อในระดับสปีชีส์ได้

Mergaert, et al. (1993) ใช้วิธีการเปรียบเทียบรูปแบบ soluble protein เป็นวิธีการหนึ่งในการแสดงความแตกต่างของเชื้อแบคทีเรีย *Pantoea* spp. ร่วมกับการใช้เทคนิค DNA-DNA hybridization ซึ่งจากการทดลองพบว่าเชื้อ *P. stewartii* subsp. *stewartii* มีรูปแบบโปรตีนแตกต่างจากเชื้อ *P. stewartii* subsp. *indologenes* *P. agglomerans* และ *P. dispersa* และรูปแบบ soluble protein ของเชื้อในแต่ละนิสัยมีความจำเพาะในนิสัยเอง ซึ่งสอดคล้องกับการทดลองนี้ที่รูปแบบ soluble protein เชื้อ *P. stewartii* subsp. *stewartii* $LMG2715^T$ มีรูปแบบที่ต่างจากเชื้อแบคทีเรียที่แยกได้จากข้าวโพดในประเทศไทย

ในการทดลองนี้พบว่าเชื้อ *Pantoea agglomerans* ที่นำมาทดสอบสามสายพันธุ์นั้นมีการจัดกลุ่มแยกกันทั้งการเปรียบเทียบลายพิมพ์ดีเอ็นเอด้วยเทคนิค AFLP การใช้รูปแบบ soluble protein และการใช้แหล่งคาร์บอนนั้น สามารถอธิบายได้ว่าเชื้อแบคทีเรียชนิดนี้เป็นแบคทีเรียที่พบได้ทั่วไปจากดิน น้ำ ชินส่วนพืช เมล็ด และจากน้ำดินและของสัตว์ แสดงให้เห็นว่าเชื้อแบคทีเรียนี้มีแหล่งอาศัยกว้าง มีความหลากหลายในกลุ่มสูงและในการจัดกลุ่มอนุกรมวิธานซึ่งเดิมเชื้อแบคทีเรียนี้จัดอยู่ในกลุ่ม *Erwinia herbicola-Enterobacter agglomerans* complex นั้น ซึ่งมีระดับ DNA-DNA hybridization 27 – 97% และมีการจัดอนุกรมวิธานใหม่ด้วยเทคนิค DNA-DNA hybridization ร่วมกับรูปแบบ soluble protein และลักษณะที่แสดงออก (phenotypical characteristics) ด้วยระบบ API 20E นั้น พบว่าระดับ DNA-DNA hybridization กับเชื้อ *P. agglomerans* ATCC 27155^T อยู่ในช่วงมากกว่า 75% (Gavini et al., 1989) และมีลักษณะทาง phenotype หลายๆ ลักษณะของเชื้อ

ชนิดนี้ที่มีความแปรปรวน เช่น การใช้ D-arabinose D-cellubiose D- arabitol D-sorbitol Citrate Glycerol Lactose Maltose Melibiose Malonate และ Tartate เป็นต้น (Azad *et al.*, 2000)

จากการเปรียบเทียบการจัดกลุ่มเชื้อแบคทีเรียที่แยกได้จากข้าวโพดในประเทศไทย เชื้อ *Pantoea stewartii* subsp. *stewartii* และเชื้อ *P. agglomerans* ด้วยเทคนิคต่างๆ ได้แก่ การใช้แหล่งคาร์บอน 95 ชนิด การใช้ลายพิมพ์ดีเอ็นเอด้วยเทคนิค AFLP การใช้รูปแบบ soluble protein นั้น พบว่าให้ผลสอดคล้องกันทั้งสามลักษณะ โดยเชื้อแบคทีเรียที่แยกได้จากข้าวโพดในประเทศไทย นั้นส่วนใหญ่จับกลุ่มอยู่ด้วยกันและอยู่ร่วมกับ *P. agglomerans* และแยกกลุ่มต่างออกไปจากเชื้อ *P. stewartii* subsp. *stewartii* ซึ่งจากการเปรียบเทียบจัดกลุ่มเชื้อ *P. stewartii* subsp. *stewartii* จำนวน 124 สายพันธุ์ ด้วยการใช้แหล่งคาร์บอนนั้นให้ผลความเหมือนของการใช้แหล่งคาร์บอน 93% แสดงให้เห็นถึงความเสถียรของการใช้แหล่งคาร์บอน และสามารถนำมาใช้เปรียบเทียบเพื่อจัดแยกกลุ่มได้ (Wilson *et al.*, 1999) เช่นเดียวกันการใช้ลายพิมพ์ดีเอ็นเอด้วยเทคนิค AFLP ก็มีความแม่นยำในการจัดแบ่งเชื้อได้ถึงระดับสายพันธุ์ (Brady, 2005) ส่วนการใช้รูปแบบ soluble protein นั้น จากการเปรียบเทียบเชื้อ *P. stewartii* subsp. *stewartii* 8 สายพันธุ์ มีรูปแบบ soluble protein ที่คล้ายกัน แตกต่างจากรูปแบบของเชื้อ *P. stewartii* subsp. *indologenes* แสดงให้เห็นว่ารูปแบบ soluble protein สามารถใช้จำแนกเชื้อแบคทีเรียได้ในระดับสายพันธุ์ (Gavini *et al.*, 1989) และในการทดสอบนี้การแบ่งกลุ่มย่อยของเชื้อแบคทีเรียที่แยกได้จากข้าวโพดในประเทศไทยที่ให้ผลสอดคล้องกันทั้ง 3 ลักษณะ ได้แก่ XE1 6 8 9 11 และ Y001 จัดอยู่ในกลุ่มเดียวกัน ในขณะที่เชื้อ XE 2 3 4 และ 5 จัดอยู่ในกลุ่มเดียวกัน

จากการทดลองพบว่าการทำปฏิกริยาพีซีอาร์ด้วยใช้ยีน *hrpS* เป็นยีนเป้าหมายมีความจำเพาะกับเชื้อ *Pantoea stewartii* subsp. *stewartii* เท่านั้น ถึงแม้ว่าจะพบยีนนี้ในแบคทีเรียอื่นๆ ได้แก่ *hrpS* ที่พบใน *Erwinia amylovora* E. *herbicola* pv. *gypsophilae* พบว่า E. *herbicola* pv. *gypsophilae* มีลำดับนิวคลีโอไทด์และกรดอะมิโนของ *hrpS* เมื่อเทียบกับ *E. amylovora* เป็น 75.3 และ 83.6% ตามลำดับ และ เมื่อเทียบกับ *P. stewartii* subsp. *stewartii* เป็น 77 และ 79.5 ตามลำดับ (Mor *et.al.*, 2001) แสดงให้เห็นว่ายีนนี้มีความจำเพาะและสามารถใช้เป็นยีนที่ยืนยันเชื้อ *P. stewartii* subsp. *stewartii* ได้

จากการเปรียบเทียบเชื้อแบคทีเรียที่แยกจากข้าวโพดในประเทศไทยด้วยวิธีการต่างๆ คือ การไม้เคลื่อนที่ คุณสมบัติทางเคมี คุณสมบัติทางสิริวิทยา และชีวเคมี ได้แก่ รูปร่างเซลล์

เป็นท่อน การติดสีแกรมลบ (Gram negative) สามารถใช้หรือไม่ใช้อาศาในการเจริญได้ (Facultative anaerobe) โคลินีบนอาหาร NA มีสีเหลือง ทนทานต่อเกลือแกงได้สูง 5% ปฏิกิริยา Esculin hydrolysis เป็นบวก ไม่สร้าง H₂S ไม่ทำปฏิกิริยา Catalase ไม่ผลิตแก๊สจากการใช้น้ำตาล กลูโคส สามารถใช้น้ำตาล D- arabinose D-melibiose D-cellubiose และ Maltose และใช้ citric acid แต่ไม่ใช้น้ำตาล D-raffinose (ตารางที่ 9) ซึ่งเป็นลักษณะที่แตกต่างกันระหว่างเชื้อ *Pantoea agglomerans* และเชื้อ *P. stewartii* subsp. *stewartii* จากการจัดกลุ่มแบบที่เรียกว่าเทคนิค AFLP รูปแบบ soluble protein ด้วย SDS-PAGE ลำดับดีเอ็นเอส่วน 16s rDNA พบว่าเชื้อสายพันธุ์ XE และ Y ที่แยกได้จากข้าวโพดในประเทศไทยมีการจัดกลุ่มอยู่ด้วยกันและอยู่กับเชื้อ *P. agglomerans* จัดกลุ่มแยกกับเชื้อ *P. stewartii* subsp. *stewartii* อย่างชัดเจน และไม่ทำปฏิกิริยากับคุณพาร์เมอร์ต่อ ยีน *hrpS* ซึ่งมีความจำเพาะกับเชื้อ *P. stewartii* subsp. *stewartii* เท่านั้น แสดงให้เห็นว่าเชื้อดังกล่าว มีความคล้ายคลึงกับเชื้อ *P. agglomerans* และไม่ใช่เชื้อ *P. stewartii* subsp. *stewartii*

ตารางที่ 9 เปรียบเทียบลักษณะเด่นและแตกต่างของเชื้อ *Pantoea agglomerans* และเชื้อ *P. stewartii* subsp. *stewartii* ร่วมกับเชื้อแบคทีเรียที่แยกได้จากข้าวโพดในประเทศไทย

ลักษณะ	XE1	XE2	XE3	XE4	XE5	XE6	XE8	XE9	XE11	Y001	PssLMG2715 ^T	Pss ¹	Pag 4633	Pag 4045	Pag ¹
Gram negative rod	+	+	+	+	+	+	+	+	+	+	+	+	+	+	+
Facultative anaerobe	+	+	+	+	+	+	+	+	+	+	+	+	+	+	+
Yellow colony	+	+	+	+	+	+	+	+	+	+	+	+	+	+	+
Growth on 5% NaCl	+	+	+	+	+	+	+	+	+	+	+	+	+	+	+
Motility	+	+	+	+	+	+	+	+	+	-	-	+	+	+	+
Esulin hydrolysis	+	+	+	+	+	+	+	+	+	-	-	+	+	+	+
H ₂ S production	-	-	-	-	-	-	-	-	-	-	-	-	-	-	-
Catalase	-	-	-	-	-	-	-	-	-	-	-	-	-	-	-
Gas production from glucose	-	-	-	-	-	-	-	-	-	-	-	-	-	-	-
Utilize of															
D- arabinol	+	+	+	+	+	+	+	+	+	-	-	+	-	-	+
D- melibiose	-	-	-	-	-	+	+	-	+	+	+	+	-	-	-
D- cellobiose	+	+	+	+	+	+	+	+	+	-	-	+	+	+	D
D- raffinose	-	+	+	+	-	-	-	-	+	+	+	+	-	-	D
Maltose	+	+	+	+	+	+	+	+	-	-	-	+	+	+	+
Citric acid	+	-	+	+	+	+	+	+	+	-	-	-	-	-	+

¹ ข้อมูลจากการงานของ (Gavini et al., 1989)

Pss หมายถึง *Pantoea stewartii* subsp. *stewartii* Pag หมายถึง *P. agglomerans* D หมายถึง 26 – 75% ให้ผลบวก เครื่องหมาย + หรือ - หมายถึงเกิดปฏิกิริยาเป็นบวกหรือลบ

การผลิตแอนติบอดีต่อเชื้อ *Pantoea stewartii* subsp. *stewartii* LMG2715^T พนว่า แอนติบอดีที่ได้มีการทำปฏิกิริยาข้ามกับเชื้อแบคทีเรียในจีนัส หรือ สปีชีส์ที่ใกล้เคียง และมีความไวต่อการตรวจสอบเชื้อแบคทีเรียต่ำคือต้องการเซลล์อย่างน้อยตั้งแต่ 10^4 cfu ต่อปฏิกิริยาขึ้นไป ซึ่งเมื่อเทียบกับแบคทีเรียชนิดอื่น เช่น *Xanthomonas campestris* pv. *vesicatoria* ซึ่งสามารถตรวจเชื้อแบคทีเรียในตัวอย่างพืชได้ด้วยวิธี ELISA แม้เซลล์มีปริมาณน้อย 10^3 cfu ต่อมิลลิลิตร(Jones *et al.*, 1997) ในขณะที่แอนติบอดีต่อเชื้อ *P. stewartii* subsp.*stewartii* ที่ผลิตได้ในตัวอย่างนี้ ซึ่งได้มาจากการฉีดกระตุนด้วยเซลล์ทั้งเซลล์ และ Membrane protein complex รวมถึงชุดตรวจสอบสำหรับรูปที่เป็นระบบ monoclonal antibody สามารถตรวจได้ในระดับขั้นต่ำเพียง 10^5 cfu ต่อปฏิกิริยาเท่านั้น แสดงให้เห็นว่าเชื้อแบคทีเรียชนิดนี้มีโครงสร้างของเซลล์ที่มีความเป็น antigenic ต่ำ จากการผลิต แอนติบอดีในสัตว์ต่างชนิดกัน ได้แก่ กระต่ายและไก่ ซึ่งระบบอิมมูนในไก่หรือสัตว์ปีกจะมีข้อด้อยในเรื่องความหลากหลายของแอนติบอดีที่ผลิตได้ แต่ในทางกลับกันหากมีความหลากหลายต่ำก็จะส่งผลให้แอนติบอดีที่ได้มีโอกาสในการทำปฏิกิริยาข้ามต่ำกว่า (Kovacs-Nolan and Mine, 2004) อย่างไรก็ตามเมื่อทำการฉีดกระตุนในสัตว์ทั้งสองชนิดนั้น แอนติบอดีในเบื้องต้นมีการทำปฏิกิริยาข้ามกับเชื้อในจีนัส และสปีชีส์ที่ใกล้เคียง แต่เมื่อทำการทดสอบการข้าม (cross absorption) แล้วพบว่าแอนติบอดีจากไก่มีความจำเพาะมากขึ้น ซึ่งอาจเนื่องจากไก่เป็นสิ่งมีชีวิตที่ต่างจากสัตว์เดียวกัน จึงมีระบบการจดจำต่อ epitope ที่แตกต่างออกไปส่งผลให้ได้แอนติบอดีที่แตกต่างออกไป (Kovacs-Nolan and Mine, 2004) โดยแอนติบอดีที่ได้ไม่ทำปฏิกิริยาข้ามกับเชื้อ *Erwinia chrysanthemi* ทั้งการฉีดกระตุนด้วยเซลล์ที่มีชีวิต (Life cell) และ MPC นอกจากนี้แอนติบอดีที่ได้จากการฉีดกระตุนด้วยเซลล์มีชีวิตที่เจริญบนอาหาร minimal medium เพื่อให้แบคทีเรียสร้างสาร polysaccharide น้อยลง (Lamka, *et al.*, 1991) ยังมีความจำเพาะเฉพาะจงเทียบเท่ากับชุดตรวจ ELISA สำหรับ PathoScreen® ด้วย อย่างไรก็ตามเมื่อเทียบความไวในการตรวจสอบแล้วแอนติบอดีที่ได้จากไก่มีประสิทธิภาพต่ำกว่าที่ได้จากการฉีดกระตุนในกระต่าย และชุดตรวจสำหรับรูปในช่วง 10- 100 เท่า โดยที่แอนติบอดีทั้งหมดมีการทำปฏิกิริยาข้ามกับเชื้อในกลุ่ม XE และ Y ดังนั้นจึงสามารถสรุปได้ว่าการใช้แอนติบอดีไม่มีความจำเพาะเฉพาะจงในการตรวจเชื้อ *P. stewartii* subsp. *stewartii* โดยเฉพาะในประเทศไทย เนื่องจากพบว่ามีเชื้อแบคทีเรียในสปีชีส์ใกล้เคียง ได้แก่ *P. agglomerans* หรือ *P. dispersa* ซึ่งพบได้ทั่วไปในพื้นผิวพืช หรือเมล็ด มีความสามารถเจริญได้รวดเร็วกว่าโคลนนีมีลักษณะใกล้เคียงกัน ใช้อาหารได้ใกล้เคียงกับเชื้อ *P. stewartii* subsp. *stewartii* แต่ใช้ได้มากชนิดกว่า (ตารางที่ 4) มีโอกาสทำให้เกิดการตรวจโดยวิธีการทางเคมีร่วมวิทยาได้ผลบวกที่ผิดพลาดได้ อย่างไรก็ตามวิธีการ ELISA เป็นวิธีที่มีค่าใช้จ่ายต่อตัวอย่างต่ำ โดยเฉพาะหากผลิต

แอนติบอดีได้เอง ไม่ต้องการเครื่องมือเฉพาะในการตรวจ จึงสามารถนำมาใช้ในการตรวจสอบตัวอย่างที่มีปริมาณมากเพื่อคัดกรองในเบื้องต้นได้

วิธีการทดสอบเชื้อด้วยเทคนิค ELISA นั้นในการทดสอบนี้ใช้วิธีการ indirect plate trapped antigen ELISA (indirect-PTA ELISA) ในขณะที่ชุดตรวจสอบ PathoScreen® ใช้วิธี double-sandwich ELISA (DAS-ELISA) โดยใช้โพลีโคลนอลแอนติบอดีเป็นตัวจับตัวตรวจเชื้อ และโโนโนโคลนอลด้วยตัวตรวจรายงานผล ซึ่งวิธี indirect PTA-ELISA โดยปกตินี้ความไวในการตรวจจับต่ำกว่า โดยเฉพาะเมื่อตรวจหาเชื้อในแมดล์ ซึ่งคาดว่า wenn ของมาจากการแยกข้าวโพด แหล่งขันในการแยกจับพืชนี้ในภาคทดสอบ และหรือเนื่องจากเนื้อเยื่อพืชโดยทางกายภาพไปปิดหรือขัดขวางการจับของเชื้อแบคทีเรียกับภาคทดสอบ (Lamka et.al, 1991) และการยึดจับของเซลล์แบคทีเรียกับภาคทดสอบโดยตรงอาจมีประสิทธิภาพต่ำในการจับยึด

วิธีการที่ใช้พื้นฐานของเทคนิค PCR เป็นวิธีการที่สามารถใช้ตรวจตัวอย่างจำนวนมากต่อครั้งได้ โดยเฉพาะอย่างยิ่งเมื่อทำงานกับแบคทีเรีย ซึ่งลดขั้นตอนการสกัดดีอีนเอได้ มีความไวต่อการตรวจสอบและ มีความจำเพาะจะจำนวนมากกว่าเทียบกับ ELISA ผลของการทดสอบนี้ และในการทดสอบอื่นๆ อย่างไรก็ตามปัญหาของการตรวจสอบด้วยเทคนิค PCR คือสารปนเปื้อนจากตัวอย่างพืชและแมดล์ในปฏิกิริยาที่ขับยั้งการเกิดปฏิกิริยา (PCR inhibitor) วิธีการที่ใช้ในการตรวจสอบเชื้อแบคทีเรียที่อยู่บนพื้นฐานของเทคนิค PCR มีหลายประเภท ได้แก่ การตรวจด้วยปฏิกิริยา PCR โดยตรง Bio-PCR Ampli-disk PCR การตรวจด้วยปฏิกิริยา PCR ร่วมกับการใช้แอนติบอดี ได้แก่ Magnetic bead-PCR และ immunocapture-PCR นอกจากนี้ยังมีวิธีการ Nested PCR ที่ให้ความจำเพาะจะงดงามบางครั้งเพิ่มความไวในการตรวจเชื้อแบคทีเรียได้มากขึ้น (Llop et al., 2000) และวิธีการ Real-time PCR ทั้งที่ใช้ระบบ probe และ SYBR®

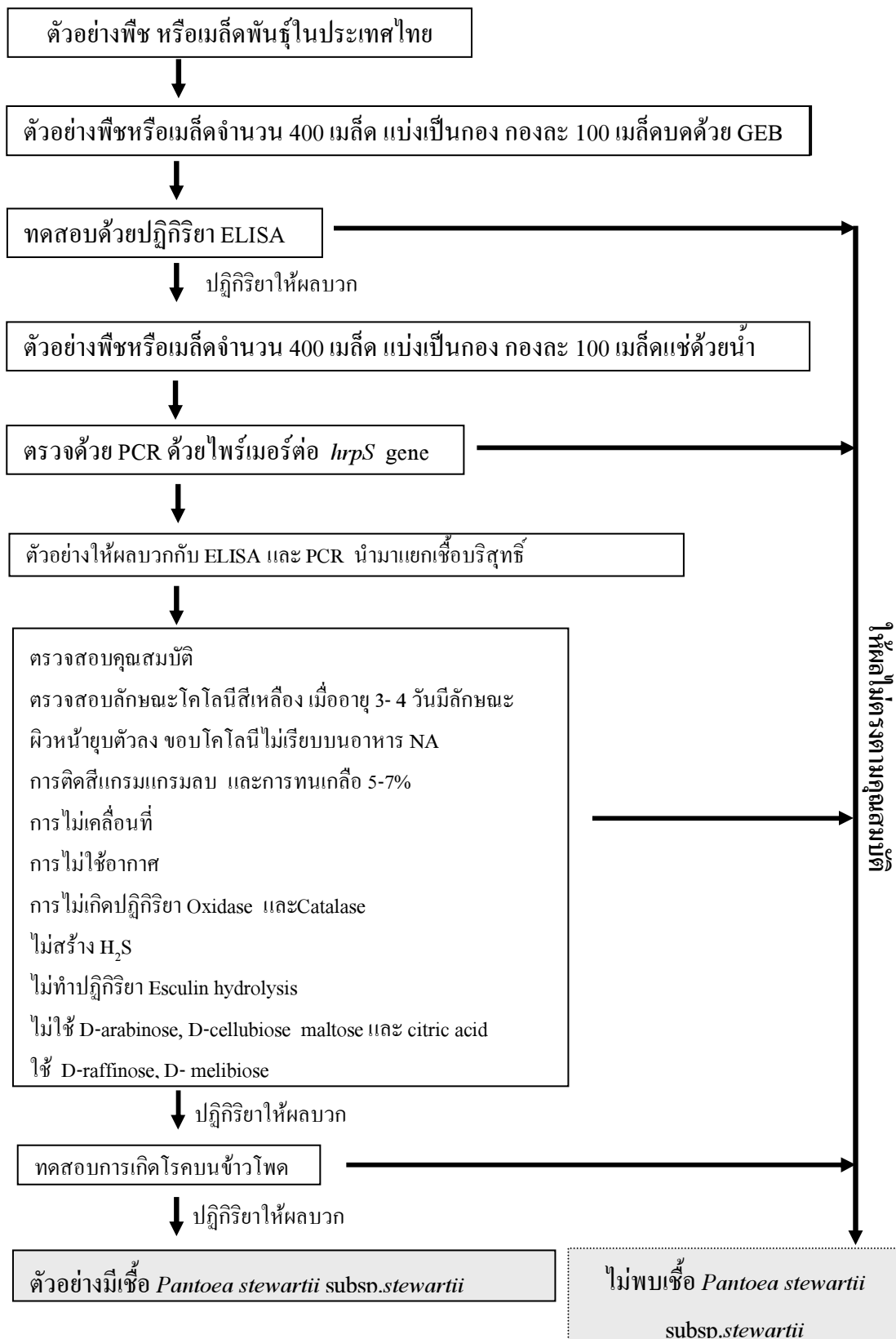
วิธีการตรวจด้วยวิธีที่ใช้เทคนิค PCR เป็นพื้นฐาน ในการทดสอบนี้พบว่าเมื่อตรวจตัวอย่างที่เป็นเซลล์แบคทีเรียโดยตรง วิธีการ Ampli-disk PCR สามารถตรวจเชื้อได้อย่างมีประสิทธิสูงสุด แต่เมื่อตรวจตัวอย่างที่เป็นตัวอย่างพืชหรือตัวอย่างที่ผสมร่วมกับแมดล์ส่งผลให้มีประสิทธิภาพในการตรวจลดลง และในหลาย ๆ การทดสอบ ไม่สามารถให้ผลอย่างสม่ำเสมอได้ เนื่องจากพบว่าเมื่อมีการเลี้ยงเซลล์แบคทีเรียจากตัวอย่างเพื่อเพิ่มปริมาณ เชื้อแบคทีเรียอื่นๆ ที่ปนเปื้อนจะเติบโตได้รวดเร็ว กว่า ประกอบกับข้อจำกัดที่ยังไม่มีอาหารคัดเลือกจำเพาะ หรือส่วนเสริมการเจริญพัฒนา เชื้อ *Pantoea stewartii* subsp. *stewartii* เมื่อเปรียบเทียบการใช้สารอาหารจากแหล่งคาร์บอน 95 ชนิด จากผล

การทดลองนี้ รวมถึงจากเอกสารอ้างอิง (Mergaert *et al.*, 1993; Gavini *et al.*, 1989) พบว่าเชื้อแบปทีเรียชนิดนี้มีการใช้สารอาหารได้น้อยชนิดและคล้ายกับเชื้อ *P. agglomerans* และ *P. dispersa* ซึ่งเป็นเชื้อก่อคุณไกล์ชิดที่พบปนเปื้อนในสภาพแวดล้อม ดังนั้นจึงเป็นการยากที่จะสร้างสูตรอาหารจำเพาะต่อเชื้อแบปทีเรียนี้ วิธีการ Magnetic bead-PCR เป็นวิธีที่คัดกรองเชื้อแบปทีเรียจากการทำปฏิกิริยา กับแอนติบอดีก่อน ซึ่งมีประโยชน์ในแง่เพิ่มความจำเพาะในกรณีที่มีแอนติบอดีที่มีคุณภาพสูง และลดสารที่ขับยังปฏิกิริยา PCR และเซลล์ที่ได้ยังมีชีวิตอยู่สามารถนำไปตรวจสอบด้วยการเลี้ยงบนอาหารได้ (van der Wolf *et al.*, 1996) แต่เนื่องจากแอนติบอดีที่ผลิตได้ในการทดลองนี้มีคุณสมบัติที่ไม่จำเพาะต่อเชื้อเป้าหมายเพียงชนิดเดียว ดังนั้นจึงอาจนำมาใช้ประโยชน์ได้ในการคัดกรองเชื้อในเบื้องต้น และใช้วิธีการ PCR ตรวจหาเชื้อที่จำเพาะ แม้ว่าวิธีนี้จะช่วยลดสารที่ขับยังปฏิกิริยา PCR ได้ และใช้เครื่องมือไม่แตกต่างจากวิธีการ direct-PCR แต่มีอัตราเร็วเทียบ ข้อด้อยด้านอื่นๆ เช่น เวลาที่ต้องใช้มากขึ้น ค่าใช้จ่ายที่เพิ่มขึ้นจากการต้องมีแอนติบอดีและ Magnetic bead ที่มีราคาสูง ดังนั้นวิธีการนี้จึงยังไม่เหมาะสมในการนำมาใช้ตรวจหาเชื้อในตัวอย่างเมื่อเทียบกับวิธีการ direct PCR ส่วนวิธีการ real-time PCR เป็นวิธีการที่มีจุดเด่นคือสามารถตรวจสอบเชื้อเป้าหมายได้อย่างรวดเร็ว ไม่ต้องตรวจสอบดีเอ็นเอด้วยเจลอะลูมิโนฟาร์มาซี (Dorak, 2004) ซึ่งสามารถนำไปใช้ในการตรวจนักสถานที่ได้ แต่มีจุดด้อยอยู่ที่ค่าใช้จ่ายในการของอุปกรณ์เครื่องมือ วัสดุและสารเคมีในการทำปฏิกิริยามีราคาสูง ซึ่งได้สรุปเปรียบที่ยับข้อเด่นข้อด้อยของแต่ละวิธีดังแสดงในตารางที่ 10

ตารางที่ 10 เปรียบเทียบข้อเด่นข้อด้อยในด้านต่างๆ ของวิธีการตรวจสอบเชื้อแบปทีเรีย *Pantoea stewartii* subsp. *stewartii* จากตัวอย่างพืชหรือเมล็ดข้าวโพด

	Direct- PCR	Magnetic bead PCR	Ampli-disk PCR	Real- time PCR	ELISA
ความจำเพาะ (Specificity)	สูง	สูง	สูง	สูง	ต่ำ
ความไว (Sensitivity)	10^3	10^3	10^2	10^2	10^5
การทำซ้ำ (Repeatability)	ดี	ดี	ไม่ดี	ดี	ดี
ค่าใช้จ่ายต่อตัวอย่าง (Cost)	ต่ำ	สูง	ต่ำ	สูง	ต่ำ
ราคาเครื่องมือ	ต่ำ	ต่ำ	ต่ำ	สูง	ต่ำ

จากการทดลองและเลือกใช้เทคนิคในการตรวจสอบเชื้อ *P. stewartii* subsp. *stewartii* ด้วย direct PCR นั้น พบว่าวิธีการดังกล่าวเป็นวิธีที่สามารถทำสำเร็จได้ ให้ผลการทดลองที่น่าเชื่อถือ ทำได้ง่าย รวดเร็ว และค่าใช้จ่ายต่ำกว่าย่างถูกกว่าเทคนิคอื่นๆ อย่างไรก็ตามการตรวจสอบเชื้อแบบที่เรียกชื่อนี้ ที่จะให้ผลที่น่าเชื่อถือและใช้ในการตรวจสอบที่เป็นมาตรฐานในการออกใบรับรองในการกักพืช (plant quarantine) ต้องใช้การตรวจหาเชื้อโดยก่อนกัน ดังนำเสนอแนวทางการตรวจ ดังในภาพที่ 21 และการตรวจเชื้อแบบที่เรียกจากกองเมล็ดพันธุ์นั้น โดยมาตรฐานเปอร์เซ็นต์การติดเชื้อในกองเมล็ดพันธุ์ตามรายงานที่ยอมรับการติดเชื้อในกองเมล็ดพันธุ์ 0.5 % หรือต่ำกว่านั้น และการคำนวณโอกาสการสูญเสียเมล็ดที่ติดเชื้อ และโอกาสของเมล็ดที่ติดเชื้อจากการตรวจด้วยวิธีการ ELISA ตามการตรวจของ National Seed Health Test ซึ่งพัฒนาโดย Iowa State University จากการตรวจเมล็ดจำนวน 400 เมล็ดแบ่งเป็นกอง กองละ 100 เมล็ด ซึ่งเมื่อนำมาใช้ในการตรวจสอบโดยการตรวจและใช้มาตรฐานเดียวกัน โดยเปลี่ยนจากวิธีการ ELISA เป็นวิธีการตรวจด้วย PCR แต่ยังคงการตรวจแบบใช้การแบ่งกองเป็นกองละ 100 จำนวนกองขึ้นกับขนาดของกองเมล็ดพันธุ์ โดยสามารถประมาณเปอร์เซ็นต์การติดเชื้อในกองเมล็ดพันธุ์ได้ดังแสดงในตารางที่ 1 (Pataky and Ikins, 2003)



ภาพที่ 21 แผนผังการตรวจสอบเชื้อ *Pantoea stewartii* subsp. *stewartii* สำหรับประเทศไทย

สรุปและข้อเสนอแนะ

จากการทดสอบสรุปได้ดังนี้

1. เชื้อสายพันธุ์ XE Y และ W ที่แยกเชื้อได้จากข้าวโพดในประเทศไทยไม่ใช่เชื้อ *Pantoea stewartii* subsp. *stewartii* โดยใช้ข้อมูลประกอบด้วยคุณสมบัติการเคลื่อนที่ การใช้แหล่งอาหาร 95 ชนิด แบบลายพิมพ์ดีอีนเออด้วยเทคนิค AFLP และรูปแบบของ soluble protein
2. เชื้อแบนค์ที่เรียกจากโรคเหี่ยวของข้าวโพดในประเทศไทยสายพันธุ์ Y001 และ XE ทั้งหมดยกเว้น XE7 คือเชื้อ *Pantoea agglomerans* โดยใช้ข้อมูลประกอบด้วยคุณสมบัติทางฟีโน่โน้ม และทางชีวเคมี แบบแผนลายพิมพ์ดีอีนเออด้วยเทคนิค AFLP และรูปแบบ soluble protein
3. การใช้อาหารคัดเลือกจำเพาะ Nigrosine medium ไม่สามารถใช้เป็นอาหารคัดเลือกจำเพาะต่อ เชื้อ *P. stewartii* subsp. *stewartii* ได้
4. การใช้เทคนิคทางชีววิทยา ได้แก่ ELISA ทั้งที่ใช้ polyclonal antibody และ monoclonal antibody (Agdia, Inc) ต่อเชื้อ *Pantoea stewartii* พบว่าไม่ให้ผลอย่างจำเพาะเจาะจงต่อเชื้อ *P. stewartii* subsp. *stewartii* แต่ยังทำปฏิกิริยากับเชื้อใกล้ชิด ได้แก่ *Pantoea agglomerans* และ เชื้อแบนค์ที่เรียกที่เกิดอาการเหี่ยวของข้าวโพดในประเทศไทยได้
5. การใช้เทคนิค PCR ด้วยคู่ไพร์เมอร์ที่จำเพาะต่อส่วน 16s-23s rRNA/ITS และ *cpsD* ขึ้นตามรายงานของ Coplin and Kado (2002) นั้น ไม่ทำปฏิกิริยาจำเพาะเจาะจงต่อเชื้อ *P. stewartii* subsp. *stewartii*
6. การตรวจเชื้อด้วยเทคนิค PCR ด้วยคู่ไพร์เมอร์ที่จำเพาะต่อส่วน *hrpS* เท่านั้น ที่ให้ผลจำเพาะต่อ เชื้อ *P. stewartii* subsp. *stewartii*

7. วิธีการ ELISA ด้วย polyclonal antibody มีความไวในการตรวจสอบเชลล์เชื้อ *P. stewartii* subsp. *stewartii* น้อยที่สุด โดยต้องการปริมาณเชลล์อย่างน้อย 10^5 cfu ต่อปฏิกิริยา เมื่อเปรียบเทียบกับวิธีการ direct-PCR Magnetic bead-PCR Agar-PCR และ Real-time PCR
8. วิธีการ Ampli disk-PCR เป็นวิธีการที่มีความไวในการตรวจสอบเชลล์ *P. stewartii* subsp. *stewartii* ดีสุด สามารถตรวจสอบเชลล์ได้แม้มีเชลล์เริ่มต้นน้อยกว่า 10 cfu แต่ไม่เหมาะสมที่จะนำมาใช้ตรวจในภาคสนามเนื่องจากเชื้อแบคทีเรียที่ปนเปื้อนจริงได้รวดเร็วและปกคลุมเชื้อนี้
9. วิธีการ direct-PCR เป็นวิธีการตรวจสอบเชื้อแบคทีเรียจากพืชและเมล็ดที่สุด เมื่อเปรียบเทียบในเรื่องของความไวในการตรวจสอบ (sensitivity) ค่าใช้จ่ายต่อตัวอย่าง ผลการทดลองเชื้อถือได้สูง ระยะเวลาในการตรวจสอบ
10. วิธีการ PCR ไม่สามารถนำมาใช้ในการตรวจตัวอย่างเมล็ด ด้วยวิธีการเตรียมตัวอย่างโดยการบดเมล็ดได้
11. วิธีการ direct-PCR สามารถตรวจสอบเชื้อแบคทีเรียในตัวอย่างพืชและเมล็ดได้เมื่อมีแบคทีเรียอย่างน้อย 6×10^2 และ 10^3 cfu ต่อปฏิกิริยาตามลำดับ
12. วิธีการ direct-PCR ร่วมกับการแซ่มเมล็ดสามารถตรวจเชื้อในกองเมล็ดเมื่อมีการติดเชื้อ 0.02% หรือ 1 ใน 5,000 เมล็ด เมื่อตรวจเมล็ดแบบแซ่มทั้งกองเมล็ดพันธุ์และ การแบ่งกองเมล็ดพันธุ์
13. การแบ่งกองเมล็ดพันธุ์สามารถเพิ่มประสิทธิภาพในการตรวจสอบเมล็ดที่ติดเชื้อในกองเมล็ดพันธุ์ได้มากขึ้นจาก 33% เป็น 83%
14. การตรวจการติดเชื้อในกองเมล็ดพันธุ์ด้วยวิธี direct-PCR นำมาปรับร่วมกับการคำนวณการโอกาสการติดเชื้อในเมล็ดพันธุ์ที่ได้จากการตรวจสอบเชื้อในกองเมล็ดพันธุ์ด้วยวิธีการ ELISA สามารถใช้ตรวจสอบเชื้อ *Pantoea stewartii* subsp. *stewartii* และพัฒนาเป็นวิธีมาตรฐานสำหรับประเทศไทยต่อไป

เอกสารและสิ่งอ้างอิง

กรมส่งเสริมการเกษตร. 2547. สถิติการปลูกพืชตามชนิด. แหล่งที่มา:

<http://pst.doae.go.th/ROR%5FOR>, 20 มีนาคม 2548.

จุฬาเทพ วัชระไชยคุปต์ วัฒนิกร เทพโพธิฯ สุจินต์ กัทรวุฒิ ณัฐรพ อุทัยมงคล นิพนธ์ ทวีชัย และวิชัย โอมลิตรัตน. 2550. ข้อจำกัดเทคนิคในการตรวจเชื้อ *Pantoea stewartii* subsp. *stewartii*. หน้า 263-270. ใน : การประชุมทางวิชาการของมหาวิทยาลัยเกษตรศาสตร์ ครั้งที่ 45 (สาขาพืช). มหาวิทยาลัยเกษตรศาสตร์, กรุงเทพฯ.

พระราชบัญญัติกักพืช พ.ศ. 2507 แก้ไขเพิ่มเติมโดย พระราชบัญญัติกักพืช (ฉบับที่ 2) พ.ศ. 2542.
แหล่งที่มา: http://www.doa.go.th/code/code/sum_code/pq_act.pdf, 20 มีนาคม 2548.

สรรษัย จันทะ Jurayudh Jirayudh รัชนี สงประยูร และสุรัตน์วดี จิวะจินดา. 2548. การกระตุ้นระบบภูมิคุ้มกันในไก่ไข่โดยใช้สารสกัดจากกระเพราแดง, n. 91-96. ใน สมุนไพรไทย: โอกาสและทางเดือกใหม่ของอุตสาหกรรมการผลิตสัตว์ ครั้งที่ 3 . คณะเกษตร กำแพงแสน มหาวิทยาลัยเกษตรศาสตร์, ศูนย์ปราชุณสถาบันวิจัยจุฬาภรณ์ หลักสี่ กรุงเทพมหานคร.

สำนักงานเศรษฐกิจการเกษตร. 2547. ปริมาณและการส่งออกรายเดือน. แหล่งที่มา:

<http://www.aoe.go.th/Import-Export.php>, 20 มีนาคม 2548.

Ahmad, M., D.R. Majerczak, S. Pike, M. E. Hoyos, A. Novacky and D.L. Coplin. 2001.
Biological activity of harpin produced by *Pantoea stewartii* subsp. *stewartii*. Molecular Plant Microbe Interaction 14: 1223-1234.

Aldridge, P., F. Bernhard, P. Bugert, D.L. Coplin and K. Geider. 1998. Characterization of gene locus from *Erwinia amylovora* with regulatory functions in exopolysaccharide synthesis of *Erwinia* spp. Canadian Journal of Microbiology 44: 657-666.

- Anonymous. 1997. **Corn Stewart's Wilt.** Available Source:
<http://www.extension.iastate.edu/Pages/plantpath/cornstewart.html>. December 15, 2003.
- _____. 2000. **More on Stewart's Wilt.** Available Source:
<http://www.ipm.iastate.edu/ipm/icm/2000/5-29-2000/morewilt.html>. December 15, 2003.
- Avrova, A.O., L.J. Hyman, R.L. Toth and I.K. Toth. 2002. Application of amplified fragment length polymorphism fingerprinting for taxonomy and identification of the soft rot bacteria *Erwinia carotovora* and *Erwinia chrysanthemi*. *Applied and Environmental Microbiology* 68: 1499-1508.
- Azad, H.R., G.J. Holmes and D.A. Cooksey. 2000. A new leaf blotch disease of sudangrass caused by *Pantoea ananas* and *Pantoea stewartii*. *Plant Disease* 84: 973-979.
- Bernhard, F., D. Schullerus, P. Bellemann, K. Geider, M. Nimtz, D.R. Majerczak and D. L. Coplin. 1996. Genetics and complementation of DNA regions involved in amylovoran synthesis of *Erwinia amylovora* and stewartan synthesis of *Erwinia stewartii*. *Acta Horticulturae* 411: 269-274.
- Blakemore, E.J.A., J.C. Reeves and S.F.L. Ball. 1992. Polymerase chain reaction used in the development of a DNA probe to identify *Erwinia stewartii*, a bacterial pathogen of maize. *Seed Science and Technology* 20: 331-335.
- Block, C.C., J.H. Hill and D.C. McGee. 1999. Relationship between late-season severity of Stewarti's bacteria wilt and seed infection in maize. *Plant Disease* 83: 527-530.
- Bourget, N.L., H. Philippe, I. Mangin and B. Decaris. 1996. 16S rRNA and 16S to 23S international transcribed spacer sequence analysis reveal inter-and intraspecific

- Bifidobacterium* phylogeny. International Journal of Systemic Bacteriology 46: 102-111.
- Bradford, M. 1976. A rapid and sensitive method for the quantitation of microgram quantities of protein utilizing the principle of protein-dye binding. Analytical Biochemistry 72: 248-254.
- Brady, C.L. 2005. **Taxonomy of *Pantoea* associated with Bacterial Blight of *Eucalyptus*.** M.S. thesis, University of Pretoria.
- Clamp, M., J. Cuff, S.M. Searle and G.J. Barton. 2004. The jalview java alignment editor. Bioinformatics 20: 426-427.
- Coplin, D.L. and C.I. Kado. 2000. Pantoea. 73-83. In N. Schaad, J. Jones and W. Chun. **Laboratory Manual for the Identification of Plant Pathogenic Bacteria.** American Phytopathological Society Press, St.Paul, MN.
- Coplin, D.L., R.D. Frederick, D.R. Majerczak and L.D. Tuttle. 1992. Characterization of a gene cluster that specifies pathogenicity in *Erwinia stewartii*. Molecular Plant Microbe Interaction 5: 81-88.
- Coplin, D.L., D.R. Majerczak, P. Bugert and K. Geider. 1996. Nucleotide sequence analysis of the *Erwinia stewartii* CPS gene cluster for synthesis of stewartan and comparison to the *Erwinia amylovora* AMS cluster for synthesis of amylovoran. Acta Horticulturae 411: 251-257.
- Coplin, D.L., D.R. Majerczak, Y. Zhang, W.S. Kim, S. Jock and K. Geider. 2001. Identification of *Pantoea stewartii* subsp. *stewartii* by PCR and strain differentiation by PFGE. Plant Disease 86: 304-311.

- . 2002. Identification of *Pantoea stewartii* subsp. *stewartii* by PCR and strain differentiation by PFGE. Plant Disease 86: 304-311.
- Dice, L.R. 1945. Measurement of the amount of ecological association between species. Ecology 26: 297-302.
- Dolph, P. J., D.R. Majerczak and D.L. Coplin. 1988. Characterization of a gene cluster for exopolysaccharide biosynthesis and virulence in *Erwinia stewartii*. Journal of Bacteriology 170: 865-871.
- Dorak, M.T. 2004. **Real-time PCR**. Available Source:
<http://home.att.net/~dorak/genetics/realtime.html>. January 1, 2004.
- Enrothe, H. and L. Engstrand. 1995. Immunomagnetic separation and PCR for detection of *Helicobacter pylori* in water and stool specimens. Journal of Clinical Microbiology 33: 2162-2165.
- Fox, G.E., J.D. Wisotzkey and J.P. Jurtschuk. 1992. How close is close: 16S rRNA sequence identity may not be sufficient to guarantee species identity. International Journal of Systemic Bacteriology 42: 166-170.
- Gavini, F., J. Mergaert, A. Beji, C. Mielcarek, D. Izard, K. Kersters and J. De Ley. 1989. Transfer of *Enterobacter agglomerans* (Beijerinck 1888) Ewing and Fife 1972 to *Pantoea* gen. nov. as *Pantoea agglomerans* comb. nov. and description of *Pantoea dispersa* sp. nov. International Journal of Systemic Bacteriology 39: 337-345.
- Guo, Y., Z. Liang and D. Yu. 1982. Nigrosine medium- selective medium for isolation of *Erwinia stewartii* from imported corn. Acta Microbiologica Sinica 22: 339-344.

Ham, J. H., D. R. Majerczak, A. S. Arroyo-Rodriguez, D. M. Mackey and D. L. Coplin. 2006. WtsE, an AvrE-family effector protein from *Pantoea stewartii* subsp. *stewartii*, causes disease-associated cell death in corn and requires a chaperone protein for stability. Molecular Plant Microbe Interaction 19: 1092-1102.

Hampton, R., E. Ball and S. De Boer. 1989. **Serological Methods for Detection and Identification of Viral and Bacterial Plant Pathogens: A Laboratory Manual.** APS Press, St. Paul.

Hershman, D.E., P. Vincelli and W.C. Nesmith. 2003. **Stewart's Wilt of Corn.** Available Source: <http://www.ca.uky.edu/agc/pubs/ppa/ppa33/ppa33.htm>. December, 15, 2003.

Jaufeerally-Fakim, Y. and A. Dookun. 2000. Extraction of high quality DNA from polysaccharide-secreting Xanthomonads. Science and Technology-Research Journal 6: 33-44.

Jones, J.B., G.C. Somodi and J.W. Scott. 1997. Increased ELISA sensitivity using a modified extraction buffer for detection of *Xanthomonas campestris* pv. *vesicatoria* in leaf tissue. Journal of Applied Microbiology 83: 397-401.

Klement, Z. 1963. Rapid detection of the pathogenicity of phytopathogenic pseudomonads. Nature 199: 299-300.

Kovacs-Nolan, J. and Y. Mine. 2004. Avian egg antibodies: basic and potential applications. Avian and Poultry Biology Reviews 15: 25-46.

Laemmli, U. K. 1970. Cleavage of structural proteins during the assembly of the head of bacteriophage T. Nature 227: 680-685.

- Lamka, G.L., J.H. Hill, D.C. McGee, E.J. Braun and J.K. Jo. 1991. Development of an immunosorbent assay for seedborne *Erwinia stewartii* in corn seeds. *Phytopathology* 81: 839-846.
- Livak, K.J. and T.D. Schmittgen. 2001. Analysis of relative gene expression data using real-time quantitative PCR and the $2^{-\Delta\Delta_{CT}}$ method. *Methods* 25: 402-408.
- Llop, P., A. Bonaterra, J. Penalver and M.M. Lopez. 2000. Development of a highly sensitivity nested-PCR procedure using a single closed tube for detection of *Erwinia amylovora* in asymptomatic plant material. *Applied and Environmental Microbiology* 66: 2071-2078.
- Mergaert, J., L. Verdonck and K. Kersters. 1993. Transfer of *Erwinia ananas* (synonym., *Erwinia uredovora*) and *Erwinia stewartii* to the genus *Pantoea* emend. as *Pantoea ananas* (Serrano 1928) comb. nov. and *Pantoea stewartii* (Smith 1898) comb. nov., respectively, and description of *Pantoea stewartii* subsp. *indologenes* subsp. nov. *International Journal of Systemic Bacteriology* 43: 162-173.
- Merighi, M., D.R. Majerczak, E.V. Stover and D.L. Coplin. 2003. The HrpX/HrpY two-component system activates *hrpS* expression, the first step in the regulatory cascade controlling the Hrp regulon in *Pantoea stewartii* subsp. *stewartii*. *Molecular Plant Microbe Interaction* 16: 238-248.
- Michener, P.M., J.K. Pataky and D.G. White. 2002a. Rates of transmitting *Erwinia stewartii* from seed to seedling of a sweet corn hybrid susceptible to Stewart's wilt. *Plant Disease* 86: 1031-1035.
- . 2002b. Transmission of *Erwinia stewartii* from plants to kernels and reactions of corn hybrids to Stewart's wilt. *Plant Disease* 86: 167-172.

Nutter-Jr., F.W. and P.D. Esker. 2003. Temporal dynamics of corn flea beetle populations infested with *Pantoea stewartii*, causal agent of Stewart's disease of corn. *Phytopathology* 93: 210-218.

Mor, H., S. Manulis, M. Zuck, R. Nizan, D. L. Coplin and I. Barash. 2001. Genetic organization of the *hrp* gene cluster and *dspAE/BF* operon in *Erwinia herbicola* pv. *gypsophilae*. *Molecular Plant Microbe Interaction* 14: 431-436.

Pataky, J. K. and R. Ikin. 2003. **Pest Risk Analysis: The Risk of Introducing *Erwinia stewartii* in Maize Seed.** The International Seed Federation, Switzerland.

Pepper, E.H. 1967. **Stewart's Bacterial Wilt of Corn.** The american phytopathological society at the heffernan press., Waorcester, Mass.

Pfaffl, M.W. 2003. **Chapter 3: Quantification Strategies in Real-Time PCR.** Available Source: www.gene-quantification.de/chapter-3-pfaffl.pdf. December 18, 2003.

Schaad, N.W. and P. Randhawa. 2003. Ampli-disk PCR, a novel technique for ultra-sensitive detection of bacteria. Patent Application. DN 0110.03, SN 10/689, 624:

Schaad, N.W., J.B. Jones and W. Chun. 2001. **Laboratory Guide for Identification of Plant Pathogenic Bacteria.** APS Press, Minnesota, USA.

Schaad, N.W., S. Sule, J.W.L. Van Vuurde, H. Vruggingk, A.M. Alvarez, A.A. Benedict, L. De Wael and O. Van Laere. 1990. Serology. 155-186. In Z. Klement, K. Rudolph and D. C. Sands. **Methods in Phytobacteriology.** Akademiai Kiado, Budapest.

Sneath, P.H.A. 1984. Numerical taxonomy. 5-7. In N.R. Krieg and J.G. Holt. **Numerical Taxonomy.** Baltimore, MD.

- Sokal, R.R. and C.D. Michener. 1985. A statistical method for evaluating systemic relationships. University of Kansas Sciecne Bullatin 28: 1409-1438.
- Sutula, C.L., J.M. Glilett, S.M. Morrissey and D.C. Ramsdell. 1986. Interpreting ELISA data and establishing the positive-negative threshold. Plant Disease 70: 722-726.
- van der Wolf, J.M., L.J. Hyman, D.A.C. Jones, C. Grevesse, J.R.C.M. van Beckhoven, J.W.L. Van Vuurde and M.C.M. Perombelon. 1996. Immunomagnetic separation of *Erwinia carotovora* subsp. *atroseptica* from potato peel extracts to improve detection sensitivity on crystal violet pectate medium or by PCR. Journal of Applied Bacteriology 80: 487-495.
- von Bodman, S.B., D.R. Majerczak and D.L. Coplin. 1998. A negative regulator mediates quorum-sensing control of exopolysaccharide production in *Pantoea stewartii* subsp. *stewartii*. Proceeding of Natherland Academic Science 95: 7687-7692.
- Wacharotanyankun, R., Y. Arkawa, M. Ohta, K. Tanaka, T. Akashi, M. Mori and N. Kato. 1993. Enhancement of extracapsular polysaccharide synthesis in *Klebsiella pneumoniae* by RmpA2 Which shows homology to NtrC and FixJ. Infection Immunity 61: 3164-3174.
- Weisburg, W.G., S.M. Barns, S.A. Pelletier and D.J. Lane. 1991. 16S ribosomal DNA amplification for phylogenetic study. Journal of Bacteriology 173: 697-703.
- Whitfield, C. and A. Valvano. 1993. Biosynthesis and expression of cell-surface polysaccharides in gram-negative bacteria. Advance Microbiology Physiology 35: 135-246.
- Wilson, W.J., H.R. Dillard and S.V. Beer. 1999. Assessment of phenotypic variability in *Erwinia stewartii* based on metabolic profiles. Plant Disease 83: 114-118.

Wilson, W.J., M. Wiedmann, H.R. Dillard and C.A. Batt. 1994. Identification of *Erwinia stewartii* by a ligase chain reaction assay. Applied and Environmental Microbiology 60: 278-284.

Yakrus, M. and N.W. Schaad. 1979. Serological relationships among strains of *Erwinia chrysanthemi*. Phytopathology 69: 225-552.

Yap, I.V. and R.J. Nelson. 1996. **Winboot a Program for Performing Bootstrap Analysis of Binary Data to Determine the Confidence Limits of UPGMA Based Dendograms.** International Rice Research Institute, Manila, The Philippines.

ភាគធម្មោគ

GN2 MicroPlate™

A1 Water	A2 α -Cyclodextrin	A3 Dextrin	A4 Glycogen	A5 Tween 40	A6 Tween 80	A7 N-Acetyl-D-Galactosamine	A8 N-Acetyl-D-Glucosamine	A9 Adonitol	A10 L-Arabinose	A11 D-Arabitol	A12 D-Cellobiose
B1 I-Erythritol	B2 D-Fructose	B3 L-Fucose	B4 D-Galactose	B5 Gentibiose	B6 α -D-Glucose	B7 α -D-Inositol	B8 α -D-Lactose	B9 Lactulose	B10 Maltose	B11 D-Mannitol	B12 D-Mannose
C1 D-Melibiose	C2 β -Methyl-D-Glucoside	C3 D-Psicose	C4 D-Raffinose	C5 L-Rhamnose	C6 D-Sorbitol	C7 Sucrose	C8 D-Trehalose	C9 Turanose	C10 Xylitol	C11 Pyruvic Acid Methyl Ester	C12 Succinic Acid Mono-Methyl-Ester
D1 Acetic Acid	D2 Cis-Aconitic Acid	D3 Citric Acid	D4 Formic Acid	D5 D-Galactonic Acid Lactone	D6 D-Galacturonic Acid	D7 D-Gluconic Acid	D8 D-Glucosaminic Acid	D9 D-Glucuronic Acid	D10 α -Hydroxybutyric Acid	D11 β -Hydroxybutyric Acid	D12 γ -Hydroxybutyric Acid
E1 p-Hydroxy Phenylacetic Acid	E2 Itaconic Acid	E3 α -Keto Butyric Acid	E4 α -Keto Glutaric Acid	E5 α -Keto Valeric Acid	E6 D,L-Lactic Acid	E7 Malonic Acid	E8 Propionic Acid	E9 Quinic Acid	E10 D-Saccharic Acid	E11 Sebacic Acid	E12 Succinic Acid
F1 Bromosuccinic Acid	F2 Succinamic Acid	F3 Glucuronamide	F4 L-Alaninamide	F5 D-Alanine	F6 L-Alanine	F7 L-Alanyl-glycine	F8 L-Asparagine	F9 L-Aspartic Acid	F10 L-Glutamic Acid	F11 Glycyl-L-Aspartic Acid	F12 Glycyl-L-Glutamic Acid
G1 L-Histidine	G2 Hydroxy-L-Proline	G3 L-Leucine	G4 L-Ornithine	G5 L-Phenylalanine	G6 L-Proline	G7 L-Pyroglutamic Acid	G8 D-Serine	G9 L-Serine	G10 L-Threonine	G11 D,L-Carnitine	G12 γ -Amino Butyric Acid
H1 Urocanic Acid	H2 Inosine	H3 Uridine	H4 Thymidine	H5 Phenyethyl-amine	H6 Putrescine	H7 2-Amin ethanol	H8 2,3-Butanediol	H9 Glycerol	H10 D,L- α -Glycerol Phosphate	H11 α -D-Glucose-1-Phosphate	H12 D-Glucose-6-Phosphate

ภาพพนวกที่ 1 ชนิดของแหล่งคาร์บอนในจานหลุม GN2

ประวัติการศึกษา และการทำงาน

ชื่อ – นามสกุล	จุฑาเทพ วัชระไชยคุปต์
วัน เดือน ปี ที่เกิด	6 มิถุนายน 2518
สถานที่เกิด	อุดรธานี
ประวัติการศึกษา	ประถมศึกษา โรงเรียนอุดรวิทยา
	มัธยมศึกษา โรงเรียนสตรีราชินูทิศ
	ปริญญาบัณฑิต มหาวิทยาลัยขอนแก่น (วท.บ. (เกษตรศาสตร์))
	ปริญญามหาบัณฑิต มหาวิทยาลัยเกษตรศาสตร์ (วท.ม. (เกษตรศาสตร์))
ตำแหน่งหน้าที่การงานปัจจุบัน	เจ้าหน้าที่ประจำห้องปฏิบัติการ
สถานที่ทำงานปัจจุบัน	ศูนย์เทคโนโลยีชีวภาพเกษตร มหาวิทยาลัยเกษตรศาสตร์ วิทยาเขตกำแพงแสน อ.นครปฐม 73140
ผลงานดีเด่นและรางวัลทางวิชาการ	-
ทุนการศึกษาที่ได้รับ	ทุนสนับสนุนจากศูนย์เทคโนโลยีชีวภาพเกษตร มหาวิทยาลัยเกษตรศาสตร์